

## Suivi environnemental post implantation d'éoliennes du parc de Ploumoguer, commune de Ploumoguer (Finistère 29)

**RENNES (siège social)**  
Parc d'activités d'Apigné  
1 rue des Cormiers - BP 95101  
35651 LE RHEU Cedex  
**Tél : 02 99 14 55 70**  
**Fax : 02 99 14 55 67**  
[rennes@ouestam.fr](mailto:rennes@ouestam.fr)

**NANTES**  
5 BD Ampère  
Bâtiment C  
44470 Carquefou  
**Tel : 02 40 94 92 40**  
[nantes@ouestam.fr](mailto:nantes@ouestam.fr)

### Rapport de l'étude environnementale

**2024**

Code. affaire : 23-0313  
Resp. étude : Brice Normand

 **Ouest Am'**  
L'intelligence collective au service des territoires

Ce document a été réalisé par :

*Brice Normand – écologue*

*Loïc Bellion – chiroptérologue*

*Camille-Amélie Sand – chargée d'études faune*

## Sommaire

<b>INTRODUCTION .....</b>	<b>5</b>
<b>1 PREAMBULE .....</b>	<b>5</b>
<b>2 LOCALISATION DU PARC .....</b>	<b>6</b>
<b>METHODOLOGIE .....</b>	<b>7</b>
<b>3 HABITATS .....</b>	<b>7</b>
<b>4 SUIVI DE LA MORTALITE.....</b>	<b>7</b>
4.1 PROSPECTIONS DE TERRAIN.....	7
4.2 COEFFICIENTS DE CORRECTION .....	9
4.2.1 <i>Prospectabilité et détectabilité</i> .....	9
4.2.2 <i>Tests d'efficacité et de persistance</i> .....	10
4.3 METHODE DE TRAITEMENT DES DONNEES .....	12
4.3.1 <i>Estimateurs Huso et Jones</i> .....	12
4.3.2 <i>Estimateur GenEst</i> .....	13
<b>5 PATRIMONIALITE, SENSIBILITE ET NIVEAU DE RISQUE POUR LES OISEAUX ET LES CHAUVE-SOURIS.....</b>	<b>14</b>
<b>6 COMPARAISON AVEC LES SUIVIS DE MORTALITE DES PARCS DE BRETAGNE ET SEUIL DE SIGNIFICATIVITE .....</b>	<b>14</b>
<b>7 SUIVI DE L'ACTIVITE DES CHIROPTERES .....</b>	<b>16</b>
7.1 TRAVAIL DE TERRAIN .....	16
7.2 TRAITEMENT DES DONNEES.....	16
7.3 REFERENTIEL D'ACTIVITE EN NACELLE – OUEST AM' .....	17
<b>8 LIMITES DE LA METHODE .....</b>	<b>18</b>
8.1 MORTALITE .....	18
8.1.1 <i>Site et protocole</i> .....	18
8.1.2 <i>Estimation de la mortalité</i> .....	19
8.2 SUIVI ACOUSTIQUE .....	19
8.2.1 <i>Site et protocole</i> .....	19
8.2.2 <i>Espèces et méthode acoustique</i> .....	19
<b>9 METHODE DE CALIBRAGE DES MESURES CORRECTIVES.....</b>	<b>19</b>
<b>10 MODELE DE REGULATION ACTUEL.....</b>	<b>21</b>
<b>RESULTATS .....</b>	<b>21</b>
<b>11 HABITATS DANS UN RAYON DE 300 M (PHOTointerpretation).....</b>	<b>21</b>
<b>12 ZONAGES ENVIRONNEMENTAUX .....</b>	<b>23</b>
<b>13 RESULTATS DES TESTS .....</b>	<b>27</b>
13.1 TESTS D'EFFICACITE ET DE PERSISTANCE .....	27
13.2 PROSPECTABILITE .....	27
<b>14 MORTALITE DES CHIROPTERES .....</b>	<b>28</b>
14.1 MORTALITE BRUTE .....	28
14.2 CAUSES DE LA MORTALITE.....	29
14.3 STATUTS DES ESPECES IMPACTEES .....	29
14.4 MORTALITE ESTIMEE .....	30

---

<b>15 MORTALITE DE L'AVIFAUNE .....</b>	<b>31</b>
15.1 MORTALITE BRUTE .....	31
15.2 CAUSES DE LA MORTALITE.....	32
15.3 STATUTS DES ESPECES IMPACTEES .....	32
15.4 MORTALITE ESTIMEE .....	33
<b>16 COMPARAISON AVEC LES SUIVIS DE MORTALITE DES PARCS DE BRETAGNE .....</b>	<b>34</b>
16.1 CHIROPTERES .....	34
16.2 AVIFAUNE.....	35
<b>17 SUIVI D'ACTIVITE DES CHIROPTERES.....</b>	<b>36</b>
17.1 E5 .....	36
17.1.1 <i>Espèces recensées sur le site et activité.....</i>	<i>36</i>
17.1.2 <i>Analyse de l'activité sur l'ensemble du suivi.....</i>	<i>38</i>
17.1.3 <i>Comparaison au référentiel d'activité Ouest Am' .....</i>	<i>42</i>
17.1.4 <i>Répartition de l'activité dans le temps .....</i>	<i>44</i>
17.1.5 <i>Corrélation entre activité et données météorologiques combinées.....</i>	<i>46</i>
17.2 E6.....	49
17.2.1 <i>Espèces recensées sur le site et activité.....</i>	<i>49</i>
17.2.2 <i>Analyse de l'activité sur l'ensemble du suivi.....</i>	<i>51</i>
17.2.3 <i>Comparaison au référentiel d'activité Ouest Am' .....</i>	<i>55</i>
17.2.4 <i>Répartition de l'activité dans le temps .....</i>	<i>57</i>
17.2.5 <i>Corrélation entre activité et données météorologiques combinées.....</i>	<i>59</i>
<b>CONCLUSION.....</b>	<b>62</b>
<b>18 CHIROPTERES .....</b>	<b>62</b>
18.1 SIGNIFICATIVITE POUR LES CHIROPTERES .....	62
18.2 MESURES PROPOSEES POUR LES CHIROPTERES .....	62
<b>19 OISEAUX .....</b>	<b>62</b>
19.1 SIGNIFICATIVITE POUR LES OISEAUX .....	62
19.2 MESURES PROPOSEES POUR LES OISEAUX .....	63
<b>20 NECESSITE DE REALISER UN SUIVI COMPLEMENTAIRE.....</b>	<b>63</b>
<b>TABLE DES FIGURES .....</b>	<b>64</b>
<b>TABLE DES TABLEAUX.....</b>	<b>66</b>
<b>ANNEXES.....</b>	<b>67</b>
<b>ANNEXE 1 : TABLEAU DE PROSPECTABILITE ET DETECTABILITE .....</b>	<b>67</b>
<b>ANNEXE 2 : METHODOLOGIE D'ESTIMATION DE LA PERSISTANCE MOYENNE DANS LES TESTS DE PERSISTANCE.....</b>	<b>74</b>
<b>ANNEXE 3 : TABLEAU DES TESTS D'EFFICACITE D'OBSERVATION .....</b>	<b>76</b>
<b>ANNEXE 4 : TABLEAU DES TESTS DE PERSISTANCE .....</b>	<b>77</b>
<b>ANNEXE 5 : TABLEAU DE MORTALITE DES CHIROPTERES.....</b>	<b>78</b>
<b>ANNEXE 6 : TABLEAU DES ESTIMATIONS DE MORTALITE DES CHIROPTERES .....</b>	<b>79</b>
<b>ANNEXE 7 : TABLEAU DE MORTALITE DES OISEAUX .....</b>	<b>80</b>
<b>ANNEXE 8 : TABLEAU DES ESTIMATIONS DE MORTALITE DES OISEAUX.....</b>	<b>81</b>
<b>ANNEXE 9 : FICHES DE SUIVI DE MORTALITE DES CHIROPTERES .....</b>	<b>82</b>

---

ANNEXE 10 : FICHES DE SUIVI DE MORTALITE DES OISEAUX .....	87
ANNEXE 11 : TABLEAU DE L'ACTIVITE DES CHIROPTERES SUR L'ENSEMBLE DU SUIVI .....	96
ANNEXE 12 : TABLEAU DE L'ACTIVITE DES CHIROPTERES PAR MOIS.....	97

# INTRODUCTION

## 1 PREAMBULE

A la demande de la société **Total Energies**, un suivi environnemental du parc en exploitation de Ploumoguer situé sur la commune du même nom dans le département du Finistère (29) a été confié au bureau d'études OUEST AM' sur la période **de mai à octobre 2024**. Le parc est composé de 7 éoliennes EWT DW54 (Tableau 1).

**Tableau 1 : parc éolien de Ploumoguer**

Commune(s)	Parc éolien	Mise en service	Phase du suivi	Éoliennes	Modèle	Hauteur du moyeu	Diamètre du rotor	Garde au sol
Ploumoguer	Ploumoguer (repowering)	Janvier-2023	N+1	E1, E2, E3, E4, E5, E6, E7	EWT DW54	40 m	54 m	14 m

Le suivi environnemental est composé de quatre parties :

- suivi de la mortalité des chauves-souris et des oiseaux de la semaine 20 à la semaine 43 avec 24 passages de prospection,
- suivi comportemental des chauves-souris effectué par l'intermédiaire d'un enregistrement continu en nacelle,
- comparaison des données de mortalité avec la synthèse réalisée par Ouest Am' sur les estimations de mortalités disponibles entre 2019 et 2023,
- comparaison des niveaux d'activité des chiroptères en nacelle au référentiel 2019-2023 créé par Ouest Am'.

Notre proposition respecte les documents de référence suivants :

- arrêté du 22 juin 2020 modifiant l'arrêté du 26 août 2011 relatif aux installations de production d'électricité utilisant l'énergie mécanique du vent au sein d'une installation soumise à autorisation au titre de la rubrique 2980 de la législation des installations classées pour la protection de l'environnement,
- arrêté du 26 août 2011 concernant les installations classées ICPE (et notamment l'article 12),
- protocole des suivis environnementaux de parcs éoliens terrestres MEDDE – avril 2018

## 2 LOCALISATION DU PARC

Le parc de Ploumoguer est situé au sud de la commune de Ploumoguer dans le département du Finistère (29) en Bretagne (Figure 1).

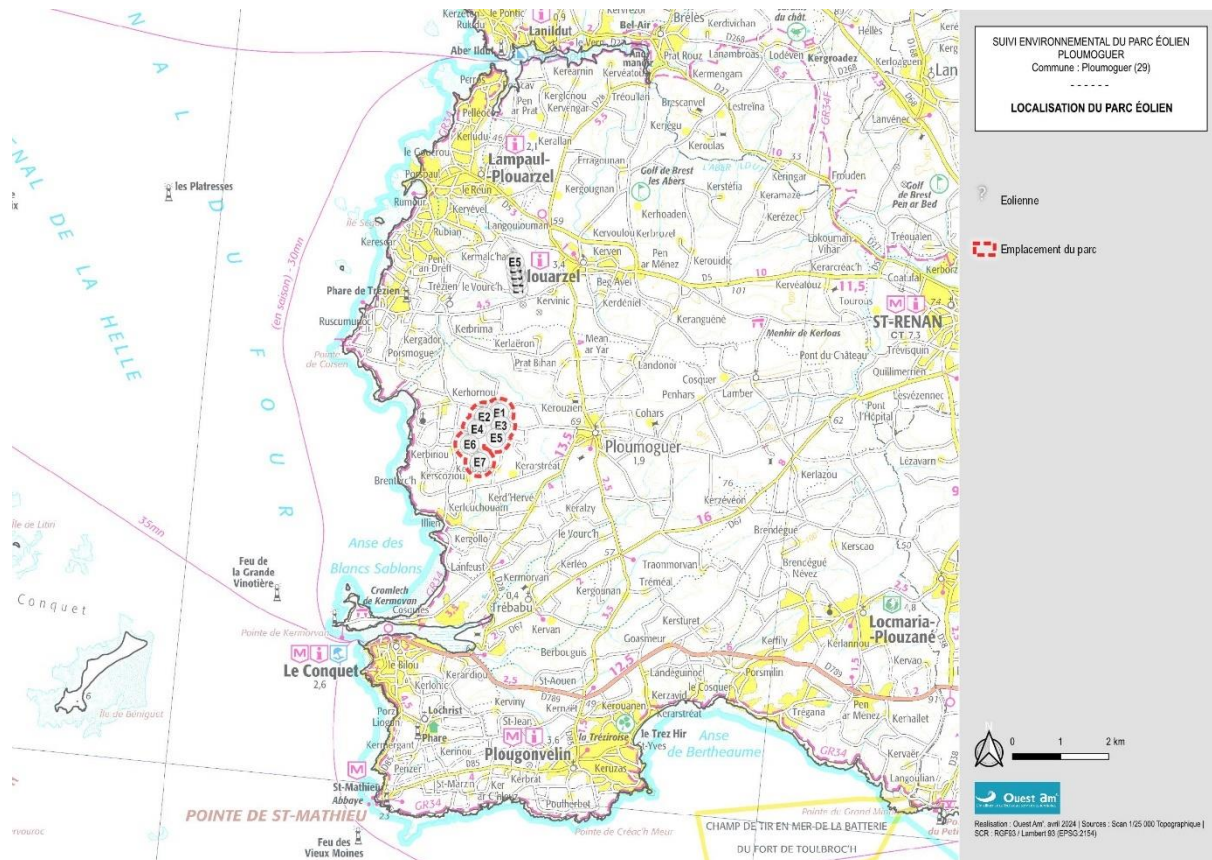


Figure 1 : carte de localisation du parc éolien de Ploumoguer

# METHODOLOGIE

## 3 HABITATS

L'aire d'étude pour l'identification ou la caractérisation des communautés végétales et des habitats (typologie Corine Land Cover et BD Topo) comprend les parcelles situées dans un rayon de 300 mètres autour des éoliennes. Il s'agit d'un travail de photo-interprétation des photographies aériennes les plus récentes.

## 4 SUIVI DE LA MORTALITE

### 4.1 PROSPECTIONS DE TERRAIN

La mission a consisté à prospecter à pied les alentours immédiats des éoliennes selon un quadrillage inclus dans un carré de **100 mètres de côté autour de chaque éolienne** grâce à des points de repères visuels. Les transects au sein de ce quadrillage sont espacés de 5 à 10 mètres en fonction des contraintes liées au terrain et à la végétation. Ce quadrillage permet une prospection rigoureuse à raison de 45 minutes environ par éolienne (pouvant varier de 30 minutes à 1 heure selon les contraintes liées à la végétation et à la visibilité) (Figure 2).

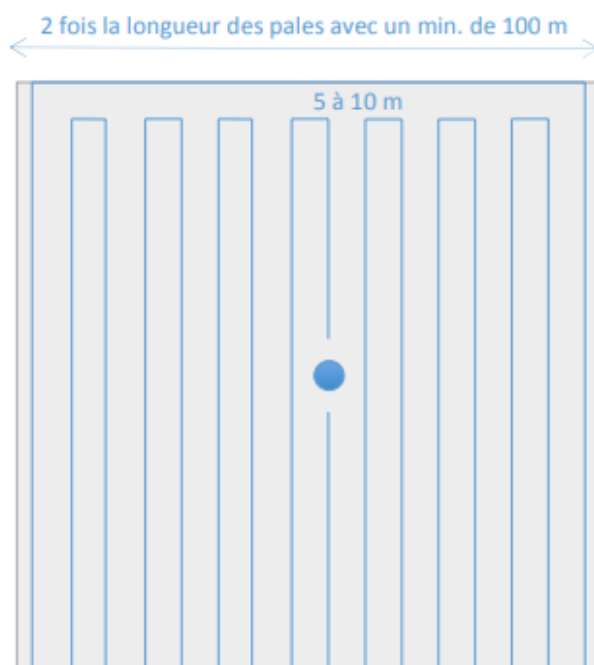


Figure 2 : schéma de prospection sous les éoliennes

Ce quadrillage d'un hectare par éolienne ainsi matérialisé permet une prospection rigoureuse et standardisée conçue à l'origine pour les oiseaux mais parfaitement transposable aux chauves-souris.

Lorsque toute la surface n'est pas accessible (végétation trop haute, haies et boisements, travaux agricoles en cours ...) l'observateur note la surface qu'il a pu prospecter, afin d'appliquer ensuite un facteur de correction.

Les passages sont réalisés une fois par semaine, en respectant si possible un intervalle de 7 jours, conformément au protocole national de suivi.

Le suivi de mortalité a été réalisé **du 16 mai au 25 octobre 2024**. Au total, **24 passages** de prospection pour la mortalité avifaune et chiroptères ont été réalisés durant ce suivi.

**La dérogation pour l'enlèvement et le transport d'espèces protégées a été reçue le 07/06/2024.**

Les résultats sont notés sur une fiche de terrain avec les informations suivantes :

- La date de la découverte,
- l'identification de l'espèce (si possible),
- l'état apparent du cadavre (description précise),
- la cause présumée de la mort,
- la localisation précise de la découverte (éolienne concernée, emplacement par rapport à celle-ci, coordonnées GPS),
- la surface prospectée et la détectabilité de celle-ci,
- les conditions météorologiques.

Chaque observation s'accompagne de photos.

L'identification des espèces se fait :

- de visu sur le terrain, pour les oiseaux peu dégradés,
- avec un examen plus précis des plumes (si nécessaire pour les oiseaux en état de décomposition avancée),
- pour les chauves-souris, par analyse biométrique, examen des organes génitaux, de la dentition et de la forme des tragus.
- 

Cas des plumes et plumées :

Une plumée est considérée comme un cadavre si elle est trouvée dans la zone de recherche dans les cas suivants :

- plumes coupées nettement,
- ensemble de plumes (rémiges, rectrices, couvertures etc.) rassemblées ou dans un périmètre rapproché.

Les individus impactés par une éolienne peuvent être ensuite prédatés. Dans ce cas, il est possible de ne trouver que quelques plumes qui présentent les caractéristiques définies ci-dessus associées à des caractéristiques de prédation (plumes souillées, coupées non nettement).

Les plumes isolées ou d'un ensemble du même type (exemple d'un ensemble de duvets de pigeons) ne sont pas nécessairement liées à une collision, il peut s'agir de mues ou de plumes perdues en vol. Dans ce cas, il est possible de considérer que la plume ou la plumée n'est pas issue d'une collision. Ces observations ne sont pas intégrées dans les calculs de mortalité. Les cas de cadavres trouvés sous une éolienne et dont la cause présumée de la mort n'est pas issue d'une collision ou de barotraumatisme sont rares.

## 4.2 COEFFICIENTS DE CORRECTION

### 4.2.1 PROSPECTABILITE ET DETECTABILITE

Pour estimer le taux de mortalité des oiseaux et des chiroptères, 5 valeurs sont requises :

- le nombre de carcasses trouvées aux alentours des éoliennes ;
- la persistance moyenne des carcasses (en jours) ;
- l'efficacité des observateurs à détecter des carcasses (en %) ;
- la proportion de la parcelle inventoriée (en %) ;
- la détectabilité des cadavres en fonction de la végétation (en %).

**La prospectabilité** du carré autour de chaque éolienne se rapporte à la possibilité pour l'observateur d'inspecter ou non l'intégralité de la surface de ce carré. Ainsi, l'occupation du sol peut présenter par exemple un fourré impénétrable sur 10% de la surface du carré, qui reste ainsi non prospecté, alors que des cadavres de chauves-souris peuvent néanmoins s'y trouver.

Le niveau de prospectabilité du parc est évalué selon le barème suivant (Tableau 2) :

Tableau 2 : classes de niveau de prospectabilité

Niveau de prospectabilité	Surface moyenne prospectée (%)
Très bon	]80 ; 100]
Bon	]60 ; 80]
Moyen	]40 ; 60]
Mauvais	]20 ; 40]
Très mauvais	[0 ; 20]

**La détectabilité** est liée aux difficultés plus ou moins grandes que rencontre l'observateur en fonction de l'état de la végétation sous l'éolienne, et de son évolution en cours d'étude. Un carré peut être occupé en partie par une culture de maïs dont les rangées sont pénétrables et donc prospectables, mais dont la hauteur et le recouvrement, de plus en plus conséquents au fur et à mesure de l'avancement de la saison, rendent difficiles, voire quasi impossibles, les découvertes de cadavres. C'est aussi le cas des céréales à paille ou du ray-grass lorsque la végétation est haute et dense. La zone est alors « prospectable » sans que la détectabilité des cadavres y soit pour autant complète.

De cette manière, pour chaque passage, un tableau (Annexe 1) est renseigné avec la prospectabilité sous chaque éolienne et la détectabilité qui est indiquée par un niveau de couverture végétale :

- niveau D1 : sol nu (sols labourés, plateformes, ...),
- niveau D2 : végétation basse et peu dense (pâturages, prairies fauchées, ...),
- niveau D3 : végétation haute ou dense.

A titre d'exemples, des photographies de prospectabilité avec des détectabilités différentes sont illustrées ci-dessous (Figure 3).



D1



D2



D3

**Figure 3 : photographies d'exemples de prospectabilité avec des détectabilités différentes (hors site)**

#### 4.2.2 TESTS D'EFFICACITE ET DE PERSISTANCE

Les coefficients correcteurs (test d'efficacité et persistance) ont été établis lors de deux phases de tests en fin de printemps et en automne.

L'**efficacité de recherche**, calculée en comparant le nombre de cadavres retrouvés à celui des cadavres préalablement déposés sous l'éolienne, est lié à la performance visuelle de l'observateur. Le test est fait sous une ou deux éoliennes représentatives des habitats observés (avec les différentes hauteurs de végétation possible) sur l'ensemble du parc.

Le niveau d'efficacité de recherche est évalué selon le barème suivant (Tableau 3) :

**Tableau 3 : classes de niveaux d'efficacité de recherche**

Niveau d'efficacité de recherche	Efficacité de recherche (%)
Très bon	]80 ; 100]
Bon	]60 ; 80]
Moyen	]40 ; 60]
Mauvais	]20 ; 40]
Très mauvais	[0 ; 20]

La **persistance** est liée à la présence de charognards (corvidés, mustélidés, renards, insectes nécrophores ...). Pour l'établir, il faut récupérer, hors site d'étude, des cadavres de souris ou oiseaux de petite taille avant de les déposer dans les carrés de recherche sous les éoliennes. La persistance est suivie par des passages répétés, le lendemain du jour de dispersion, puis 2 fois par semaines jusqu'à disparition des cadavres ou après une période de 14 jours. La persistance moyenne des cadavres sur le parc est égale à la moyenne du nombre de jours avant la disparition de chacun des poussins déposés pour le test.

Pour évaluer le niveau de persistance, Ouest Am' a réalisé une étude en 2024 basée sur les données des suivis de mortalité collectées entre 2019 et 2023 par le bureau d'études. En se basant sur les valeurs de persistance médiane des suivis analysés (temps au bout duquel 50% des cadavres ont disparu), différents niveaux de persistance ont été établis en fonction des quartiles, selon le barème suivant (Tableau 4) :

**Tableau 4 : classes de niveaux de persistance**

Niveau de persistance	Limite inférieure	Limite supérieure	Persistance correspondante (jours)
Court	0	Q1	[0 ; 1,76]
Modéré	Q1	Q3	]1,76 ; 4,05]
Long	Q3	$\infty$	> 4,05

*Le premier quartile (Q1) représente la valeur sous laquelle se trouvent les 25 % des données les plus faibles, indiquant la limite inférieure de la distribution ; L'intervalle entre Q1 et Q3 contient 50 % des données centrales de la distribution ; Le troisième quartile (Q3) marque la valeur sous laquelle se trouvent les 75 % des données.*

## 4.3 METHODE DE TRAITEMENT DES DONNEES

Trois estimateurs de mortalité, reposant sur des hypothèses de modélisation de la mortalité intégrant les coefficients correcteurs, sont utilisés (**Huso**, **Jones** et **GenEst**). L'utilisation de ces différents estimateurs sert à homogénéiser les interprétations.

### 4.3.1 ESTIMATEURS HUSO ET JONES

Les estimateurs Huso et Jones permettent d'estimer la mortalité grâce aux formules décrites ci-dessous (Tableau 5).

Tableau 5 : formules d'estimation de la mortalité

Formule de Huso : $N = \frac{Na - Nb}{d * p * e} * A$	Avec : <b>N</b> : le nombre de cadavre total estimé <b>Na</b> : le nombre total d'individus trouvés morts <b>Nb</b> : le nombre d'individus tués par autre chose que les éoliennes
Formule de Jones : $N = \frac{Na - Nb}{d * p * e} * A$	<b>A</b> : le coefficient correcteur surfacique $\sum \left( \frac{\text{cadavre/prospectabilité}}{\text{nombre total de cadavres}} \right)$ <b>t</b> : la durée moyenne de persistance des cadavres <b>d</b> : le taux de découverte, variable en fonction du couvert végétal <b>I</b> : la durée de l'intervalle entre les passages (en jours) <b>e</b> : le coefficient correcteur de l'intervalle équivalent à $\frac{\text{MIN}(\hat{I}; I)}{I}$ <b>p</b> : le taux de persistance, qui est : <ul style="list-style-type: none"> <li>• <math>p</math> (pour Huso) : <math>t * \frac{1 - \exp(-\frac{I}{t})}{I}</math></li> <li>• <math>p</math> (pour Jones) : <math>\exp(-0.5 * \left( \frac{I}{t} \right))</math></li> </ul>

*Lorsque le taux de persistance calculé est faible en regard de l'intervalle de temps entre deux prospections, l'utilisation d'exponentielles dans ces formules peut résulter en une estimation de mortalité beaucoup plus importante que le nombre d'observations, produisant ainsi des résultats aberrants. L'utilisation d'un terme de correction dans la formule de Huso atténue cette surestimation. Nos recherches ont montré qu'il est cependant nécessaire d'utiliser la médiane du temps de persistance et non la date de dernière présence lors du calcul de la persistance moyenne avec cette formule. La méthodologie d'estimation de la persistance moyenne dans les tests de persistance est décrite en Annexe 2.*

#### **4.3.2 ESTIMATEUR GENEST**

L'estimateur international GenEst (Generalized Mortality Estimator, Dalthorp 2018), produit par l'agence gouvernementale de l'environnement des Etats-Unis (USGS), permet d'estimer la mortalité de manière fiable à partir d'une suite de modèles statistiques. Il se base pour cela sur les observations datées de cadavres, un calendrier des prospections propre à chaque turbine, un modèle statistique de survie décrivant la persistance des cadavres dans le temps, un modèle statistique d'efficacité d'observation et d'une estimation de la probabilité qu'un individu touché tombe dans l'aire de recherche (proportion pondérée par la densité).

GenEst est un logiciel libre utilisable via une interface utilisateur disponible en ligne (<https://connect.west-inc.com/GenEst/>). Son utilisation nécessite le téléchargement de cinq fichiers au format csv contenant les informations nécessaires au calcul de l'estimation de la mortalité pour un parc donné :

- Les dates et espèces des cadavres observés (CO),
- Le calendrier de prospection des éoliennes (SS),
- La persistance des cadavres notés sous forme de dernière présence et première absence observée (CP),
- L'efficacité d'observation de chaqueurre/cadavre utilisé lors des tests (SE),
- La proportion pondérée par la densité (DWP).

Les modèles paramétriques de survie, décrivant la persistance, peuvent être ajustés à l'aide de différentes familles de distribution : exponentielle, Weibull, log-logistique ou log-normale. D'autre part, les modèles d'efficacité et de persistance peuvent être ajustés avec des variables prédictives telles que la taille des cadavres ou les saisons, susceptibles d'influencer la persistance ou la détection des cadavres. Lorsqu'elles sont disponibles, toutes les combinaisons de ces variables et des familles de distribution sont intégrées dans des modèles qui seront ensuite comparés entre eux et comparés aux modèles nuls (sans variables explicatives) par le critère d'information d'Akaike (AIC). Le modèle possédant le plus petit AIC sera gardé pour les estimations finales. Si la différence entre l'AIC de 2 modèles est inférieure à 2, le modèle contenant le moins de variables sera sélectionné. Le paramètre k des modèles d'efficacité est fixé à 1, de manière à simuler une probabilité constante de détecter un cadavre non détecté à la première recherche, lors de recherches successives.

Une fois les modèles de persistance et d'efficacité déterminés, l'estimation de mortalité est réalisée par un autre modèle intégrant les dates d'observation des cadavres, la probabilité que le cadavre tombe dans l'aire de recherche, et le calendrier de prospection des éoliennes. En absence de valeurs estimées de probabilité que les cadavres tombent dans l'aire de recherche et afin de rester cohérent avec les autres méthodes d'estimation, cette valeur est fixée à 1, supposant que tous les cadavres tombent dans l'aire de recherche. Le modèle d'estimation de persistance est réalisé avec 1000 itérations. La valeur médiane résultante est utilisée comme estimation de la mortalité pour ce parc. Cette valeur est rapportée au pourcentage moyen de surface prospectée tout au long du suivi. Les estimations de mortalité sont ensuite divisées entre chiroptères et oiseaux afin de fournir des valeurs pour chacun des 2 groupes.

## 5 PATRIMONIALITE, SENSIBILITE ET NIVEAU DE RISQUE POUR LES OISEAUX ET LES CHAUVES-SOURIS

La méthode employée est basée sur le document « Guide de préconisation pour la prise en compte des enjeux chiroptérologiques et avifaunistiques dans les projets éoliens - Région Hauts-de-France » (DREAL Hauts-de-France, septembre 2017 ; cité ci-après sous la dénomination « Guide de préconisation HdF ») et adapté à la Région Bretagne par Ouest Am'.

## 6 COMPARAISON AVEC LES SUIVIS DE MORTALITE DES PARCS DE BRETAGNE ET SEUIL DE SIGNIFICATIVITE

Afin de pouvoir effectuer une comparaison au niveau régional de la mortalité des chiroptères et des oiseaux, Ouest Am' a réalisé une étude en 2024 sur les estimations de la mortalité calculées avec GenEst à partir des données brutes de mortalité collectées sur les sites suivis durant la période 2019-2023 par Ouest Am' et retranscrites dans les rapports. Bien que les estimations de mortalité soient réalisées sur l'ensemble de la période de suivi de mortalité, la comparaison avec les estimations de mortalité des parcs de la région ne concerne que la période allant de la semaine 20 à 43, période commune à chaque site, afin de pouvoir réaliser des comparaisons sur des pas de temps et périodes similaires.

La méthode consiste à comparer l'estimation de la mortalité par éolienne du site pour les chiroptères et les oiseaux, calculée avec GenEst, avec l'estimation de la mortalité moyenne par éolienne des sites de la région (pour les régions Bretagne et Pays de la Loire). Si les données des sites de la région sont trop rares pour effectuer des comparaisons (Centre-Val de Loire, Nouvelle-Aquitaine et Normandie), les suivis de l'ensemble des régions seront utilisés. Au total, 99 rapports de suivi de mortalité ont été utilisés dans l'analyse (Tableau 6).

**Tableau 6 : nombre de rapports de suivi de mortalité utilisés pour l'étude de la comparaison de la mortalité**

Région	2019	2020	2021	2022	2023	Total
Pays de la Loire	7	5	14	11	11	48
Bretagne	3	7	2	9	6	27
Centre-Val de Loire	3	0	3	3	0	9
Nouvelle-Aquitaine	1	1	1	2	1	6
Normandie	0	2	3	3	1	9
Grand ouest	14	15	23	28	19	<b>99</b>

Les résultats sont donnés sous la forme d'un graphique de classement des parcs du plus mortifère au moins mortifère pour les chauves-souris et pour les oiseaux.

D'après les valeurs du nombre de cadavres estimé par éolienne entre les semaines 20 et 43 pour l'ensemble des suivis étudiés, différents seuils de significativité (Tableau 7) et niveaux de mortalité (Tableau 8) sont définis selon les barèmes suivant :

**Tableau 7 : seuils de significativité**

Significativité	Comparaison
Significative	> Moyenne régionale
Non significative	< Moyenne régionale

**Le nombre d'individus impacté est une donnée importante. Même lorsqu'il s'agit d'espèces non protégées pour l'avifaune, il s'agit d'une indication sur les potentialités d'impacts pour certaines espèces.**

**Tableau 8 : classes de niveaux de mortalité**

Niveau de mortalité	Limite inférieure	Limite supérieure
Fort	Q3	$\infty$
Modéré	Q1	Q3
Faible	>0	Q1
Très faible	Aucun cadavre retrouvé*	

*Le premier quartile (Q1) représente la valeur sous laquelle se trouvent les 25 % des données les plus faibles, indiquant la limite inférieure de la distribution ; L'intervalle entre Q1 et Q3 contient 50 % des données centrales de la distribution ; Le troisième quartile (Q3) marque la valeur sous laquelle se trouvent les 75 % des données.*

\*aucun cadavre retrouvé ne signifie pas nécessairement qu'aucun individu n'a été impacté.

## 7 SUIVI DE L'ACTIVITE DES CHIROPTERES

### 7.1 TRAVAIL DE TERRAIN

Le suivi de l'activité des chiroptères a été réalisé durant toute la durée de prospection par l'intermédiaire d'un enregistreur continu en nacelle : le GSM-Batcorder. Il couvre la période de suivi de mortalité, c'est-à-dire la période **de mai à octobre** (Tableau 9).

**Tableau 9 : suivi de l'activité des chiroptères à l'aide du GSM-Batcorder**

Installation	23/04/2024
Désinstallation	03/12/2024
Fonctionnement	Du 13/05/2024 au 27/10/2024
Eolienne(s) concernée(s)	E5, E6
Dispositif	1 GSM-Batcorder 1 disque microphone (E6) 1 microphone bâton (E5) 1 batterie plomb 1 chargeur/connecteur alimentation Des fixations
Réglages	Quality : 20 Threshold : -36dB Posttrigger : 800ms Cut off frequency : 14kHz Noise filter : on Horaires : 1 heure avant la tombée de la nuit jusqu'à 1 heure après le lever du jour

### 7.2 TRAITEMENT DES DONNEES

Le GSM Batcorder enregistre les sons sur des cartes SD par séquence. Les fichiers ont été décompressés et analysés avec les logiciels du système Batcorder, BCAdmin 4®.

Une vérification manuelle doit alors être faite à l'aide de logiciels de visualisation des sonagrammes tels que Batsound®, Kaleidoscope® ou bcAnalyze3® light. Cette seconde détermination des espèces permet d'éliminer les éventuelles erreurs du logiciel. Elle est fondée sur les connaissances actuelles (Barataud M. 2015 – Ecologie acoustique des Chiroptères d'Europe, identification des espèces, études de leurs habitats et comportements de chasse. 3<sup>e</sup> éd. Biotope, Mèze ; Muséum national d'Histoire naturelle, Paris (collection Inventaires et biodiversité), 344p.).

**Tous les fichiers relatifs à la présence de chiroptères enregistrés sont vérifiés manuellement.** Les fichiers considérés comme « sons parasites » par le logiciel de traitement automatique sont vérifiés systématiquement si leur volume est faible, s'il est trop important un échantillonnage d'au moins 80% est analysé.

A partir de ces déterminations, on obtient des données d'activité mesurées en secondes cumulées, permettant une analyse de l'activité plus précise et pouvant être réutilisées pour d'éventuelles comparaisons ultérieures.

## 7.3 REFERENTIEL D'ACTIVITE EN NACELLE – OUEST AM'

Ouest Am' a développé en 2024 un nouveau référentiel d'activité des chiroptères en nacelle à partir des données acoustiques prétraitées d'enregistreurs acoustiques de type GSM-Batcorder. Ce nouveau référentiel à la particularité d'intégrer les nuits sans activité enregistrée pour décrire plus finement l'activité moyenne de chaque espèce au cours de l'année. Au total, 136 années d'enregistrement provenant de 81 parcs éoliens ont été compilées, totalisant 21 821 nuits d'enregistrements (Tableau 10).

**Tableau 10 : nombre d'années d'enregistrement utilisées pour le référentiel**

Région	2020	2021	2022	2023	Total
Pays de la Loire	18	19	13	15	65
Bretagne	10	8	18	12	48
Centre Val de Loire	0	2	2	2	6
Nouvelle Aquitaine	1	0	0	1	2
Normandie	2	3	5	4	14
Ile de France	1	0	0	0	1
Grand ouest	32	32	38	34	<b>136</b>

Les données acoustiques sont prédéterminées par le logiciel BCadmin puis analysées manuellement (100% des données), mises en forme et exportées via ce logiciel.

Ces fichiers contiennent la durée d'activité sonore des chiroptères enregistrée par les appareils, ainsi que l'espèce identifiée par les écologues. L'activité est ici exprimée en secondes cumulées et est évaluée pour les différentes espèces puis calculée par nuit et par région, en incluant les nuits sans activité. On obtient alors une moyenne d'activité par nuit. Ces calculs sont réalisés toutes espèces confondues, ainsi que par guilde en fonction de la hauteur de vol de chaque espèce, et pour chaque espèce indépendamment. Les espèces retenues ont toutes déjà été enregistrées en altitude (nacelle ou mât) dans l'ouest de la France. Les guildes sont composées des espèces suivantes :

- **Espèces de vol haut** : Noctule commune, Noctule de Leisler, Pipistrelle de Nathusius, Grande Noctule, Sérotine de Nilsson, Sérotine bicolore, Vespaère de Savi.
- **Espèces de vol intermédiaire** : Pipistrelle commune, Pipistrelle de Kuhl, Pipistrelle pygmée, Minioptère de Schreibers, Sérotine commune.
- **Espèces de vol bas** : Oreillard gris, Oreillard roux, Barbastelle d'Europe, Grand Murin, Murin de Daubenton.

Le référentiel d'activité obtenu est décliné par mois et par région comprend :

- Le nombre total de nuits d'enregistrements,
- Le nombre de nuits durant lesquelles l'activité a été enregistrée,
- Le nombre de contacts moyen par nuit de chaque espèce,
- Le nombre de contacts total de chaque espèce,
- La durée d'activité moyenne par nuit de chaque espèce,
- La durée totale d'activité de chaque espèce.

Les données d'activité acoustique du présent site d'étude seront analysées de manière similaire pour produire des métriques descriptives de l'activité à hauteur de nacelle. Elles seront ensuite comparées à l'activité des sites constituant le référentiel selon deux méthodes, afin d'estimer le risque potentiel de collision. Bien que les statistiques descriptives d'activité soient réalisées sur l'ensemble de la

période de suivi acoustique, la comparaison avec les sites de référence ne concerne que la période allant de la semaine 20 à 43, période commune à chaque site, afin de pouvoir réaliser des comparaisons sur des pas de temps et périodes similaires.

- La première méthode consiste à comparer l'activité acoustique moyenne par nuit sur le site, pour l'ensemble des chiroptères, avec la moyenne d'activité des sites de la région (pour les régions Bretagne et Pays de La Loire). Si les données du référentiel sont trop rares pour effectuer des comparaisons (Normandie, Centre Val de Loire, Nouvelle Aquitaine, Ile de France), les sites de référence de l'ensemble des régions seront utilisés. Ces données d'activité par site seront représentées sous la forme d'un diagramme en barre montrant la position du site étudié par rapport aux autres sites de référence. En dessous de la moyenne, l'activité peut être considérée comme modérée à faible, tandis qu'au-dessus, l'activité peut être considérée comme modérée à forte selon le barème suivant (Tableau 11).

**Tableau 11 : classes de niveaux d'activité**

Niveau d'activité	Limite inférieure	Limite supérieure
Faible	0	Q1
Modéré	Q1	Q3
Fort	Q3	$\infty$

*Le premier quartile (Q1) représente la valeur sous laquelle se trouvent les 25 % des données les plus faibles, indiquant la limite inférieure de la distribution ; L'intervalle entre Q1 et Q3 contient 50 % des données centrales de la distribution ; Le troisième quartile (Q3) marque la valeur sous laquelle se trouvent les 75 % des données.*

- La seconde méthode consiste à créer une fonction de distribution empirique à partir des moyennes d'activité de chaque espèce de chiroptères sur l'ensemble de sites de référence. Ensuite, la valeur moyenne d'activité d'une espèce sur un site spécifique est comparée à cette distribution empirique. La valeur obtenue, appelée quantile, indique la proportion des sites de référence où l'activité de l'espèce est inférieure ou égale à la moyenne d'activité observée sur le site spécifique. Cette méthode permet de situer l'activité moyenne d'une espèce sur un site particulier par rapport à l'activité moyenne de la même espèce sur un ensemble de sites de référence. Le quantile de chaque espèce sera représenté sous forme d'un graphique en radar. A titre d'exemple, une valeur de 75% indique que l'activité de l'espèce sur ce site est supérieure à 75% des sites de référence.

## 8 LIMITES DE LA METHODE

### 8.1 MORTALITE

#### 8.1.1 SITE ET PROTOCOLE

Le nombre de cadavres trouvés dans la zone de recherche définie par le protocole national ne représente qu'une fraction de l'impact réel de ces infrastructures sur la faune, car certains peuvent se trouver en dehors de la zone de prospection, ce qui risque de sous-estimer la mortalité réelle. De plus, bien que la forme carrée de prospection soit plus facile à mettre en œuvre sur le terrain, elle ne permet pas d'échantillonner des zones à distance égale de l'éolienne, contrairement à un cercle, qui est cependant plus difficile à mettre en œuvre.

### **8.1.2 ESTIMATION DE LA MORTALITE**

Il est également important de considérer l'impact de la surface prospectée sur les estimations de la mortalité. Si la surface prospectée est faible, cela signifie que les cadavres ne sont recherchés que dans une petite zone, laissant ceux situés dans des zones inaccessibles non détectables. L'extrapolation du nombre de cadavres trouvés dans cette zone peut être biaisée si leur répartition n'est pas homogène. Ainsi, une petite surface prospectée peut ne pas refléter la distribution réelle des cadavres, ce qui pourrait entraîner une sous-estimation de la mortalité si la majorité des cadavres se trouve en dehors de cette zone. En revanche, il est également possible qu'une petite surface prospectée entraîne une surestimation de la mortalité si elle présente une densité élevée de cadavres.

L'estimation de la mortalité peut également être biaisée si la persistance des cadavres est faible, car cela réduit la probabilité de les détecter. Plus la persistance diminue, plus le risque d'une estimation imprécise de la mortalité augmente. Bien que les formules plus récentes de Jones et Huso semblent être moins influencées par ces facteurs, ces formules reposent sur l'hypothèse que la persistance des cadavres suit une distribution exponentielle, ce qui n'est pas toujours vérifié.

## **8.2 SUIVI ACOUSTIQUE**

### **8.2.1 SITE ET PROTOCOLE**

Le suivi acoustique est réalisé sur la base d'un enregistreur, conformément au protocole national d'avril 2018. Les données sont donc extrapolées à l'échelle du parc. Cette configuration permet cependant de capter des signaux de transit lorsque les éoliennes se situent sur des trajectoires de migration. Il est important de noter que les signaux de transit sont beaucoup moins nombreux et plus espacés dans le temps, diminuant la probabilité de les enregistrer. De plus, il est probable qu'une partie des migrations ou des phases de transit se fassent en silence lorsque les individus utilisent les mêmes trajectoires.

### **8.2.2 ESPECES ET METHODE ACOUSTIQUE**

Il est difficile de détecter des espèces émettant des signaux à faible intensité, de courte durée et/ou dans des fréquences ne portant qu'à faible distance. C'est par exemple le cas pour les Rhinolophes, et les petites espèces de Murins (BARATAUD, 2012). *A contrario*, certaines espèces émettent des signaux plus longs et dans des fréquences détectables à longues distances, c'est le cas des noctules par exemple.

## **9 METHODE DE CALIBRAGE DES MESURES CORRECTIVES**

Afin de pouvoir rendre une conclusion concernant l'impact du parc éolien sur la faune volante, Ouest Am' a développé une méthode qui permet de définir si le parc a un impact significatif et s'il nécessite ou non des mesures correctives.

Méthode Ouest Am' :

1. Si la **mortalité estimée du parc suivi > moyenne estimée en région, la mortalité est considérée comme significative pour le critère « nombre d'individus »**. Des mesures correctives sont nécessaire la plupart du temps (sauf mortalité pour des espèces non protégées pour les oiseaux).

2. Si la **mortalité estimée du parc suivi < à la moyenne estimée en région**, 4 cas sont possibles :

- ✓ Cas 1. **Présence d'espèces de niveau VU (vulnérable au niveau régional ou national) ou supérieur**, la mortalité est **significative**, des mesures de réduction sont nécessaires.
- ✓ Cas 2. **Absence d'individus VU ou de niveau supérieur pour les oiseaux et absence de mortalité supérieure à 3 individus de la même espèce d'oiseau**, la mortalité n'est **pas significative**, des mesures de réduction ne sont pas nécessaires (mais elles peuvent être mises en place pour les espèces protégées de l'avifaune).
- ✓ Cas 3. **Absence d'individus VU ou de niveau supérieur pour les chiroptères et absence de mortalité supérieure à 3 individus de la même espèce de chiroptères**, la mortalité n'est **pas significative**, mais des **mesures de réduction (bridage) sont nécessaires** étant donné que toutes les espèces de chauves-souris sont protégées. Dans ce cas, le bridage proposé peut être ciblé sur les espèces ou les périodes pendant lesquelles la mortalité brute a été constatée.
- ✓ Cas 4. **La mortalité brute est nulle** pour les chiroptères mais l'activité enregistrée nécessite un bridage spécifique pour les espèces cibles et notamment les espèces classées VU ou de niveau supérieur.

En cas de mise en place de mesures de réduction et notamment de bridages ou d'évolution des bridages en cours, il est souvent nécessaire de reproduire le suivi de mortalité en année n+1 pour s'assurer que la nouvelle mesure est fonctionnelle.

Les mesures de réduction les plus fréquentes sont :

- ✓ Le bridage par seuil (vitesse de vent, température, pluviométrie selon une période et des horaires définis par le suivi),
- ✓ Le bridage « dynamique » via un système de suivi et d'arrêt des éoliennes pour les chiroptères.
- ✓ Les systèmes de détection avifaune (SDA) qui suit les oiseaux et arrête l'éolienne en cas de risque d'impact. Ces systèmes ne fonctionnent pas pour toutes les espèces et pour toutes les périodes. Ils peuvent toutefois aider à diminuer la mortalité des oiseaux diurnes et de taille suffisamment importante. Il est toutefois nécessaire de s'assurer de leur bon fonctionnement en réalisant un suivi de mortalité simultanément à minima la première année de fonctionnement du système.
- ✓ Le bridage dit « agricole » pour les oiseaux (arrêt des éoliennes dans un rayon et une temporalité à définir) – cette mesure efficace est très difficile à mettre en œuvre avec les exploitants agricoles. Il faudra alors s'assurer de la totale coopération des exploitants.

D'autres mesures, correctives, peuvent être mise en place. Elles sont plus proches de mesures compensatoires :

- ✓ La restauration ou la création d'habitats ou de gîtes pour les espèces concernées (à bonne distance du parc et des autres parcs existants),
- ✓ Le suivis de populations d'espèces patrimoniales associé à une surveillance du parc pour ces espèces afin de mieux définir les mesures de réduction,
- ✓ Etc.

Des mesures expérimentales peuvent également être proposées comme le fait de peindre une partie des pales avec une couleur ciblée pour une ou plusieurs espèces précédemment impactées. A ce jour, cette mesure n'a pas été mise en place et suivie en France mais elle a été mise en place et suivie en Norvège (<https://onlinelibrary.wiley.com/doi/full/10.1002/ece3.6592>).

## 10 MODELE DE REGULATION ACTUEL

Aucune mesure de réduction n'est en cours sur le parc de Ploumoguer.

## RESULTATS

### 11 HABITATS DANS UN RAYON DE 300 M (PHOTOINTERPRETATION)

La carte ci-après (Figure 4) montre principalement la présence de zones de culture.

Les oiseaux peuvent utiliser les zones de cultures pour des haltes migratoires, comme zone de nourrissage voire de reproduction pour certains oiseaux de plaine.

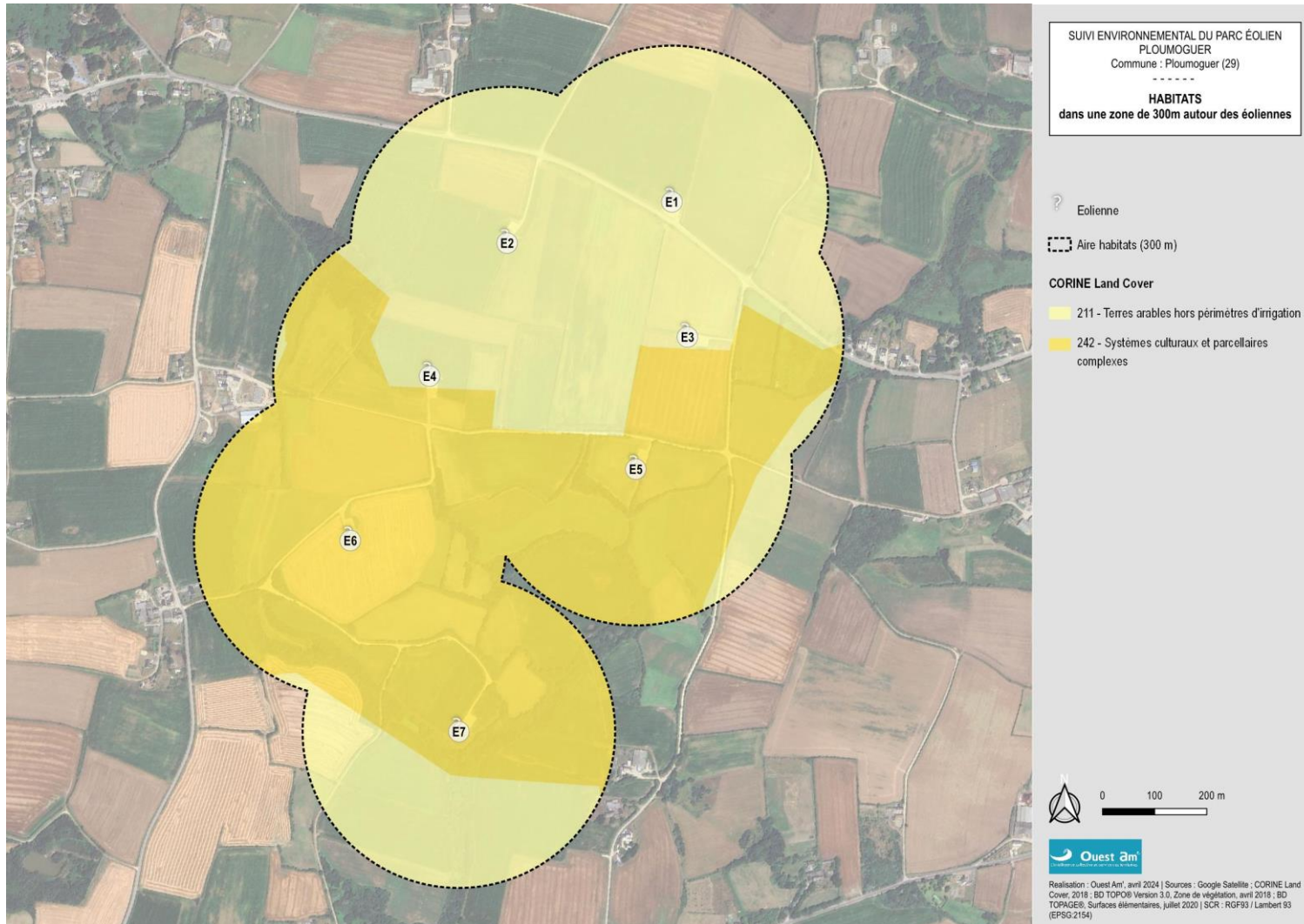


Figure 4 : carte des habitats à proximité des aires de prospection

## 12 ZONAGES ENVIRONNEMENTAUX

Les zonages environnementaux sont décrits ci-dessous (Tableau 12 et Figure 5).

**Tableau 12 : zonages environnementaux dans un rayon de 5 km autour du parc**

Arrêté de protection de biotope			
ID_MNHN	ID_INSEE	NOM	DISTANCE (la + proche)
FR3800756	29177	Pelouses arrière-dunaires de Porzh tévigné	4 km
<b>NATURA 2000</b>			
ID_MNHN	ID_ORG	NOM DISTANCE (la + proche)	DESCRIPTION INPN
FR5300045		Pointe de Corsen, le conquet 1 km	Présence d'individus de Grands rhinolophe ( <i>Rhinolophus ferrumequinum</i> ).
FR5300018		Ouessant-Molène 4 km	Présence d'individus de Grands rhinolophe ( <i>Rhinolophus ferrumequinum</i> ).
FR5310072		Ouessant-Molène 4 km	Présence de Fulmar boréal ( <i>Fulmarus glacialis</i> ), Puffin des Anglais ( <i>Puffinus puffinus</i> ), Océaniste tempête ( <i>Hydrobates pelagicus</i> ), Océanite tempête ( <i>Hydrobates pelagicus</i> ), Grand Cormoran ( <i>Phalacrocorax carbo</i> ), Cormoran huppé ( <i>Phalacrocorax aristotelis</i> ), Aigrette garzette ( <i>Egretta garzetta</i> ), Tadorne de Belon ( <i>Tadorna tadorna</i> ), Busard des roseaux ( <i>Circus aeruginosus</i> ), Faucon pèlerin ( <i>Falco peregrinus</i> ), Râle d'eau ( <i>Rallus aquaticus</i> ), Huîtrier pie ( <i>Haematopus ostralegus</i> ), Gravelot à collier interrompu ( <i>Charadrius hiaticula</i> ), Pluvier argenté ( <i>Pluvialis squatarola</i> ), Bécasseau sanderling ( <i>Calidris alba</i> ), Bécasseau violet ( <i>Calidris maritima</i> ), Bécassine des marais ( <i>Gallinago gallinago</i> ), Barge rousse ( <i>Limosa lapponica</i> ), Courlis corlieu ( <i>Numenius phaeopus</i> ), Courlis cendré ( <i>Numenius arquata</i> ), Chevalier gambette ( <i>Tringa totanus</i> ), Chevalier aboeur ( <i>Tringa nebularia</i> ), Tourne pierre à collier ( <i>Arenaria interpres</i> ), Skua à longue queue ( <i>Stercorarius pomarinus</i> ), Skua parasite ( <i>Stercorarius parasiticus</i> ), Grand Labbe ( <i>Catharacta skua</i> ), Goéland brun ( <i>Larus fuscus</i> ), Goéland argenté ( <i>Larus argentatus</i> ), Goéland marin ( <i>Larus marinus</i> ), Mouette tridactyle ( <i>Rissa tridactyla</i> ), Sterne de Dougall ( <i>Sterna dougallii</i> ), Sterne pierregarin ( <i>Sterna hirundo</i> ), Macareux moine ( <i>Fratercula arctica</i> ), Fauvette pitchou ( <i>Sylvia undata</i> ), Crave à bec rouge ( <i>Pyrrhocorax pyrrhocorax</i> ), Sterne caugek ( <i>Thalasseus sandvicensis</i> ) et Sterne naine ( <i>Sternula albifrons</i> ).
<b>ZNIEFF 1</b>			
ID_MNHN	ID_ORG	NOM DISTANCE (la + proche)	DESCRIPTION INPN

530030064	00000571	Côtes des pointes de Corsen et Breterch des anses de Porspaul à Illien	1 km	<p>La ZNIEFF des côtes de Corsen et Breterch'h s'étend de l'anse de Porspaul au Nord (lieu-dit Le Rumeur) à l'anse d'Illien (jusqu'au ruisseau central où elle est au contact de la ZNIEFF des Blancs Sablons et Pointe de Kermorvan). Elle est caractérisée par des falaises littorales moyennement élevées (jusqu'à 40 mètres environ au Sud de la Pointe de Corsen) avec des ceintures végétales caractéristiques (des lichens hydrohalins à la limite du flot aux landes littorales ou fourrés modelés par les vents) avec localement un développement important de la végétation des rochers exposés aux embruns. Ces falaises sont interrompues principalement au niveau de l'Anse de Porsmoguer au fond de laquelle s'étendent la dune perchée de Kerhornou et un vallon humide, puis plus au Nord à Porz Tévigné où est également présent un beau petit système dunaire. Au-delà au niveau d'une côte rocheuse abaissee est présente l'île Ségal, sur la bande côtière alternent dunes fixées, prairies mésophiles sablonneuses et localement pelouses littorales. Habitats et espèces remarquables présents donnent à ce site une grande valeur biologique.</p> <p>Espèces remarquables : Oiseaux : le secteur de la Pointe de Corsen était une zone de reproduction classique du Crave à bec rouge (<i>Pyrrhocorax pyrrhocorax</i>) qui l'avait cependant déserté il y près de 15 ans à cause des dérangements humains, il y niche à nouveau de façon épisodique. Bruant proyer (<i>Emberiza calandra</i>) et Fauvette pitchou (<i>Sylvia undata</i>) sont nicheurs sur la zone.</p>
530030053	00000255	Dune des Blancs Sablons et Pointe de Kermorvan	2 km	<p>Zone naturelle située au Nord de la Ria du Conquet constituée par la Pointe de Kermorvan formant presqu'île à laquelle succède au Nord-Est dans un rentrant de la côte une vaste dune perchée très peu calcaire, et au-devant une plage : les Blancs Sablons. La plage se referme au Nord par une pointe (Kervillou) la séparant de la Plage d'Illien, la zone s'étend jusqu'au milieu de la crique d'Illien où elle est en contact avec une autre ZNIEFF (Côtes des pointes de Corsen et Breterch'h de Porspaul à Illien). La ZNIEFF « Dune des Blanc Sablons et Pointe de Kermorvan » possède tout particulièrement des intérêts floristiques rares et originaux.</p> <p>Espèces remarquables : Faune : Mammifères : la chauve-souris Grand rhinolophe hiverne en petit nombre (30 à 40 individus) dans plusieurs blockhaus présents sur le site, des suivis réguliers de cette population sont réalisés et leurs gîtes sont protégés. Oiseaux : l'avifaune est caractéristique des habitats présents, la Fauvette pitchou (<i>Sylvia undata</i>) est nicheuse dans les landes et fourrés du site.</p>
530030052	00000230	Ria du Conquet, étang de Kerjean et Vallon de Kermorvan	2 km	<p>Petit aber (ria étant le synonyme plus usité dans le cas du Conquet) dominé par une rive Nord au relief accusé et une rive Sud basse et partiellement urbanisée. Le fond de l'estuaire et les rives de l'étang de Kerjan sont très boisés. Les cours inférieurs des ruisseaux émissaires de l'étang de Kerjean sont également retenus pour des raisons écologiques fonctionnelles, et il est ajouté le grand vallon boisé de Kermorvan entre le Moulin de Kerléo en amont et le Moulin d'en Bas en aval. Ce vallon contient plusieurs retenues d'eau alimentées par un ruisseau et une station de traitement des eaux, c'est un espace très privé qui resterait encore à prospection presque complètement au plan naturaliste, avec l'assentiment des propriétaires ; la présence d'au moins un habitat forestier d'intérêt communautaire est avérée, ainsi que sa fréquentation par des espèces protégées et d'intérêt communautaire.</p> <p>Espèces remarquables : Faune : Oiseaux : zone d'hivernage pour de nombreux limicoles, dont le chevalier gambette (<i>Tringa totanus</i>), et les laridés, dont la Mouette mélanocephale (<i>Larus melanocephalus</i>). Nidification du Tadorne. Mammifères : un gîte de reproduction de Grand rhinolophe (<i>Rhinolophus ferrumequinum</i>) abritant plusieurs dizaines d'individus (adultes et jeunes) existe dans le Vallon de Kermorvan, cette population fait l'objet d'un suivi régulier par des naturalistes</p>
530020051	00000751	Etangs de Keromvel	4 km	Source et petit bassin versant dans une prairie humide, et bassin de lagunage d'une ancienne décharge. 4 espèces d'Odonates sur une surface réduite dont <i>Lestes barbarus</i> , à l'extrême ouest de son aire. La plus importante station de <i>Coenagrion scitulum</i> , rare et localisé.

ZNIEFF 2			
ID_MNHN	ID_ORG	NOM DISTANCE (la + proche)	DESCRIPTION INPN
530015441	05980000	ETIER DE PENERF  2,6 km	<p>Zones humides de l'embouchure de la rivière de Penerf</p> <p>* Intérêt ornithologique : nidification d'oiseaux peu courants en Bretagne, Aigrette garzette, Echasse blanche, Chevalier gambette. Hivernage de l'Aigrette garzette (20/100 ind.), de l'Avocette (500/800 ind.).</p> <p>Site d'importance internationale pour la Spatule blanche : entre 55 et 155 individus en migration prénuptiale, 20 à 25 en hivernage.</p> <p>* Intérêt mammalogique : présence de la Loutre d'Europe et du Vison d'Europe. Zone d'intérêt européen pour la conservation des oiseaux sauvages (ZICO).</p> <p>* Intérêt botanique : une espèce d'intérêt européen (<i>Rumex maritimus</i>), 3 espèces figurant au livre rouge des espèces menacées du massif armoricain (dont 1 de l'annexe I).</p>

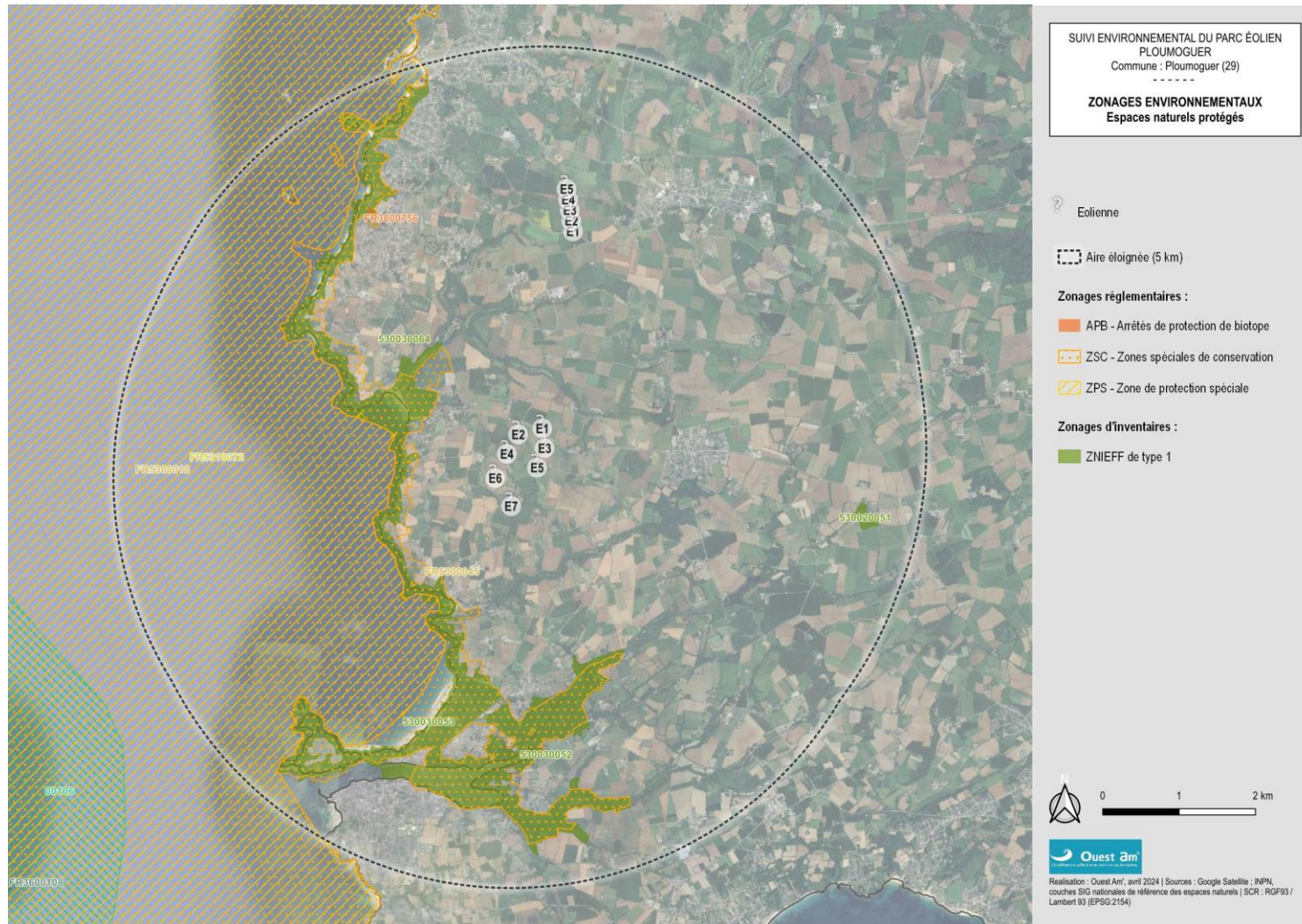


Figure 5 : carte du contexte environnemental du parc éolien

## 13 RESULTATS DES TESTS

### 13.1 TESTS D'EFFICACITE ET DE PERSISTANCE

A partir des résultats des tests (Annexes 3 et 4), l'efficacité d'observation et la persistance ont été directement calculées ainsi que modélisées statistiquement avec GenEst. Les résultats sont présentés ci-dessous (Tableau 13).

Tableau 13 : efficacité d'observation et persistance moyenne des cadavres

	Huso et Jones	GenEst
Efficacité d'observation (%)	Chiroptères/Oiseaux : 83 / 95	73
Persistante des cadavres (jours)	5,02*	3,70**

\*(t) : persistance moyenne

\*\*persistance médiane : temps au bout duquel 50% des cadavres ont disparu

### 13.2 PROSPECTABILITE

Selon les différentes composantes de l'occupation du sol sous les éoliennes, selon son évolution saisonnière et selon l'évolution des modes de gestion, la prospectabilité a varié au cours des recherches.

Le graphique suivant montre, pour chaque éolienne, la surface réellement prospectée lors de chaque passage (Figure 6).

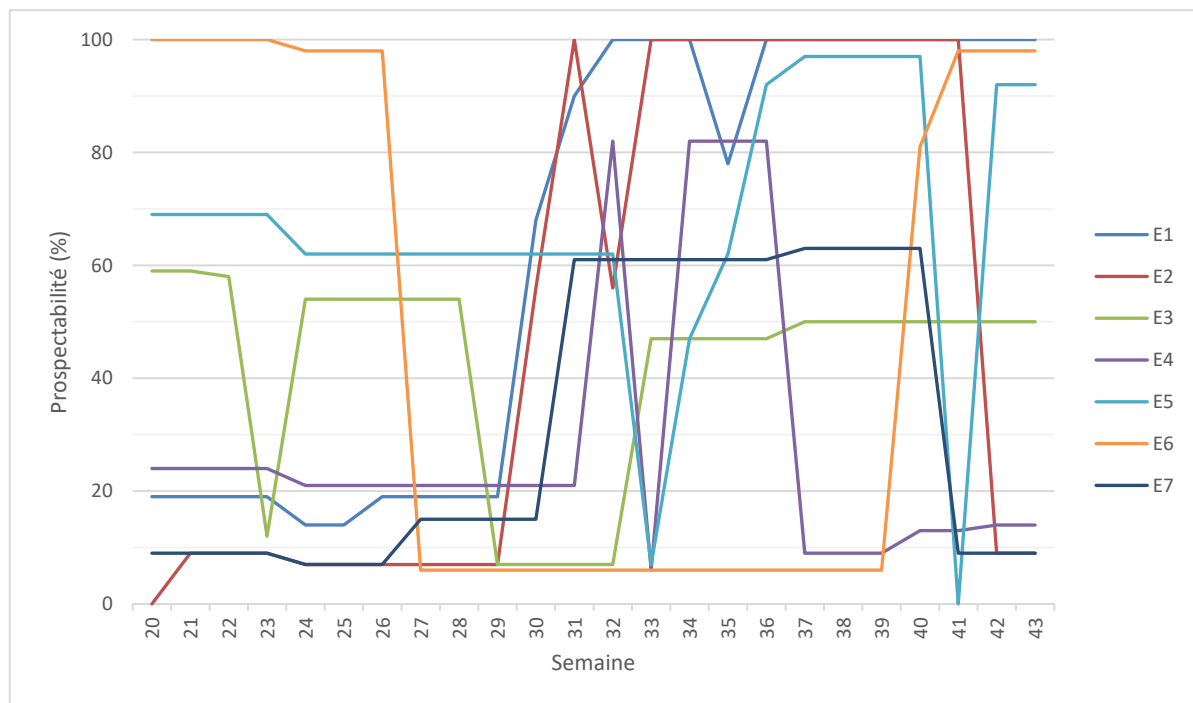


Figure 6 : évolution de la prospectabilité au cours du suivi

Sur l'ensemble de ce suivi, la prospectabilité est moyenne avec 47% des surfaces prospectées (Tableau 14).

Tableau 14 : surface prospectée en fonction de l'éolienne

Eolienne	Surface prospectée (%)	Niveau de prospectabilité
E1	63	Bon
E2	50	Moyen
E3	43	Moyen
E4	28	Mauvais
E5	67	Bon
E6	48	Moyen
E7	32	Mauvais
Parc	47	Moyen

Ce facteur impacte logiquement les calculs d'estimation de mortalité avec une influence plus ou moins marquée selon la formule. Il est pris en compte dans l'interprétation des données de mortalité.

## 14 MORTALITE DES CHIROP TERES

### 14.1 MORTALITE BRUTE

**Au total, 5 cadavres de chiroptères** ont été découverts durant ce suivi de 24 passages sous les éoliennes du parc de Ploumoguer (Tableau 15, Annexe 5 et Annexe 9).

La mortalité par mois et par espèce (Figure 7) ainsi que la mortalité par éolienne est illustrée ci-dessous (Figure 8).

Tableau 15 : informations concernant les cadavres trouvés

Date	Espèce	Sexe	Âge	État de l'individu	État du cadavre	Blessure apparente	Prédation	Cause présumée	Éolienne	Distance et orientation
08/08/24	Pipistrelle commune	Ind.	+1A	mort	sec	oui	non	collision	E5	10m NE
13/08/24	Pipistrelle commune	F	+1A	mort	frais	non	non	barotromatisme	E5	14m N
13/08/24	Sérotine commune	M	Ad.	mort	frais	non	non	barotromatisme	E7	9m N
22/08/24	Pipistrelle commune	Ind.	Ad.	mort	sec	non	non	collision	E7	10m SO
11/09/24	Oreillard gris	M	Ad.	mort	frais	oui	non	collision	E5	1m O

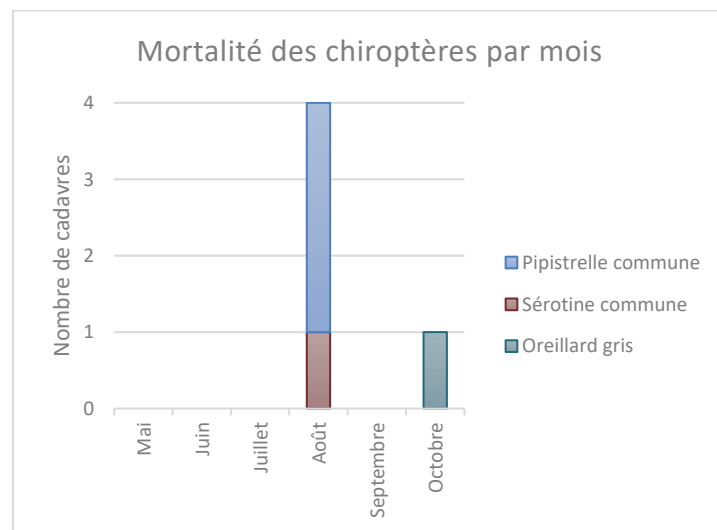


Figure 7 : mortalité des espèces de chiroptères découvertes par mois

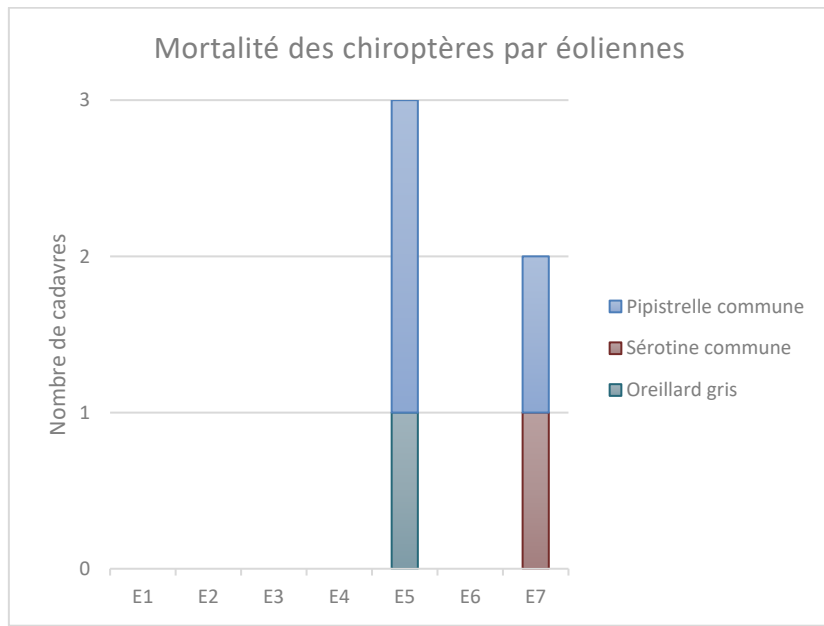


Figure 8 : mortalité des espèces de chiroptères découvertes par éolienne

## 14.2 CAUSES DE LA MORTALITE

Il est difficile, et même parfois impossible, d'être catégorique au sujet des raisons qui ont provoqué la mort des chauves-souris observées sous les éoliennes. En effet, l'état de putréfaction ou de dessiccation d'un cadavre est parfois tel qu'à défaut d'autopsie vétérinaire approfondie, la cause de la mort ne peut être clairement identifiée, alors qu'il n'empêche pas forcément la diagnose ostéodentaire ou même le sexage de l'individu collecté.

Dans notre cas, 2 individus sont morts par barotraumatisme et 3 par collision.

## 14.3 STATUTS DES ESPECES IMPACTEES

Les statuts de protection et de menace des espèces impactées sont rappelés ci-dessous (Tableau 16).

Tableau 16 : statuts de protection et de conservation des chiroptères impactés

Nom vernaculaire	Nom latin	Liste rouge France (2017)	Liste rouge Bretagne (2015)	Responsabilité biologique Bretagne (2015)	Directive Habitat Faune Flore Annexe 2	Protection nationale	Indice de conservation	Indice de sensibilité aux éoliennes	Indice de vulnérabilité	Mortalité en Europe (Tobias Dürr) au 05/11/2024
Pipistrelle commune	<i>Pipistrellus pipistrellus</i>	NT	LC	Mineure		Art. 2	3	4	3,5	3642
Sérotinge commune	<i>Eptesicus serotinus</i>	NT	LC	Mineure		Art. 2	3	4	3,5	79
Oreillard gris	<i>Plecotus austriacus</i>	LC	LC	Mineure		Art. 2	2	1	1,5	173

LC : Préoccupation mineure

## 14.4 MORTALITE ESTIMEE

L'estimation de la mortalité a été calculée à l'aide de 3 méthodes : Huso, Jones et GenEst, conformément aux exigences du protocole national d'avril 2018 (Tableau 17).

**Tableau 17 : estimation de la mortalité des chiroptères**

N° Éolienne	Mortalité observée	Estimation de la mortalité		
		N Jones	N Huso	N GenEst
E1	0	0	0	0
E2	0	0	0	0
E3	0	0	0	0
E4	0	0	0	0
E5	3	11,2	10,4	10,1 (IC 95% : 4,5-20,3)
E6	0	0	0	0
E7	2	15,2	14,0	14,7 (IC 95 % : 6,3-33,1)
<b>Parc</b>	<b>5</b>	<b>25,6</b>	<b>23,6</b>	<b>24,0 (IC 95% : 10,6-46,3)*</b>

\*Médiane estimée pour l'ensemble des données de chiroptères, ajustée à la surface totale moyenne prospectée

**Le nombre de cas de mortalité estimé pour l'ensemble du parc se situe entre 23,6 et 25,6.**

Les différents paramètres utilisés dans le calcul de ces estimations sont détaillés en Annexe 6.

## 15 MORTALITE DE L'AVIFAUNE

### 15.1 MORTALITE BRUTE

Au total, 9 cadavres d'oiseaux ont été découverts sous les éoliennes du parc de Ploumoguer au cours des 24 passages réalisés lors de ce suivi (Tableau 18, Annexe 7 et Annexe 10).

La mortalité par mois et par espèce (Figure 9) ainsi que la mortalité par éolienne (Figure 10) est illustrée ci-dessous.

Tableau 18 : informations concernant les cadavres trouvés

Date	Espèce	Sexe	Âge	État de l'individu	État du cadavre	Blessure visible	Prédation	Cause présumée	Éolienne	Distance et orientation
04/07/24	Pigeon colombe	ind	ind	mort, plumée	prédaté	non	oui	collision	E3	20m SE
18/07/24	Pigeon ramier	ind	ind	mort, plumée	prédaté	non	oui	collision	E1	34m SE
18/07/24	Goéland brun	ind	ad.	mort, plumée	prédaté	non	oui	collision	E7	38m SO
26/07/24	Goéland brun	ind	ad.	mort, plumée	prédaté	non	oui	collision	E2	32m SO
08/08/24	Canard colvert	ind	ind	mort, plumée	prédaté	non	oui	collision	E4	48m E
13/08/24	Pigeon ramier	ind	ind	mort, plumée	prédaté	non	oui	collision	E5	7m E
22/08/24	Goéland brun	ind	juv.	mort, plumée	prédaté	non	oui	collision	E4	24m E
05/09/24	Goéland brun	ind	juv.	mort, plumée	prédaté	non	oui	collision	E1	30m E
10/10/24	Goéland brun	ind	ad.	Fragments	plumée	-	oui	collision	E3	10m N

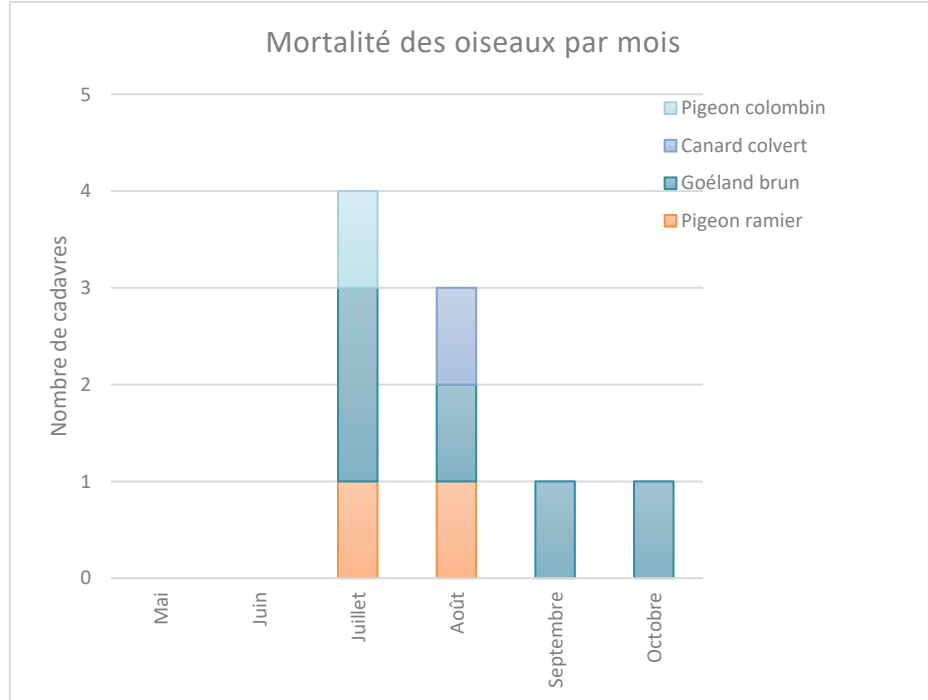


Figure 9 : mortalité des espèces d'oiseaux découvertes par mois

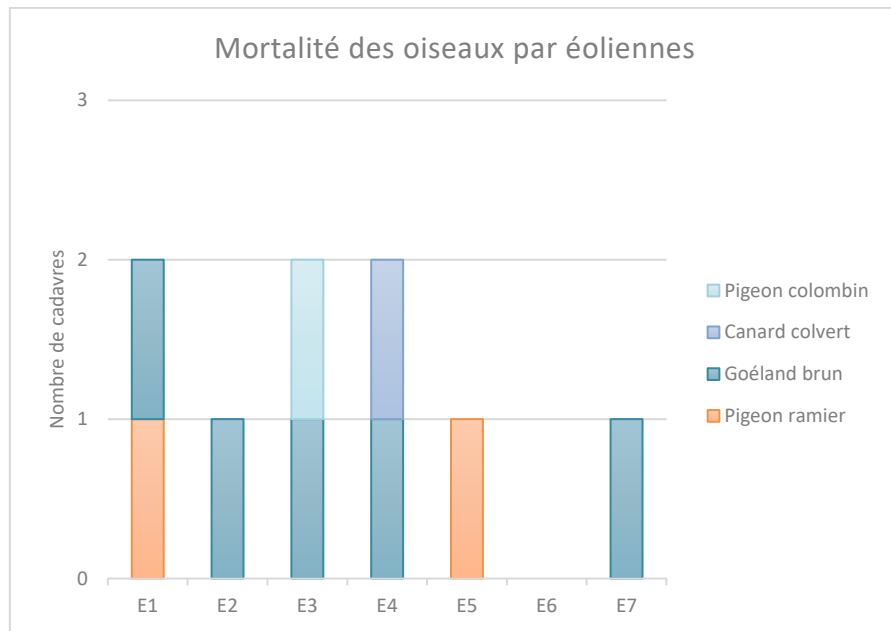


Figure 10 : mortalité des espèces d'oiseaux découvertes par éolienne

## 15.2 CAUSES DE LA MORTALITE

Il est parfois difficile d'être catégorique au sujet des raisons qui ont provoqué la mort de l'avifaune observée sous les éoliennes. En effet, l'état de putréfaction ou de dessiccation d'un cadavre est parfois tel qu'à défaut d'autopsie vétérinaire approfondie, la cause de la mort ne peut être clairement identifiée.

Dans notre cas, la mortalité de tous les individus a eu lieu par collision avec les pales.

## 15.3 STATUTS DES ESPECES IMPACTEES

Les statuts de protection et de menace des espèces impactées sont rappelés ci-dessous (Tableau 19).

Tableau 19 : statuts de protection et de conservation des oiseaux impactés

Nom vernaculaire	Nom scientifique	LR FR nicheurs (2016)	LR Bretagne nicheurs (2021)	Resp. biologique régionale (nicheurs)	Indice de conservation (nicheurs)	Indice de sensibilité (nicheurs)	Niveau de risque (nicheurs)	LR FR de passage (2011)	LR Bretagne de passage (2015)	Resp. biologique régionale (de passage)	Indice de conservation (de passage)	Indice de sensibilité (de passage)	Niveau de risque (de passage)	Directive Oiseaux Annexe 1	Espèce protégée	Mortalité en Europe (Tobias Dürr) au 29/10/2024
Pigeon colombin	<i>Columba oenas</i>	LC	LC	Mineure	2	2	2	NA	DD	NA	1	2	1,5			41
Canard colvert	<i>Anas platyrhynchos</i>	LC	LC	Modérée	2	3	2,5	NA	LC	Modérée	3	3	3			409
Goéland brun	<i>Larus fuscus</i>	LC	LC	Très élevée	2	3	2,5	NA	LC	Mineure	2	3	2,5	art . 3		372
Pigeon ramier	<i>Columba palumbus</i>	LC	LC	Mineure	2	3	2,5	NA	DD	Mineure	2	3	2,5			512

LC : Préoccupation mineure

## 15.4 MORTALITE ESTIMEE

L'estimation de la mortalité a été calculée à l'aide de 3 méthodes : Huso, Jones et GenEst, conformément aux exigences du protocole national d'avril 2018 (Tableau 19).

**Tableau 20 : estimation de la mortalité des oiseaux**

N° Éolienne	Mortalité observée	Estimation de la mortalité		
		N Jones	N Huso	N GenEst
E1	2	6,9	6,3	7,5 (IC 95% : 3,2-16,5)
E2	1	4,2	3,9	4,8 (IC 95% : 2,0-14,3)
E3	2	9,9	9,1	10,9 (IC 95% : 4,7-23,8)
E4	2	15	13,8	17,2 (IC 95% : 7,1-40,5)
E5	1	3,4	3,1	3,1 (IC 95% : 1,5-7,5)
E6	0	0	0	0
E7	1	6,6	6,1	7,3 (IC 95% : 3,1-19,7)
<b>Parc</b>	<b>9</b>	<b>40,5</b>	<b>37,4</b>	<b>43,5 (IC 95% : 23,8-75,5)*</b>

Médiane estimée pour l'ensemble des données de chiroptères, ajustée à la surface moyenne totale prospectée

**Le nombre de cas de mortalité estimé pour l'ensemble du parc se situe entre 37,4 et 43,5.**

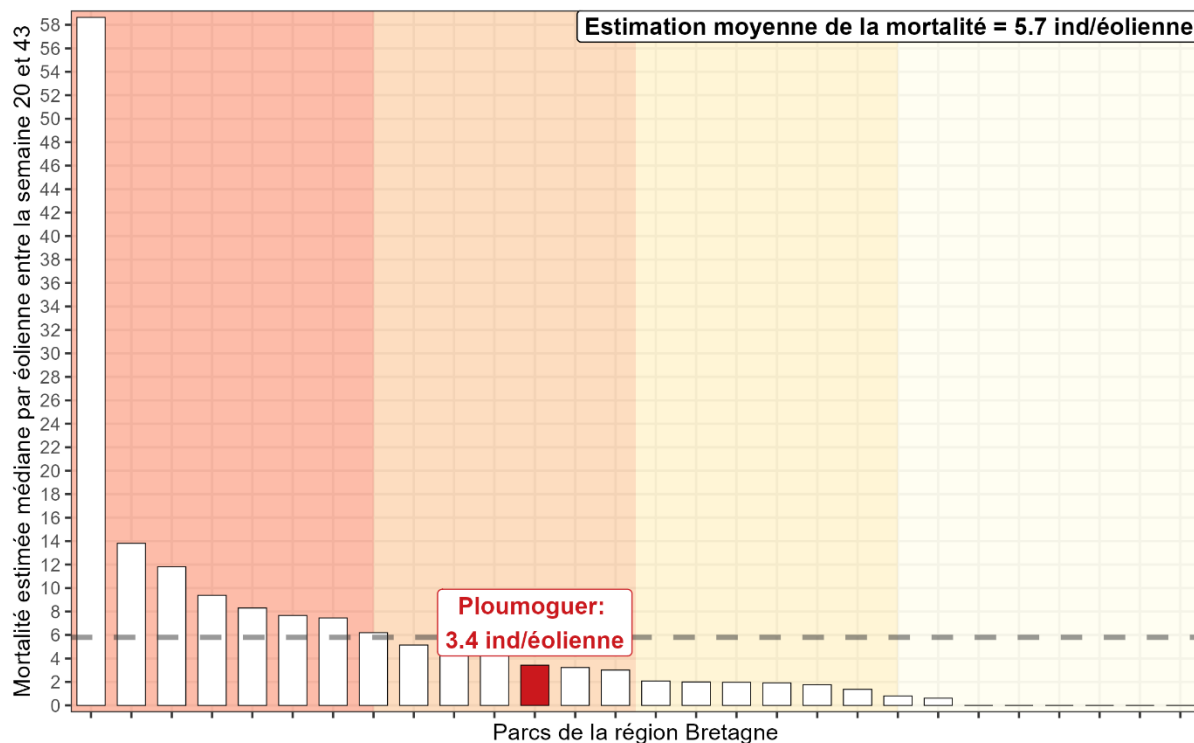
Les différents paramètres utilisés dans le calcul de ces estimations sont détaillés en Annexe 8.

## 16 COMPARAISON AVEC LES SUIVIS DE MORTALITE DES PARCS DE BRETAGNE

### 16.1 CHIROPTERES

Selon la méthode Ouest Am', avec une moyenne de 3,4 individus/éolienne, la mortalité constatée pour les chauves-souris sur le parc de Ploumoguer est **modérée et non significative pour le nombre d'individus estimé**, puisqu'elle se situe en dessous de la moyenne et entre le premier et troisième quartile des estimations de mortalité des parcs de la région (Figure 11).

Aucune espèce ayant de classement de patrimonialité « Vulnérable » ou de niveau supérieur n'a été recensée.



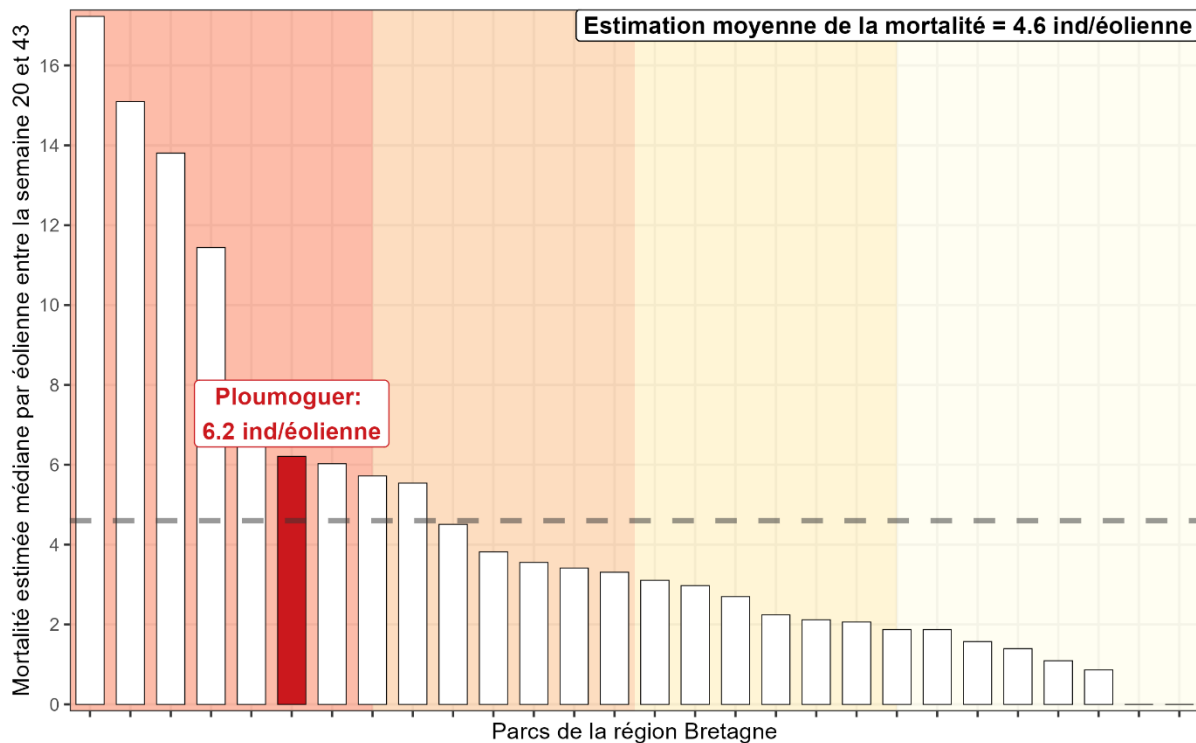
**Figure 11 : diagramme en barre représentant la mortalité estimée médiane des chiroptères par éolienne, calculée entre la semaine 20 et 43, sur l'ensemble des sites de la région (barres blanches) et sur le site d'étude (barre rouge)**

*La barre horizontale pointillée représente la mortalité moyenne estimée des sites. Les couleurs en fond de graphique divisent les parcs en quartile en fonction de la mortalité estimée*

## 16.2 AVIFAUNE

Selon la méthode Ouest Am', avec une moyenne de 6,2 individus/éolienne, la mortalité constatée pour les oiseaux sur le parc de Ploumoguer est **forte et significative pour le nombre d'individus estimé, puisqu'elle se situe au-dessus de la moyenne et du premier quartile des estimations de mortalité des parcs de la région** (Figure 12).

Aucune espèce ayant de classement de patrimonialité « Vulnérable » ou de niveau supérieur n'a été recensée.



**Figure 12 : diagramme en barre représentant la mortalité estimée médiane des oiseaux par éolienne, calculée entre la semaine 20 et 43, sur l'ensemble des sites de la région (barres blanches) et sur le site d'étude (barre rouge)**

*La barre horizontale pointillée représente la mortalité moyenne estimée des sites. Les couleurs en fond de graphique divisent les parcs en quartile en fonction de la mortalité estimée*

## 17 SUIVI D'ACTIVITE DES CHIROPTERES

### 17.1 E5

#### 17.1.1 ESPECES RECENSEES SUR LE SITE ET ACTIVITE

Le suivi acoustique a mis en évidence la présence d'au moins **8 espèces de chiroptères** (Figure 13). Parmi ces espèces, la **Pipistrelle commune** représente l'essentiel de l'activité (1850 secondes). La **Noctule commune** arrive au second rang (349 secondes) suivie par la **Sérotine commune** (292 secondes).

La **Pipistrelle de Kuhl** arrive au quatrième rang avec une activité plus faible (107 secondes), suivie par la **Noctule de Leisler** (98 secondes), la **Pipistrelle de Nathusius** (29 secondes), la **Barbastelle d'Europe** (19 secondes) et l'**Oreillard gris** (4 secondes).

Les espèces recensées sont particulièrement sensibles aux éoliennes (pipistrelles et noctules).

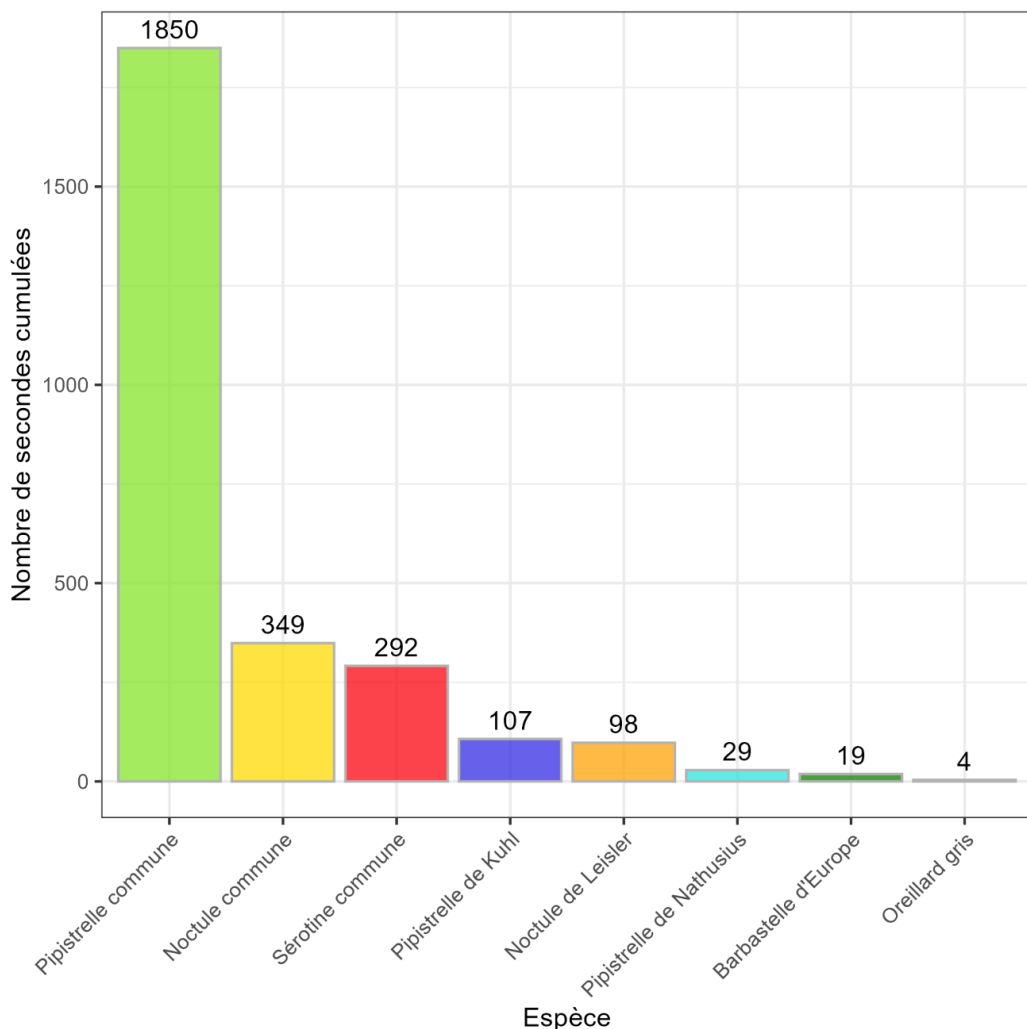
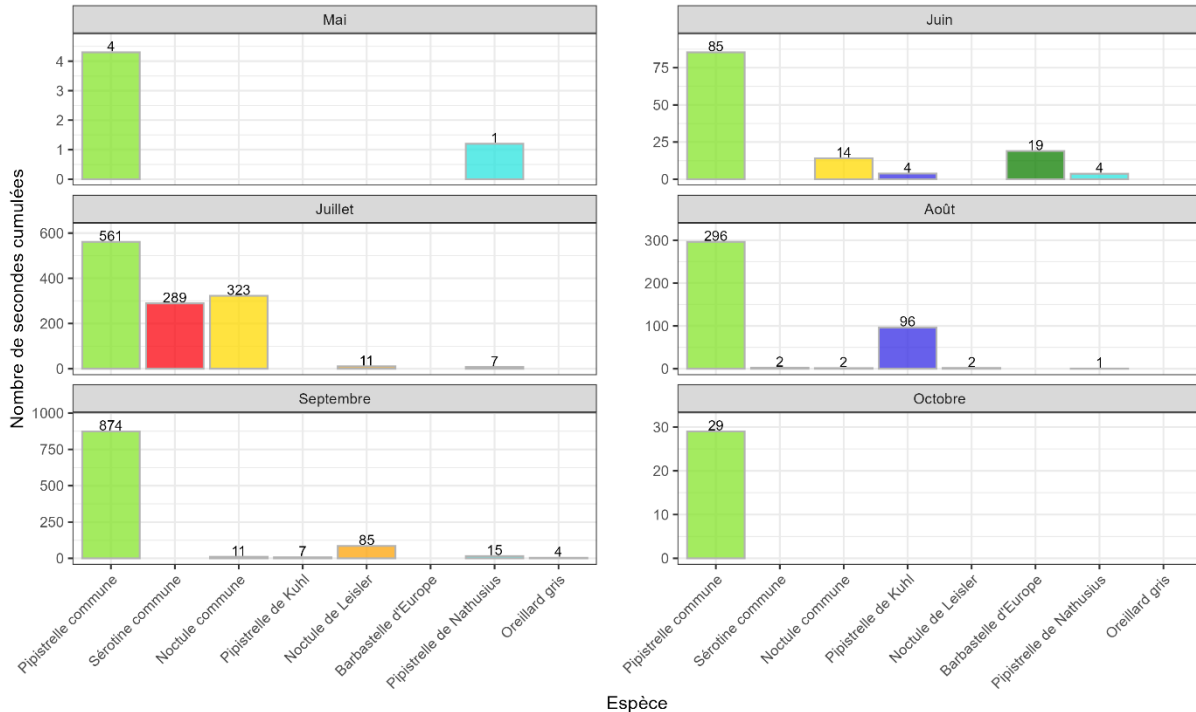


Figure 13 : activité en secondes cumulées par espèce sur l'ensemble du suivi

L'activité par mois montre que juillet et septembre représentent l'essentiel de l'activité (Figure 14).



**Figure 14 : activité en secondes cumulées par espèce et par mois**  
*Les échelles des graphiques sont libres pour permettre une meilleure visualisation de l'activité*

Les données d'activité sur l'ensemble du suivi ainsi que par mois sont détaillées en annexes (Annexes 11 et 12).

Les espèces recensées ont toutes à minima un statut NT sur liste rouge nationale et/ou régionale à part la **Pipistrelle de Kuhl** et l'**Oreillard gris**. Seule la **Noctule commune** a un statut VU au niveau national (Tableau 21).

**Tableau 21 : statuts de protection et de conservation des chauves-souris recensées**

Nom vernaculaire	Nom latin	Liste rouge France (2017)	Liste rouge Bretagne (2015)	Responsabilité biologique Bretagne (2015)	Directive Habitats Annexe 2	Protection nationale	Indice de conservation	Indice de sensibilité	Indice de vulnérabilité
Barbastelle d'Europe	<i>Barbastella barbastellus</i>	LC	NT	Modérée	x	Art. 2	3	2	2,5
Noctule commune	<i>Nyctalus noctula</i>	VU	NT	Modérée		Art. 2	4	4	4
Noctule de Leisler	<i>Nyctalus leisleri</i>	NT	NT	Modérée		Art. 2	3	4	3,5
Oreillard gris	<i>Plecotus austriacus</i>	LC	LC	Mineure		Art. 2	2	1	1,5
Pipistrelle commune	<i>Pipistrellus pipistrellus</i>	NT	LC	Mineure		Art. 2	3	4	3,5
Pipistrelle de Kuhl	<i>Pipistrellus kuhlii</i>	LC	LC	Mineure		Art. 2	2	4	3
Pipistrelle de Nathusius	<i>Pipistrellus nathusii</i>	NT	NT	Modérée		Art. 2	3	4	3,5
Sérotine commune	<i>Eptesicus serotinus</i>	NT	LC	Mineure		Art. 2	3	4	3,5

LC : préoccupation mineure ; NT : quasi-menacé ; VU : vulnérable

### 17.1.2 ANALYSE DE L'ACTIVITE SUR L'ENSEMBLE DU SUIVI

L'activité est hétérogène sur toute la période d'enregistrement (Figure 15). L'activité est nulle jusqu'à la semaine 25. On observe une faible activité jusqu'à la semaine 28 où deux pics d'activité apparaissent les semaines 29 et 30, notamment pour la **Sérotine commune**, la **Pipistrelle commune** et la **Noctule commune**. L'activité diminue ensuite entre les semaines 31 et 34. Un nouveau pic d'activité est observé semaine 35 pour la **Pipistrelle commune** et la **Pipistrelle de Kuhl**. L'activité rediminue ensuite les semaines 36 et 37, où un dernier pic d'activité est observé semaine 38 pour la **Pipistrelle commune** en particulier. L'activité est nulle après la semaine 39.

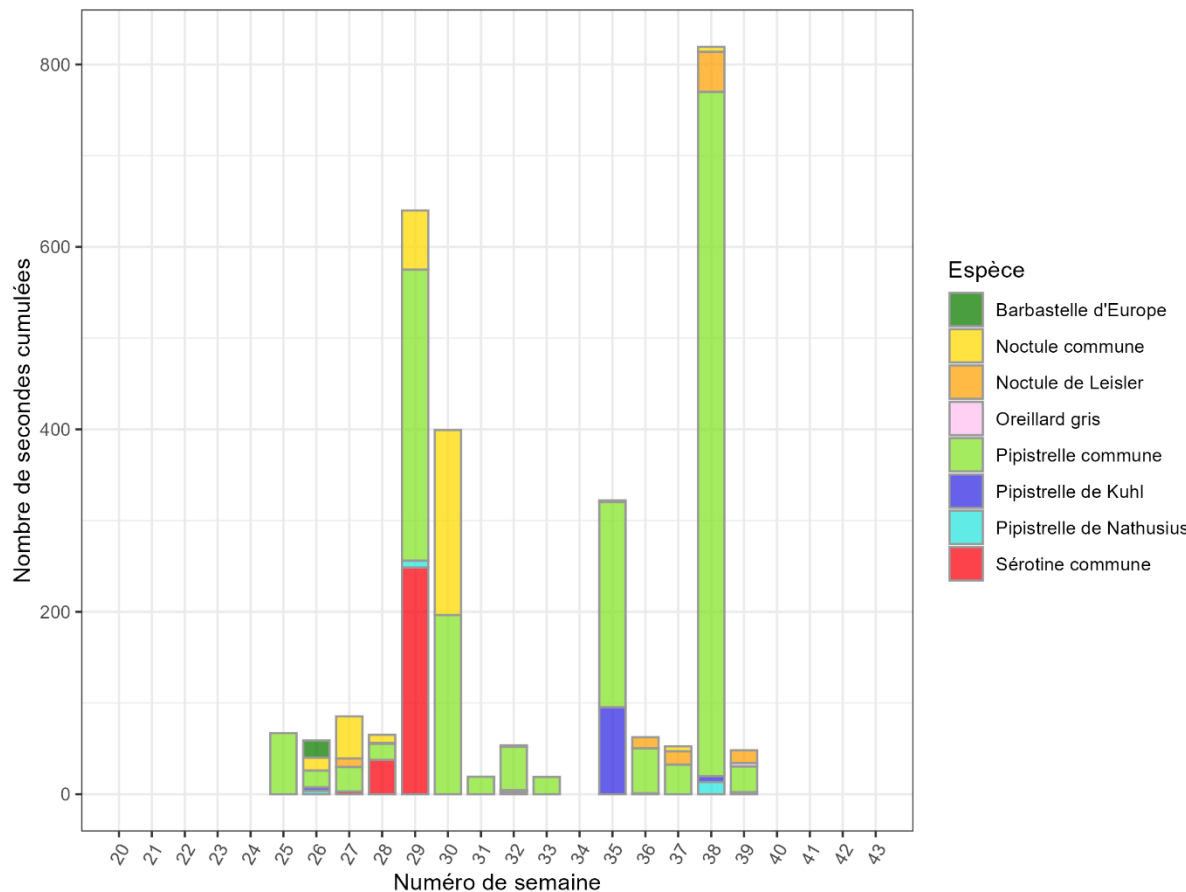
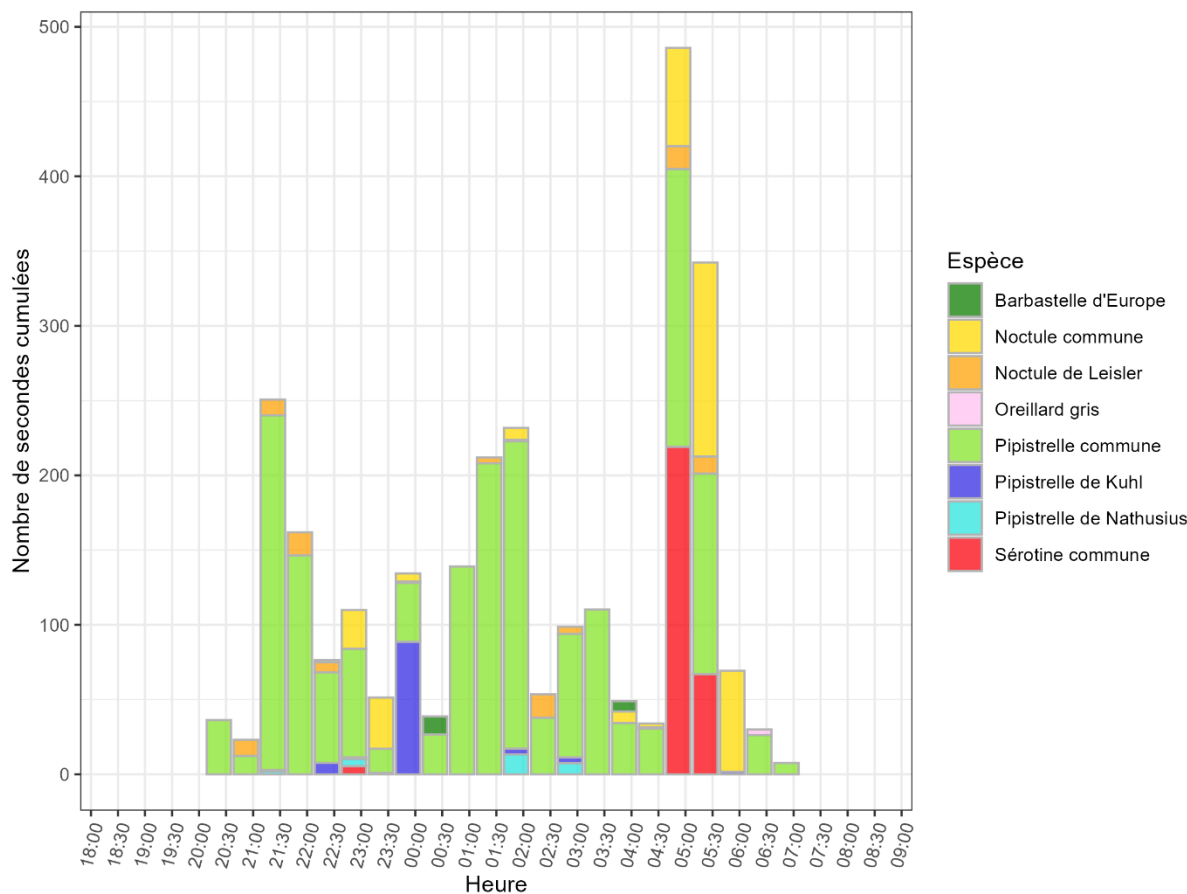


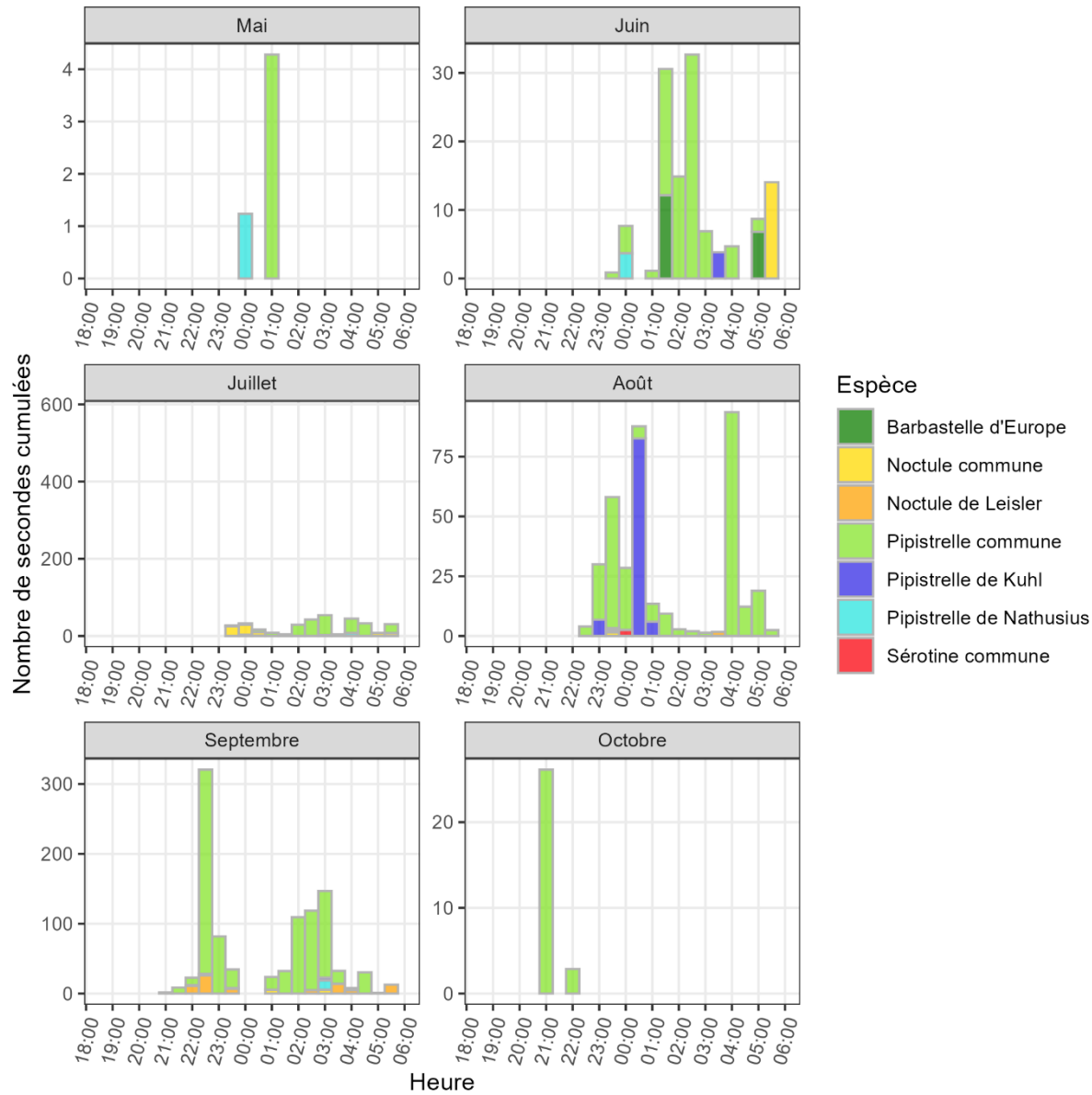
Figure 15 : activité par semaine sur l'ensemble du suivi

Sur l'ensemble de la période d'enregistrement, les chauves-souris ont été actives à partir de 20h00 jusqu'à 7h00 avec une activité plutôt homogène. En fin de nuit (4h30-5h30), la Sérotine commune montre une activité forte (Figure 16).



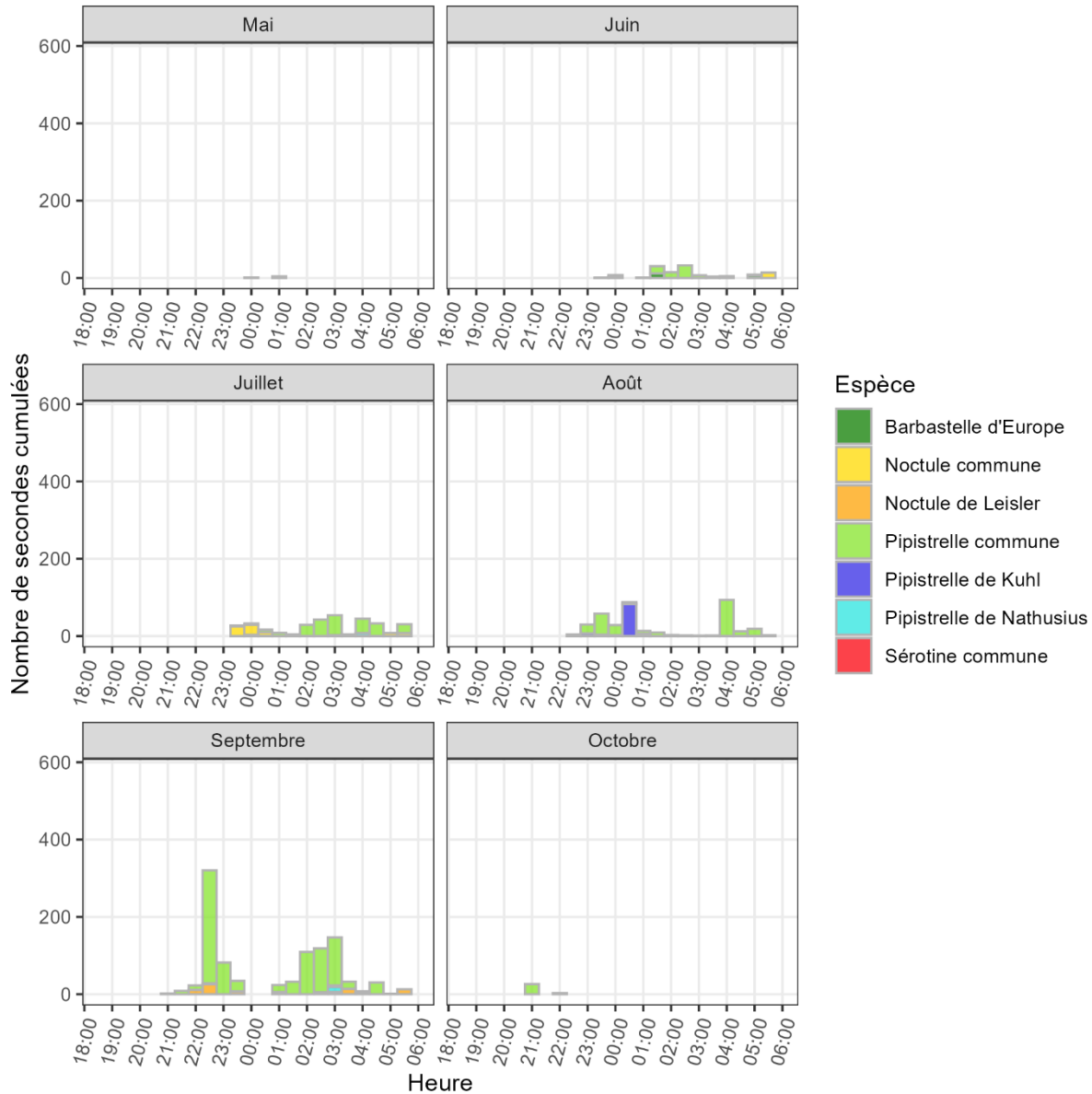
**Figure 16 : activité enregistrée en fonction de l'heure de la nuit sur l'ensemble de la période d'enregistrement**

En mai et octobre, l'activité est marquée en début de nuit. En août et septembre, l'activité est marquée en début et milieu de nuit. En Juin, l'activité est marquée en milieu et fin de nuit, tandis qu'en juillet, l'activité est marquée en fin de nuit (Figure 17).



**Figure 17 : activité enregistrée par mois en fonction de l'heure de la nuit (échelle variable)**

L'activité exprimée avec une échelle fixe montre que septembre représente l'essentiel de l'activité horaire annuelle exprimée en lien avec l'activité de la **Pipistrelle commune** (Figure 18).

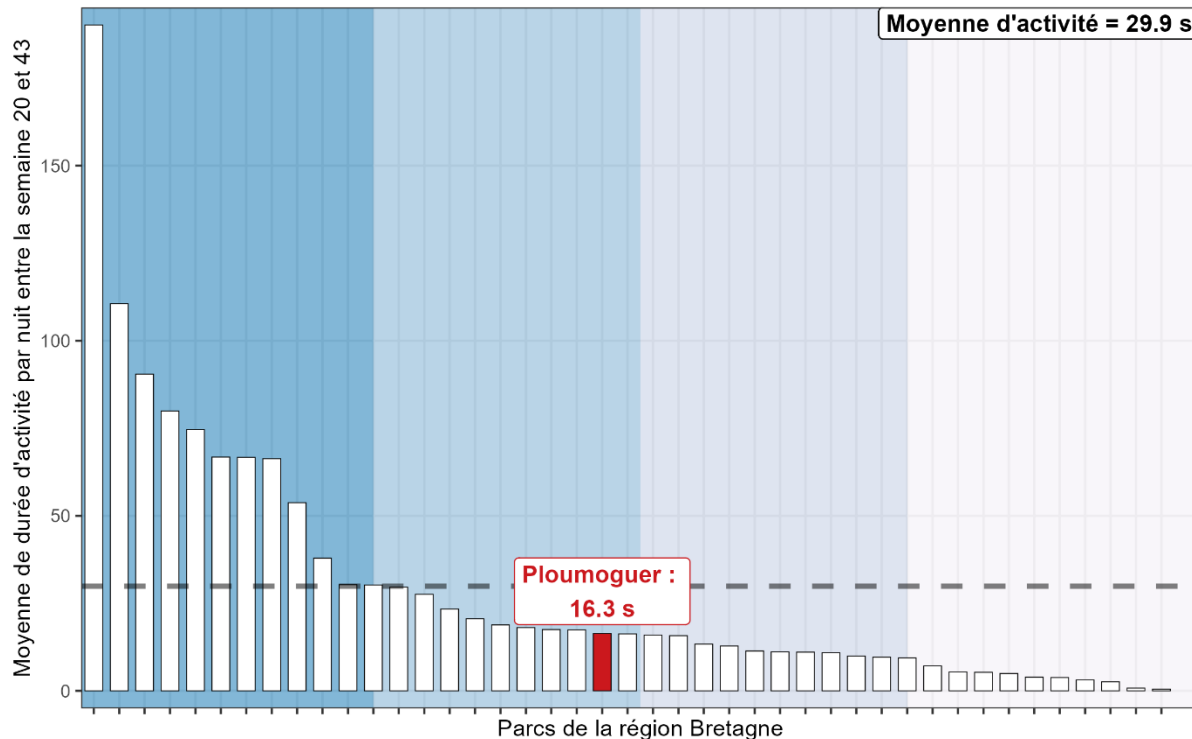


**Figure 18 : activité enregistrée par mois en fonction de l'heure de la nuit (échelle fixe)**

### **17.1.3 COMPARAISON AU REFERENTIEL D'ACTIVITE OUEST AM'**

En comparant l'activité moyenne du site à celles des sites de référence suivis par Ouest Am' entre 2020 et 2023, les niveaux d'activité peuvent être évalués pour l'ensemble des chiroptères et par espèce.

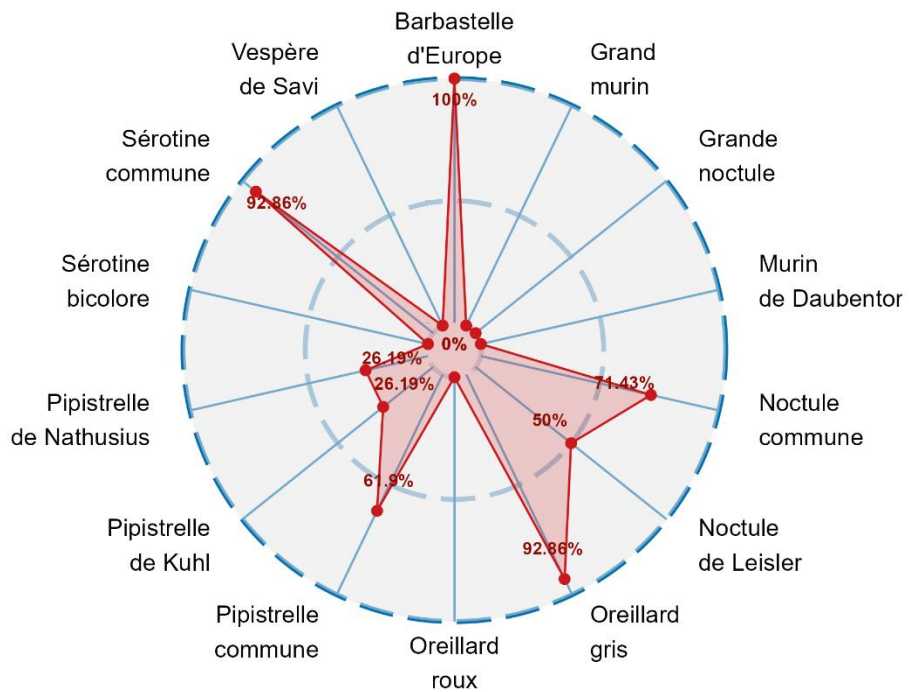
Avec une moyenne de 16,3 s, l'activité globale des chiroptères peut être considérée comme modérée, puisqu'elle se situe au-dessus de la moyenne d'activité des sites, et entre le premier quartile et le troisième quartile d'activité des sites de référence (Figure 19).



**Figure 19 : diagramme en barre représentant l'activité acoustique moyenne des chiroptères, enregistrée entre la semaine 20 et 43, sur l'ensemble des sites de référence de la région (barres blanches) et sur le site d'étude (barre rouge)**

*La barre horizontale pointillée représente la moyenne d'activité des sites. Les couleurs en fond de graphique divisent les parcs en quartile en fonction de l'activité moyenne enregistrée*

Les espèces avec les activités les plus notables au regard de l'ensemble des sites du référentiel sont celles de la **Barbastelle d'Europe**, la **Sérotine commune** et l'**Oreillard gris** ; leur activité est supérieure à 100%, 92% et 92% respectivement, des sites de référence (Figure 20).



**Figure 20:** graphique en radar représentant le quantile d'activité de chaque espèce par rapport aux sites de référence

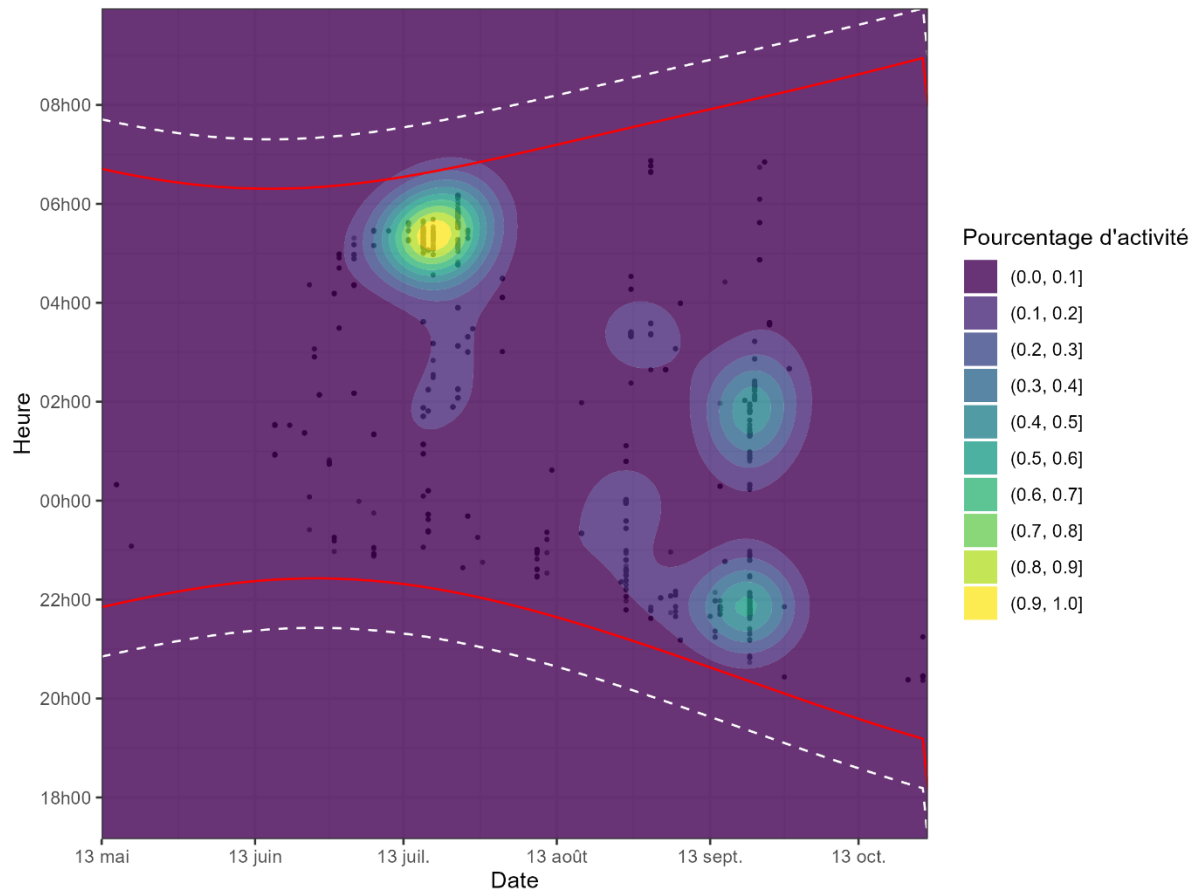
*Le pourcentage indiqué en rouge indique la proportion des sites de référence où l'activité de l'espèce est inférieure ou égale à la moyenne d'activité observée sur le site spécifique. A titre d'exemple, une valeur de 75% indique que l'activité de l'espèce sur ce site est supérieure à 75% des sites de référence*

#### 17.1.4 REPARTITION DE L'ACTIVITE DANS LE TEMPS

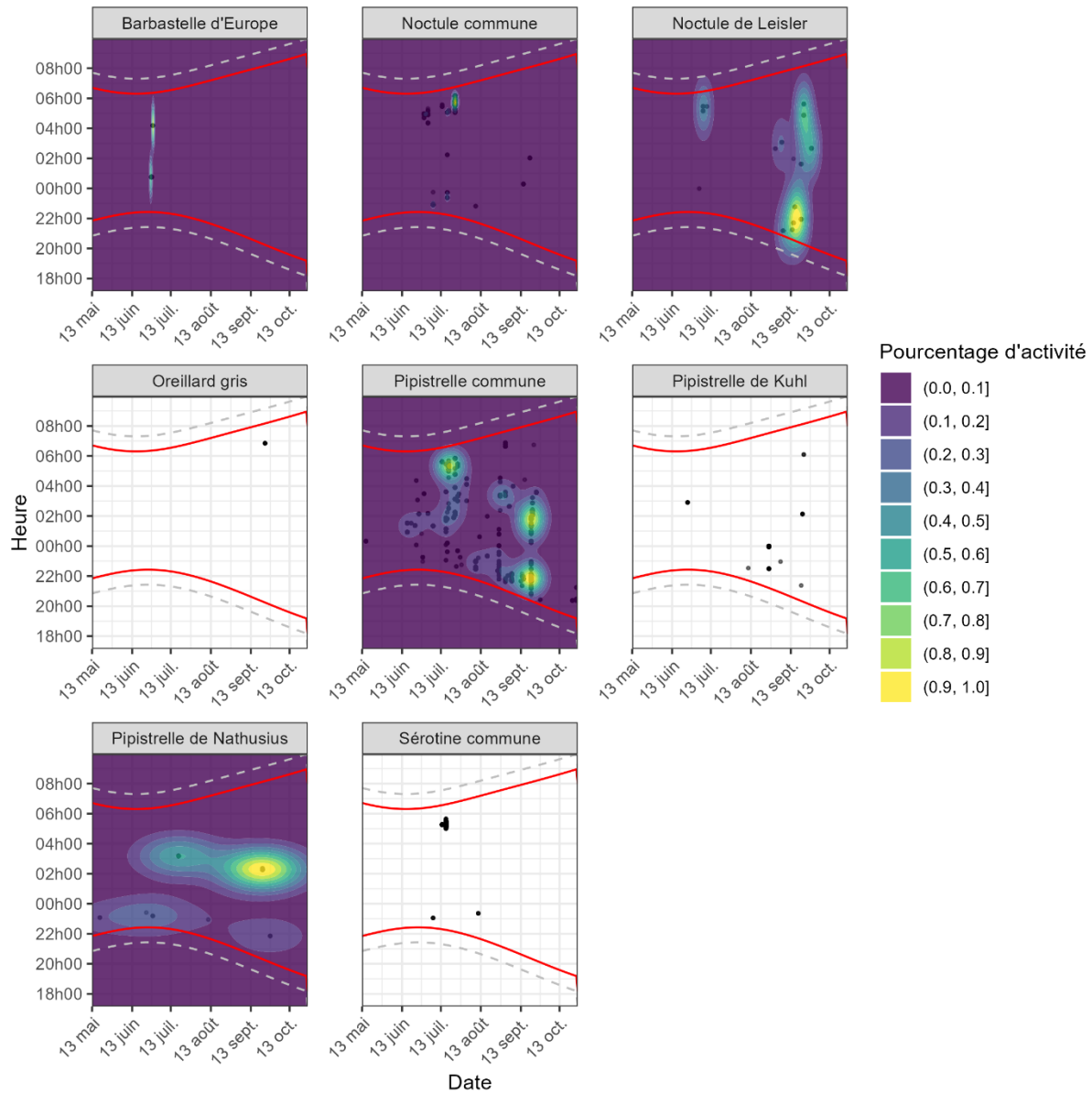
Il apparaît que la majorité de l'activité est enregistrée mi-juillet et mi-septembre (Figure 21) et correspond pour l'essentiel à l'activité de la **Pipistrelle commune**, la **Noctule de Leisler** et la **Pipistrelle de Nathusius**, et dans une moindre mesure de la **Noctule commune** (juillet) et la **Pipistrelle de Kuhl** (septembre) (Figure 22). L'activité de la **Barbastelle d'Europe** est concentrée début juillet.

L'Oreillard gris apparaît de manière anecdotique en septembre, période classique où l'espèce peut être notée en nacelle probablement lié à des pics d'émergence d'insectes.

L'activité apparaît marquée en début de nuit pour la **Barbastelle d'Europe**, la **Noctule de Leisler**, la **Pipistrelle commune** et la **Pipistrelle de Kuhl**. Elle apparaît également marquée en milieu de nuit pour la **Pipistrelle commune** et la **Pipistrelle de Nathusius**. Enfin, elle apparaît plus forte en fin de nuit pour la **Barbastelle d'Europe**, la **Noctule commune**, la **Noctule de Leisler**, la **Pipistrelle commune**, la **Pipistrelle de Nathusius** et la **Sérotine commune**.



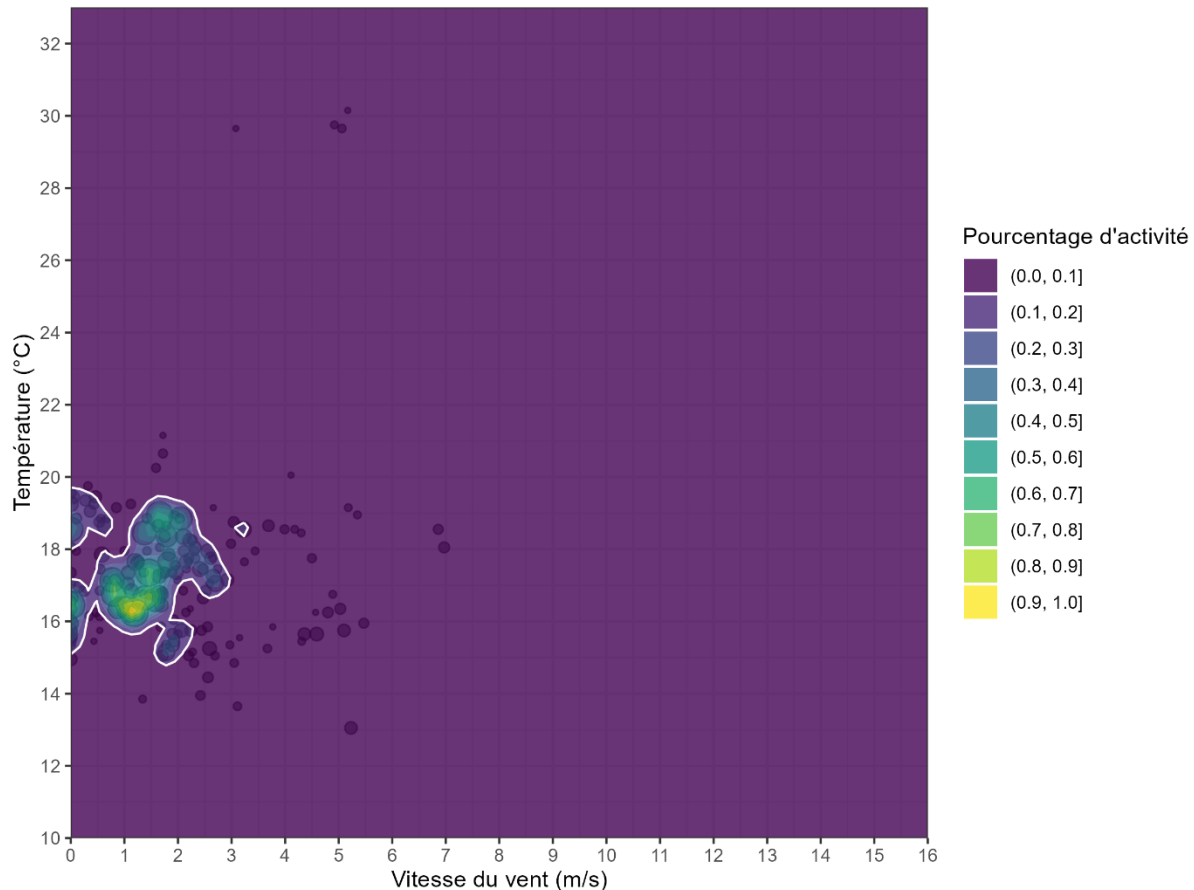
**Figure 21 : activité enregistrée en fonction de l'heure (ordonnées) et du mois (abscisse)**  
 Chaque point représente une mesure d'activité, la zone entourée représente 90 % de l'activité, les traits rouges représentent les heures de lever et de coucher du soleil, les traits en pointillé la période d'enregistrement.



**Figure 22 : activité enregistrée en fonction de l'heure (ordonnées) du mois (abscisse) et par espèce**  
*Chaque point représente une mesure d'activité, la zone entourée représente 90 % de l'activité*

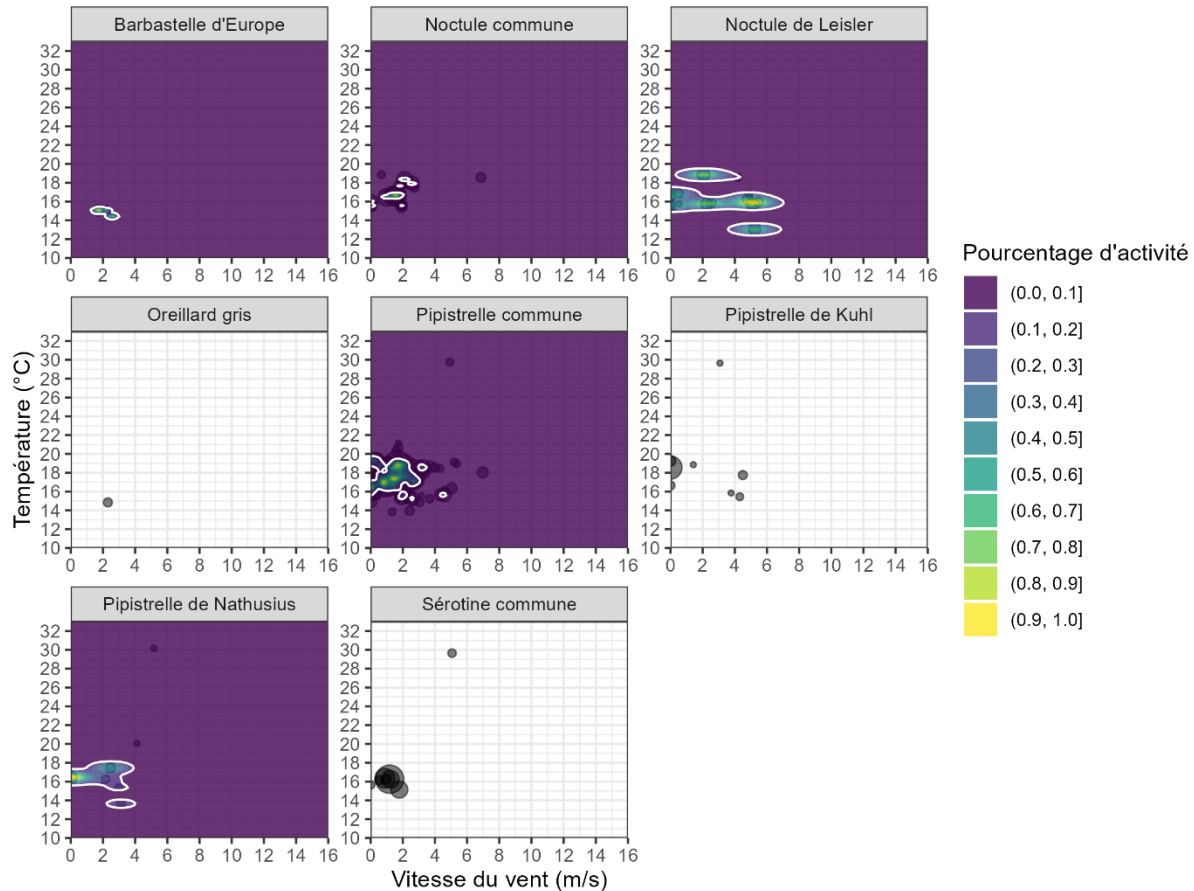
### **17.1.5 CORRELATION ENTRE ACTIVITE ET DONNEES METEOROLOGIQUES COMBINEES**

L'activité peut être comparée avec l'ensemble des données météorologiques disponibles (vitesse de vent et température) et représentée de manière synthétique dans la figure suivante (Figure 23).

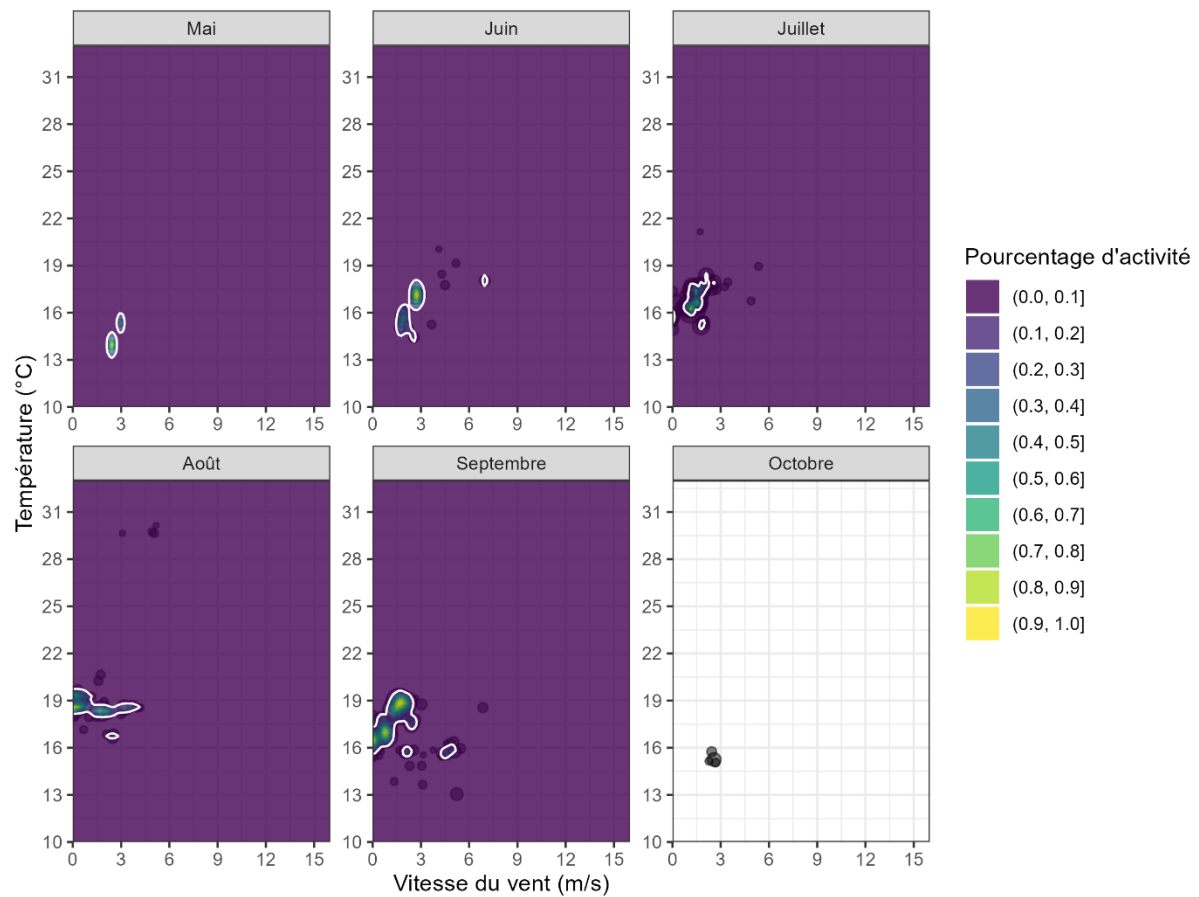


**Figure 23 : corrélation entre activité, vitesse de vent et température**  
Chaque point représente une mesure d'activité, la zone entourée représente 90 % de l'activité

Ces valeurs sont reprises ci-dessous en les détaillant par espèce et par mois (Figure 24 et Figure 25). **Elles montrent que les différentes espèces sont principalement actives sur des plages de valeurs en température et vitesse de vent relativement similaires (entre 13 et 20 °C et entre 0 et 5 m/s).**



**Figure 24 : corrélation entre activité, vitesse de vent et température pour chaque espèce**  
*Chaque point représente une mesure d'activité, la zone entourée représente 90 % de l'activité*



**Figure 25 : corrélation entre activité, vitesse de vent et température par mois**

Chaque point représente une mesure d'activité, la zone entourée représente 90 % de l'activité

## 17.2 E6

### 17.2.1 ESPECES RECENSEES SUR LE SITE ET ACTIVITE

Le suivi acoustique a mis en évidence la présence d'au moins **5 espèces de chiroptères** (Figure 26). Parmi ces espèces, la **Pipistrelle commune** représente l'essentiel de l'activité (61 secondes) et la **Sérotine commune** arrive au second rang (18 secondes).

La **Pipistrelle de Nathusius** a une activité plus faible (8 secondes), suivie par la **Noctule de Leisler** et la **Pipistrelle de Kuhl** (6 secondes chacune). La **Noctule commune** a une activité très faible avec seulement 1 seconde d'activité.

Les espèces recensées sont particulièrement sensibles aux éoliennes (pipistrelles et noctules).

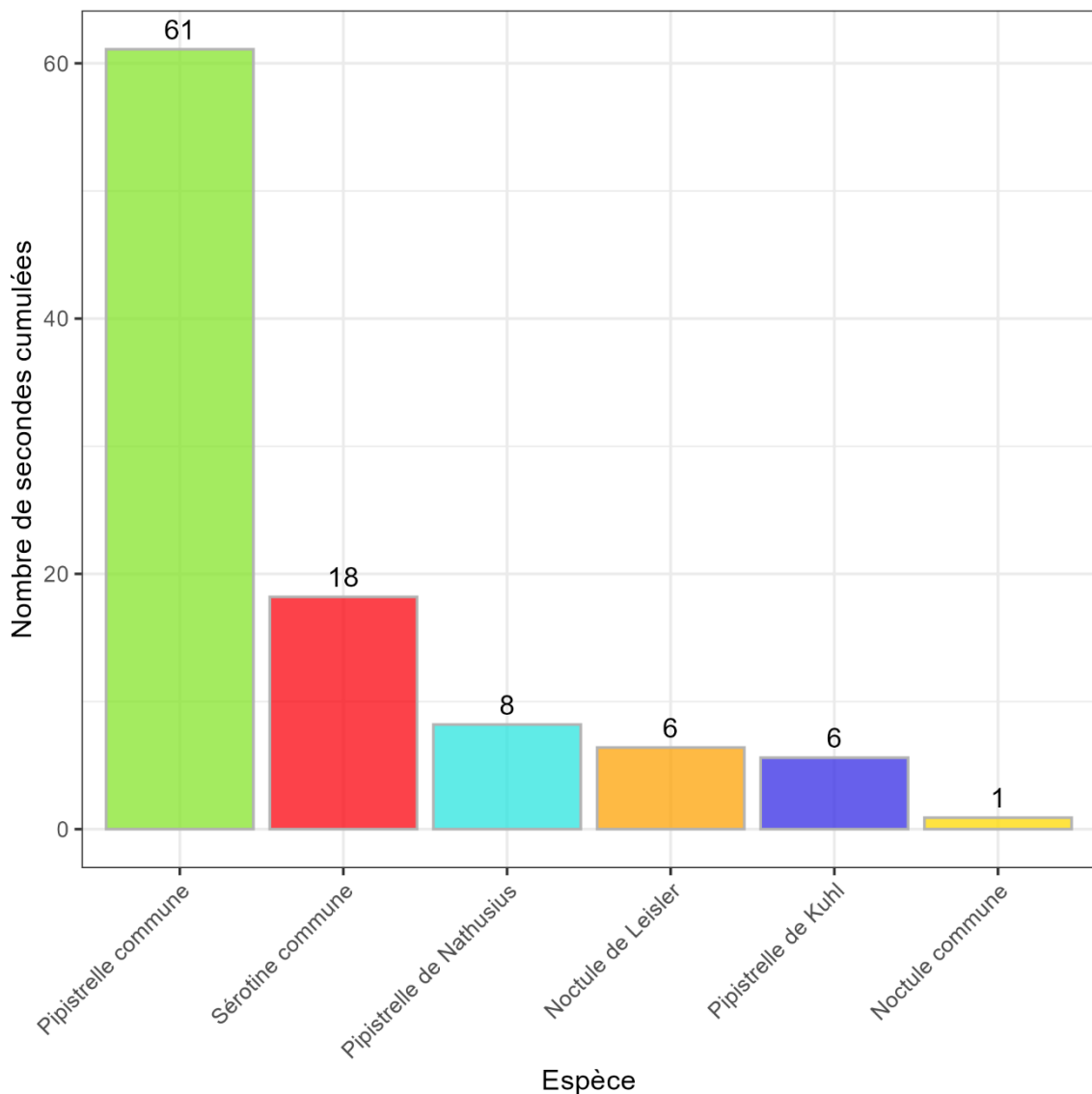
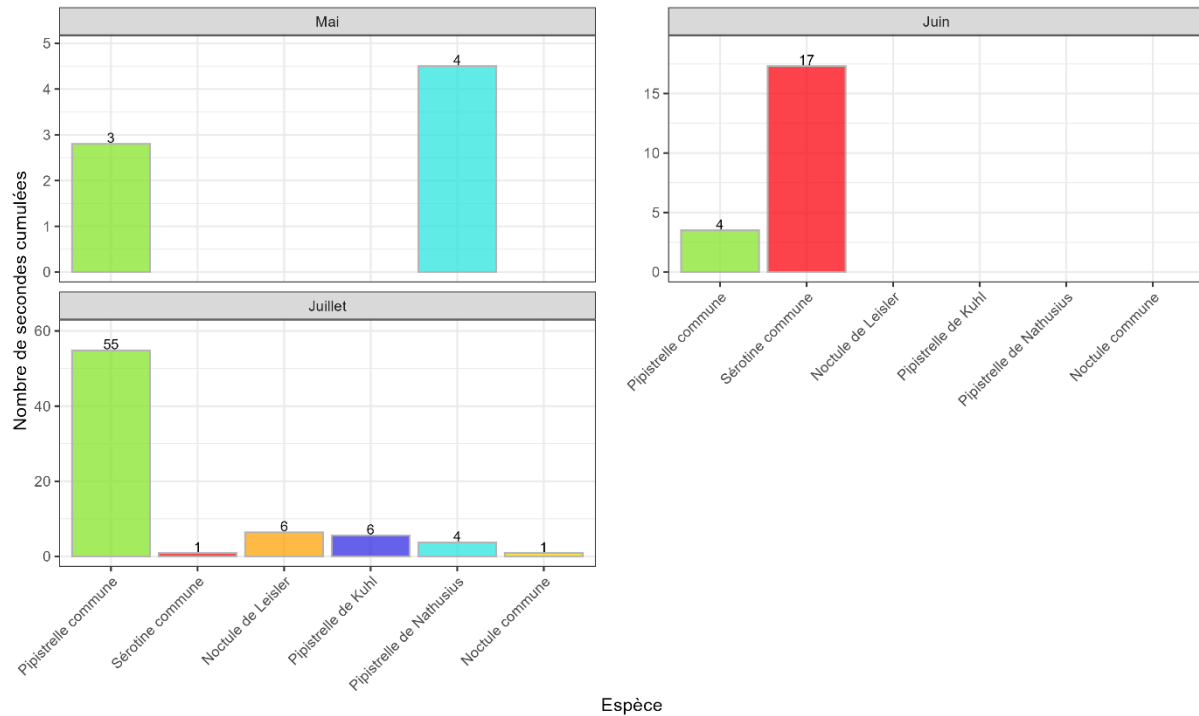


Figure 26 : activité en secondes cumulées par espèce sur l'ensemble du suivi

L'activité par mois montre que juillet représente l'essentiel de l'activité (seuls les mois de mai, juin et juillet présentent une activité) (Figure 27).



**Figure 27 : activité en secondes cumulées par espèce et par mois**  
*Les échelles des graphiques sont libres pour permettre une meilleure visualisation de l'activité*

Les données d'activité sur l'ensemble du suivi ainsi que par mois sont détaillées en annexes (Annexes 11 et 12).

Les espèces recensées ont toutes à minima un statut NT sur liste rouge nationale et/ou régionale à part la **Pipistrelle de Kuhl**. Seule la **Noctule commune** a un statut VU au niveau national (Tableau 22).

**Tableau 22 : statuts de protection et de conservation des chauves-souris recensées**

Nom vernaculaire	Nom latin	Liste rouge France (2017)	Liste rouge Pays de Loire (2015)	Responsabilité biologique Bretagne (2015)	Directive Habitats Annexe 2	Protection nationale	Indice de conservation	Indice de sensibilité	Indice de vulnérabilité
Noctule commune	<i>Nyctalus noctula</i>	VU	NT	Modérée		Art. 2	4	4	4
Noctule de Leisler	<i>Nyctalus leisleri</i>	NT	NT	Modérée		Art. 2	3	4	3,5
Pipistrelle commune	<i>Pipistrellus pipistrellus</i>	NT	LC	Mineure		Art. 2	3	4	3,5
Pipistrelle de Kuhl	<i>Pipistrellus kuhlii</i>	LC	LC	Mineure		Art. 2	2	4	3
Pipistrelle de Nathusius	<i>Pipistrellus nathusii</i>	NT	NT	Modérée		Art. 2	3	4	3,5
Sérotine commune	<i>Eptesicus serotinus</i>	NT	LC	Mineure		Art. 2	3	4	3,5

LC : préoccupation mineure ; NT : quasi-menacé ; VU : vulnérable

### 17.2.2 ANALYSE DE L'ACTIVITE SUR L'ENSEMBLE DU SUIVI

L'activité est hétérogène sur toute la période d'enregistrement (Figure 28). L'activité est nulle jusqu'à la semaine 21 où une faible activité est relevée, puis redévient nulle jusqu'à la semaine 26 où un premier pic d'activité est observé pour la **Sérotine commune** en particulier. L'activité diminue ensuite jusqu'à la semaine 28, où un second pic d'activité est observé semaine 29, notamment pour la **Pipistrelle commune**, la **Noctule de Leisler**, la **Pipistrelle de Kuhl** et la **Pipistrelle de Natusius**, et dans une moindre mesure pour la **Noctule commune**. L'activité cesse à partir de la semaine 30.

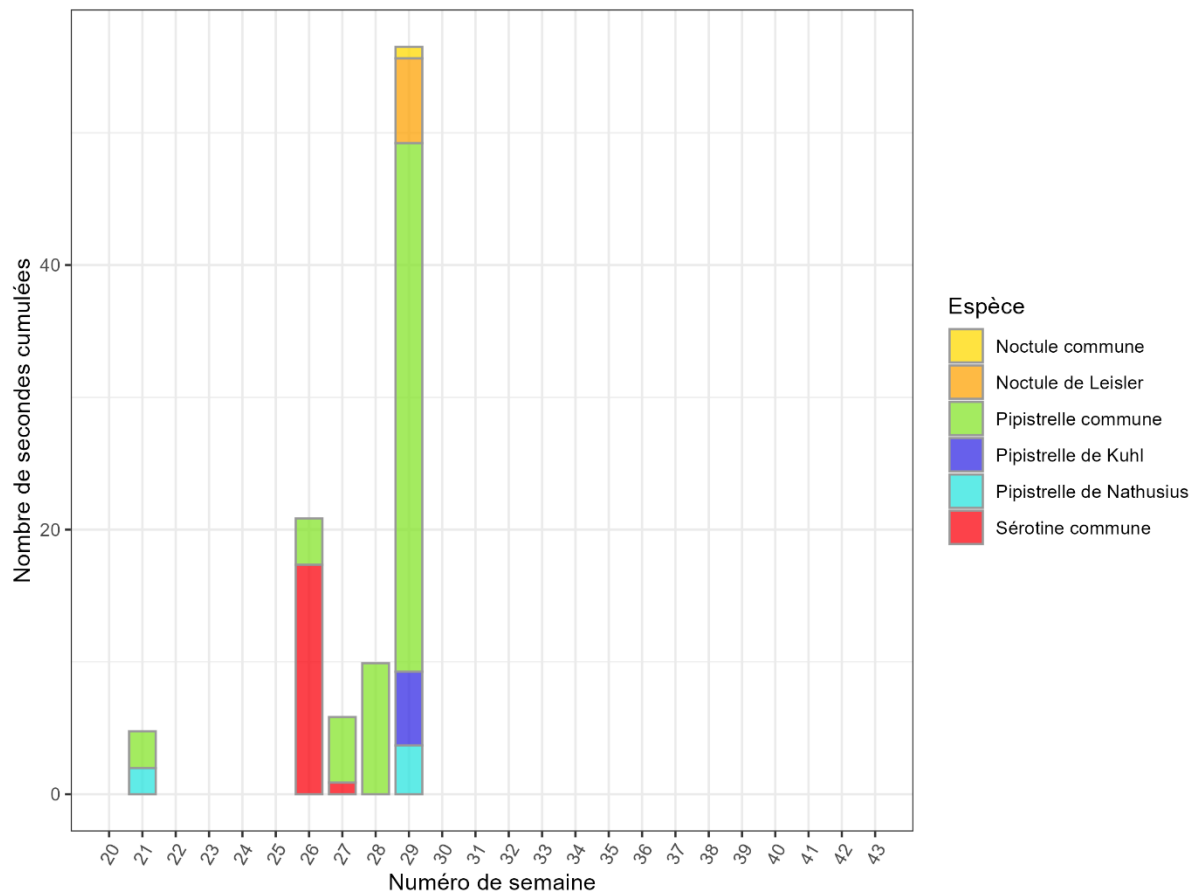
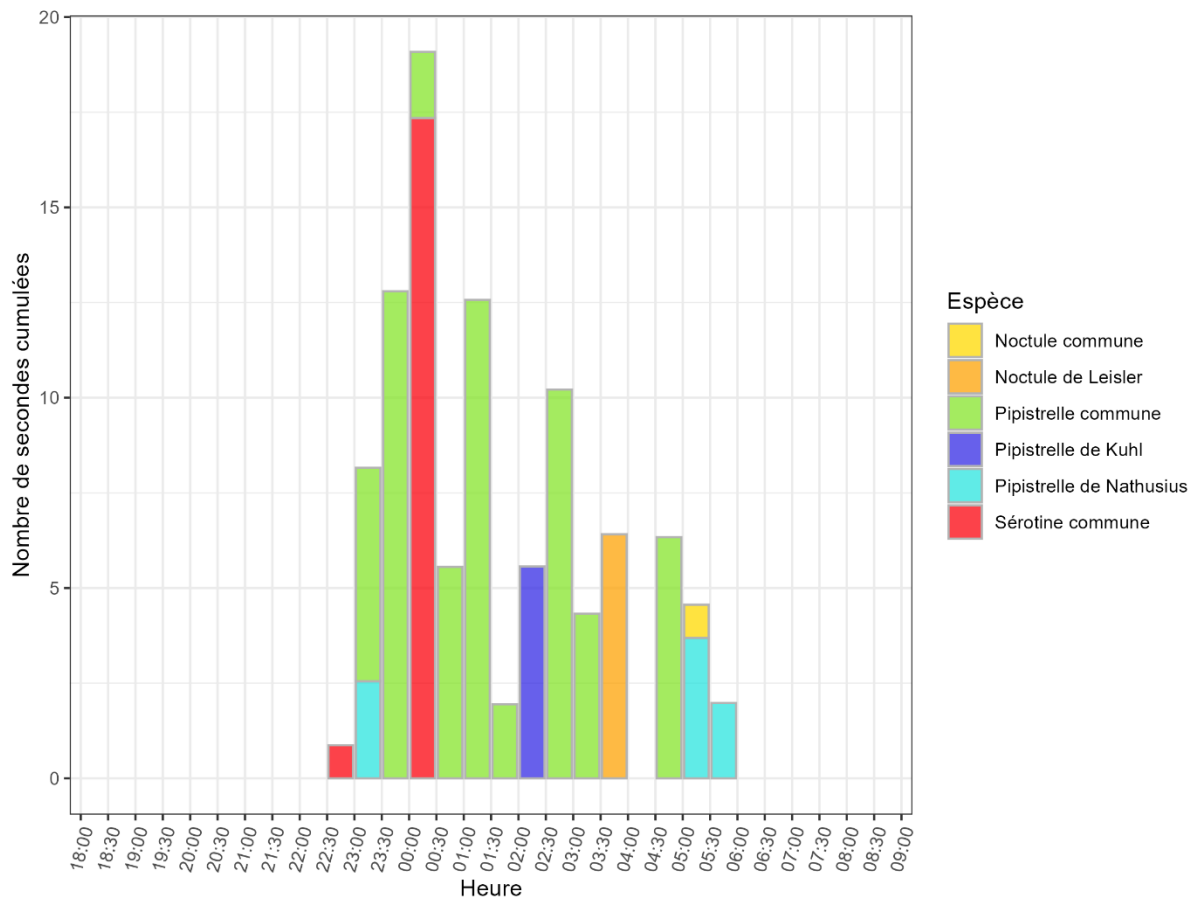


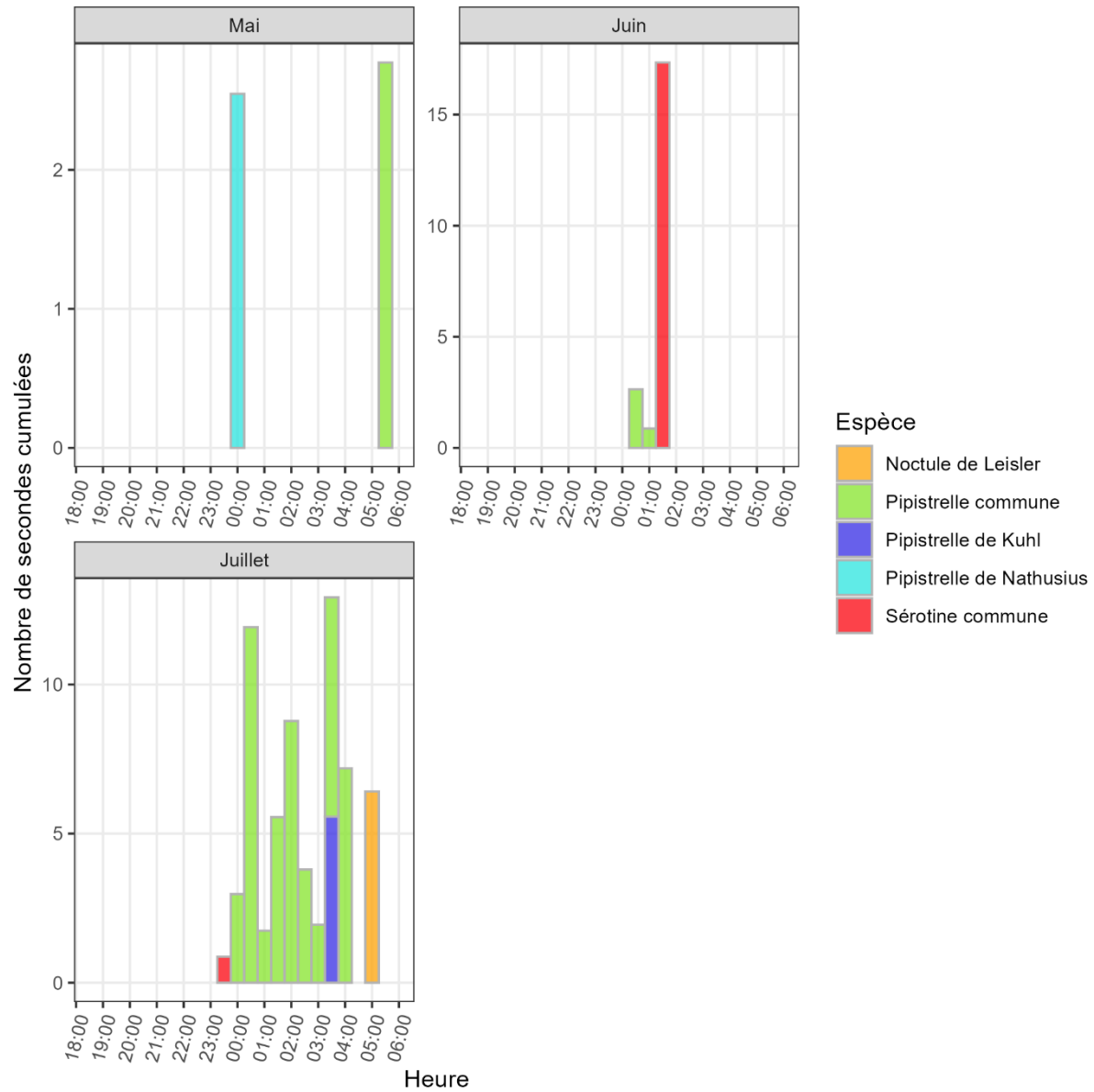
Figure 28 : activité par semaine sur l'ensemble du suivi

Sur l'ensemble de la période d'enregistrement, les chauves-souris ont été actives à partir de 22h30 jusqu'à 6h00 avec une activité marquée en milieu de nuit (Figure 29).



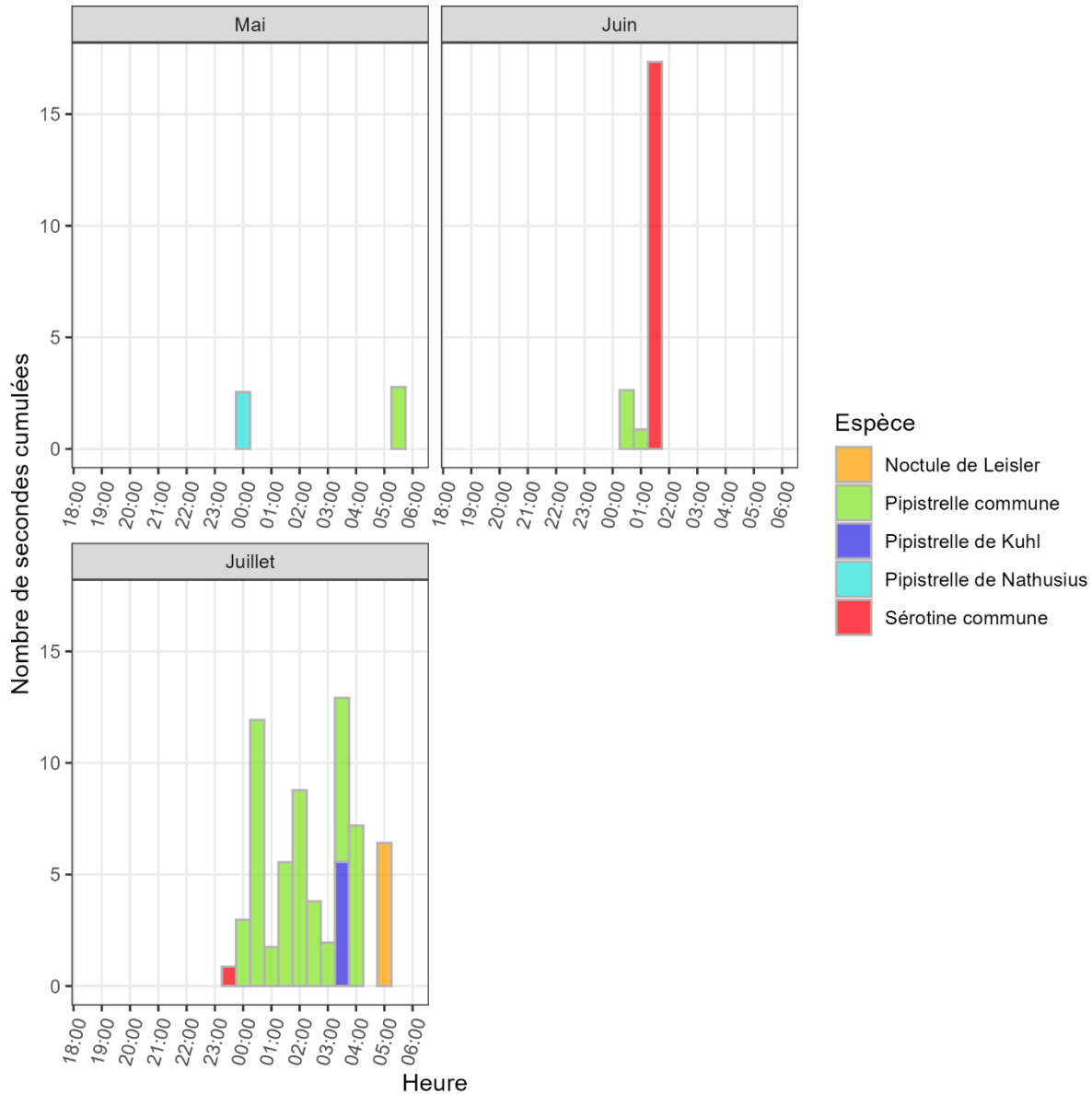
**Figure 29 : activité enregistrée en fonction de l'heure de la nuit sur l'ensemble de la période d'enregistrement**

L'activité horaire détaillée met en évidence que celle-ci est plus marquée en milieu et fin de nuit en mai. Elle est plus marquée en milieu de nuit en juin et en milieu et fin de nuit en juillet (Figure 30).



**Figure 30 : activité enregistrée par mois en fonction de l'heure de la nuit (échelle variable)**

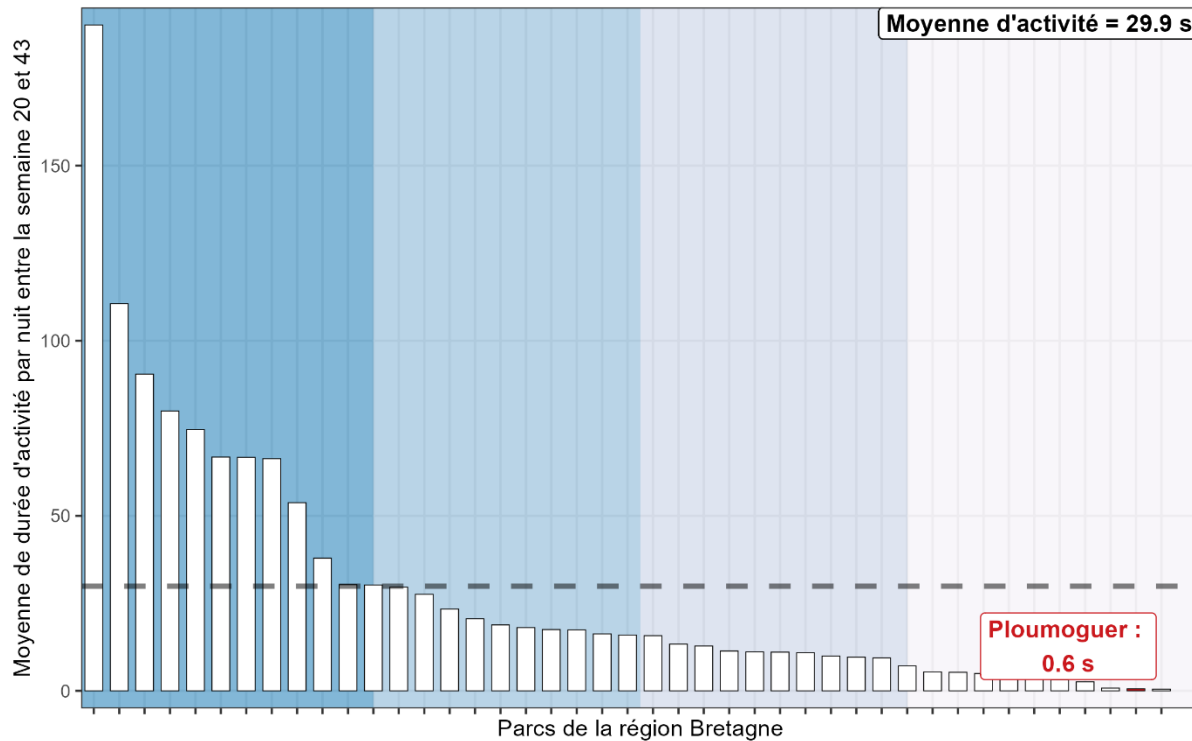
L'activité exprimée avec une échelle fixe montre que juillet représente l'essentiel de l'activité horaire annuelle exprimée en lien avec l'activité de la **Pipistrelle commune** (Figure 31).



### **17.2.3 COMPARAISON AU REFERENTIEL D'ACTIVITE OUEST AM'**

En comparant l'activité moyenne du site à celles des sites de référence suivis par Ouest Am' entre 2020 et 2023, les niveaux d'activité peuvent être évalués pour l'ensemble des chiroptères et par espèce.

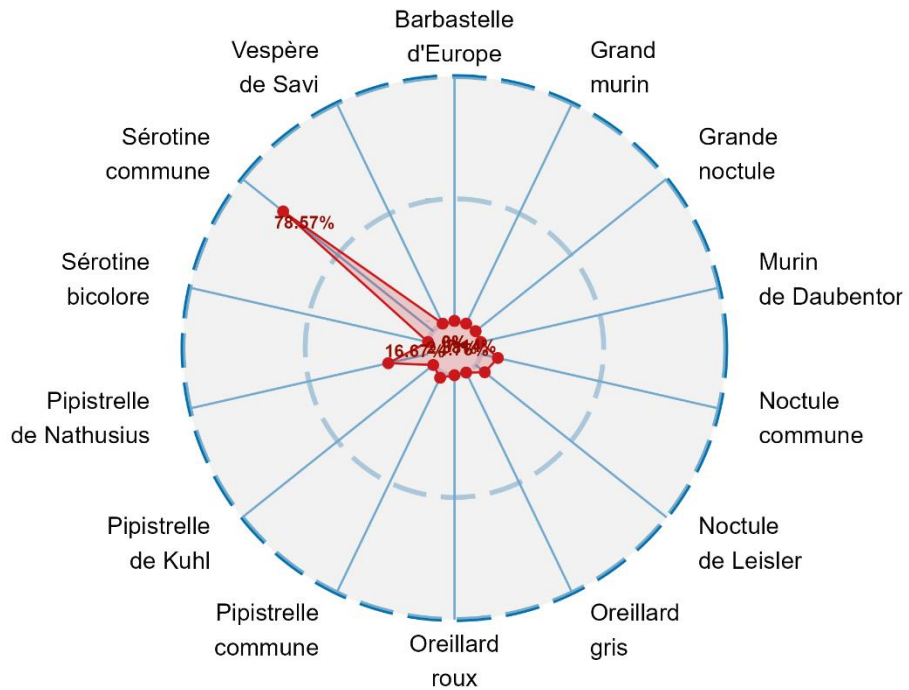
Avec une moyenne de 0,6 s, l'activité globale des chiroptères peut être considérée comme faible, puisqu'elle se situe en dessous de la moyenne et du premier quartile d'activité des sites de référence (Figure 32).



**Figure 32 : diagramme en barre représentant l'activité acoustique moyenne des chiroptères, enregistrée entre la semaine 20 et 43, sur l'ensemble des sites de référence de la région (barres blanches) et sur le site d'étude (barre rouge)**

*La barre horizontale pointillée représente la moyenne d'activité des sites. Les couleurs en fond de graphique divisent les parcs en quartile en fonction de l'activité moyenne enregistrée*

L'espèce avec l'activité la plus notable au regard de l'ensemble des sites du référentiel est celle de la **Sérotine commune** ; son activité est supérieure à 78% des sites de référence (Figure 33).



**Figure 33 : graphique en radar représentant le quantile d'activité de chaque espèce par rapport aux sites de référence**

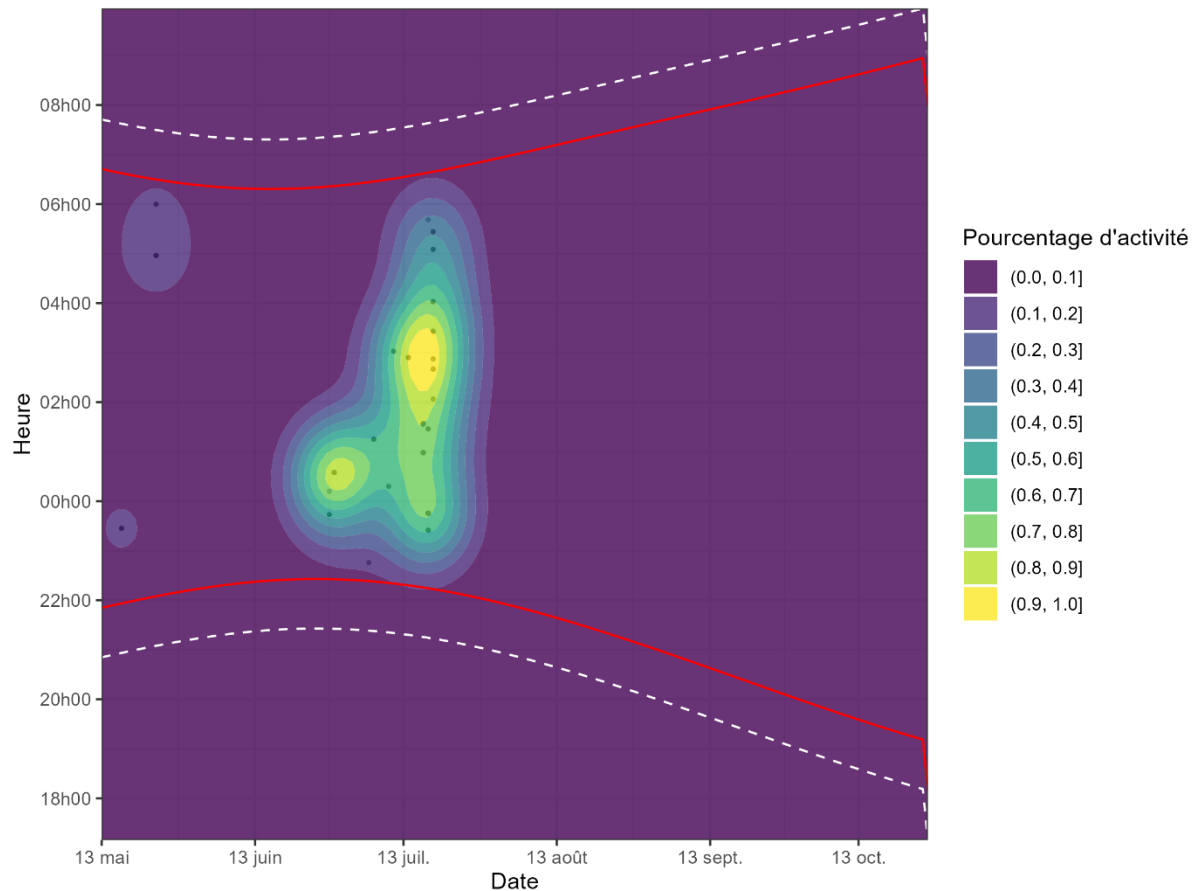
Le pourcentage indiqué en rouge indique la proportion des sites de référence où l'activité de l'espèce est inférieure ou égale à la moyenne d'activité observée sur le site spécifique. A titre d'exemple, une valeur de 75% indique que l'activité de l'espèce sur ce site est supérieure à 75% des sites de référence

#### 17.2.4 REPARTITION DE L'ACTIVITE DANS LE TEMPS

Il apparaît que la majorité de l'activité est enregistrée mi-juillet (Figure 34) et correspond pour l'essentiel à l'activité de la **Pipistrelle commune** (Figure 35).

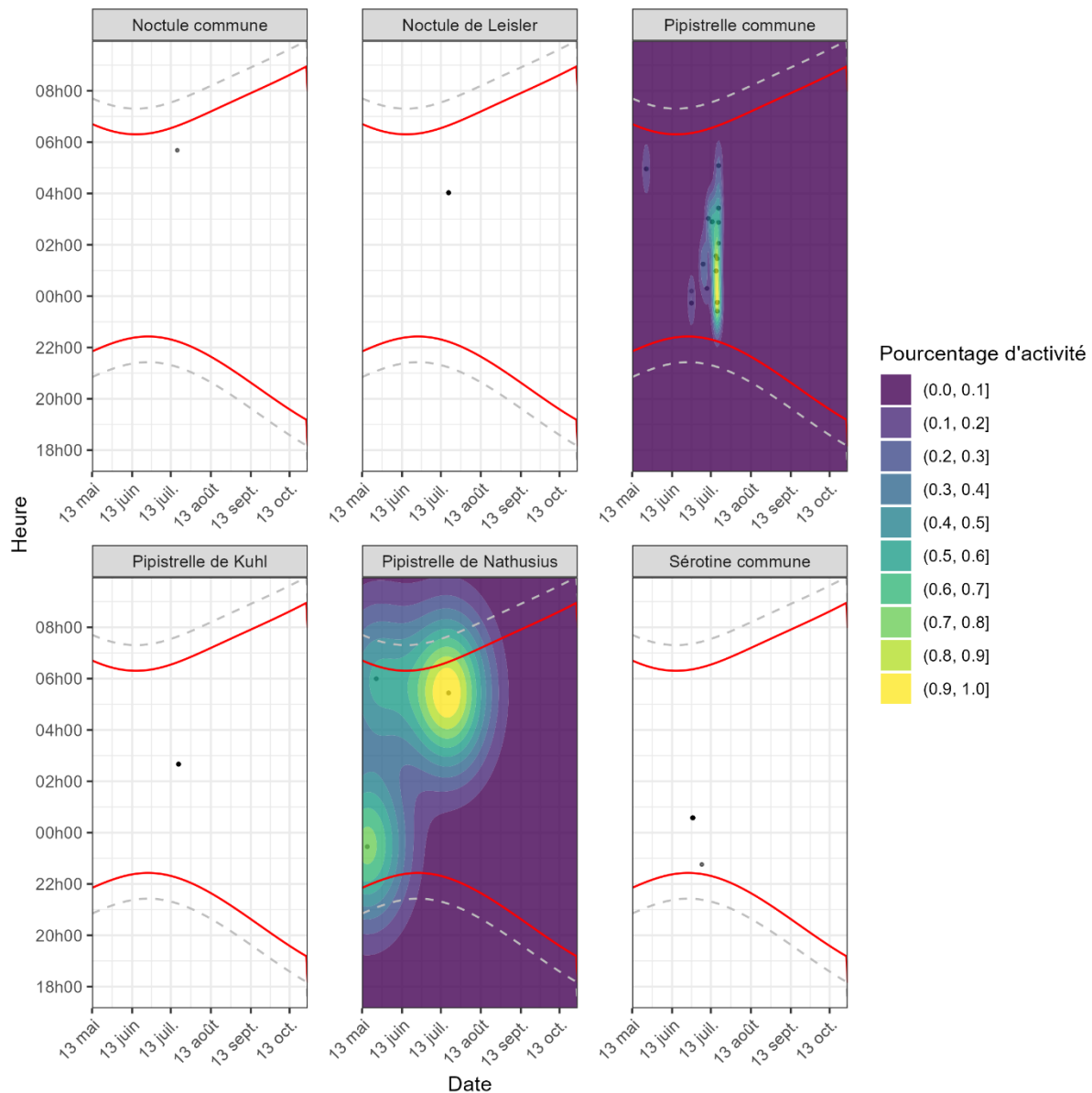
La **Noctule commune**, la **Noctule de Leisler**, la **Pipistrelle de Kuhl** et la **Sérotine commune** apparaissent de manière anecdotique en juillet. La **Pipistrelle de Natusius** apparaît également de manière anecdotique en mai et juillet.

L'activité apparaît plus marquée en début et milieu de nuit pour la **Pipistrelle commune** (juillet) et en début (mai) et fin de nuit (mai et juillet) pour la **Pipistrelle de Natusius**.



**Figure 34 : activité enregistrée en fonction de l'heure (ordonnées) et du mois (abscisse)**

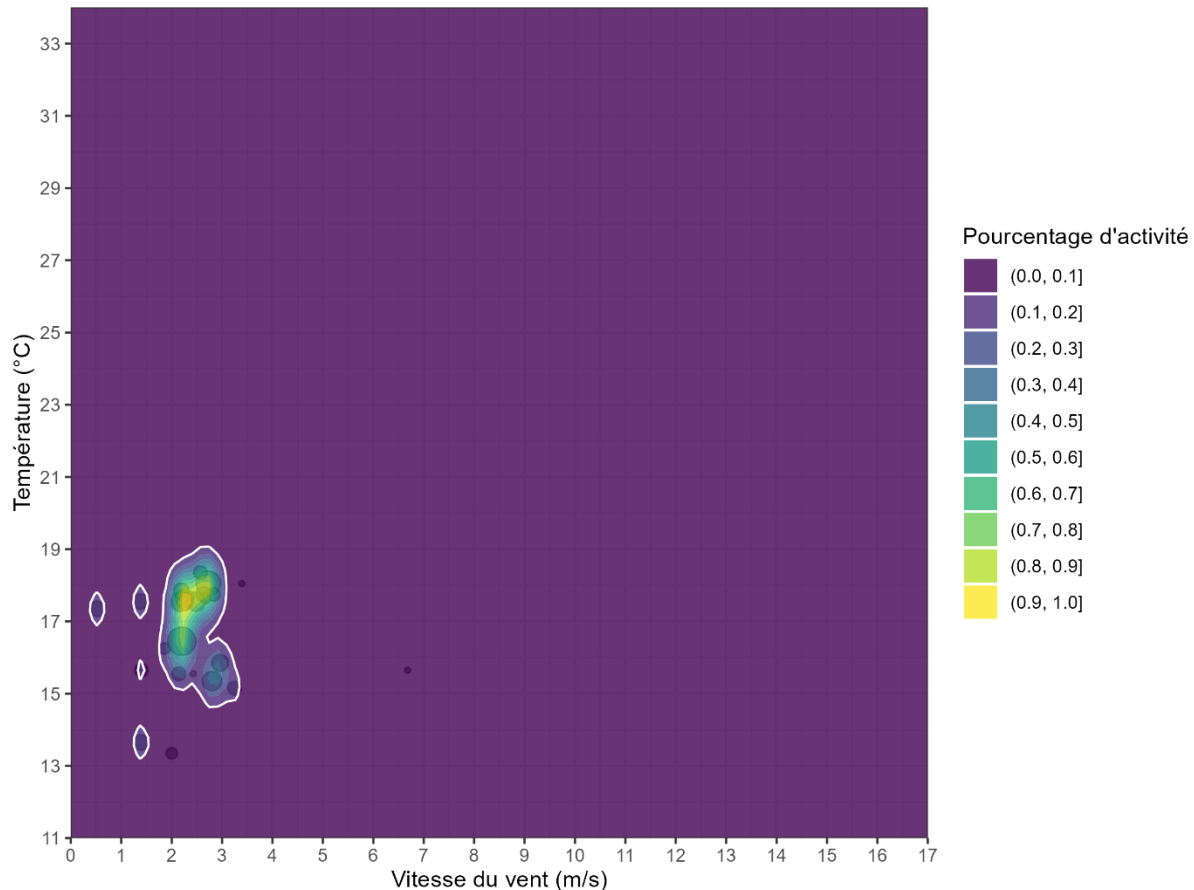
Chaque point représente une mesure d'activité, la zone entourée représente 90 % de l'activité, les traits rouges représentent les heures de lever et de coucher du soleil, les traits en pointillé la période d'enregistrement.



**Figure 35 : activité enregistrée en fonction de l'heure (ordonnées) du mois (abscisse) et par espèce**  
*Chaque point représente une mesure d'activité, la zone entourée représente 90 % de l'activité*

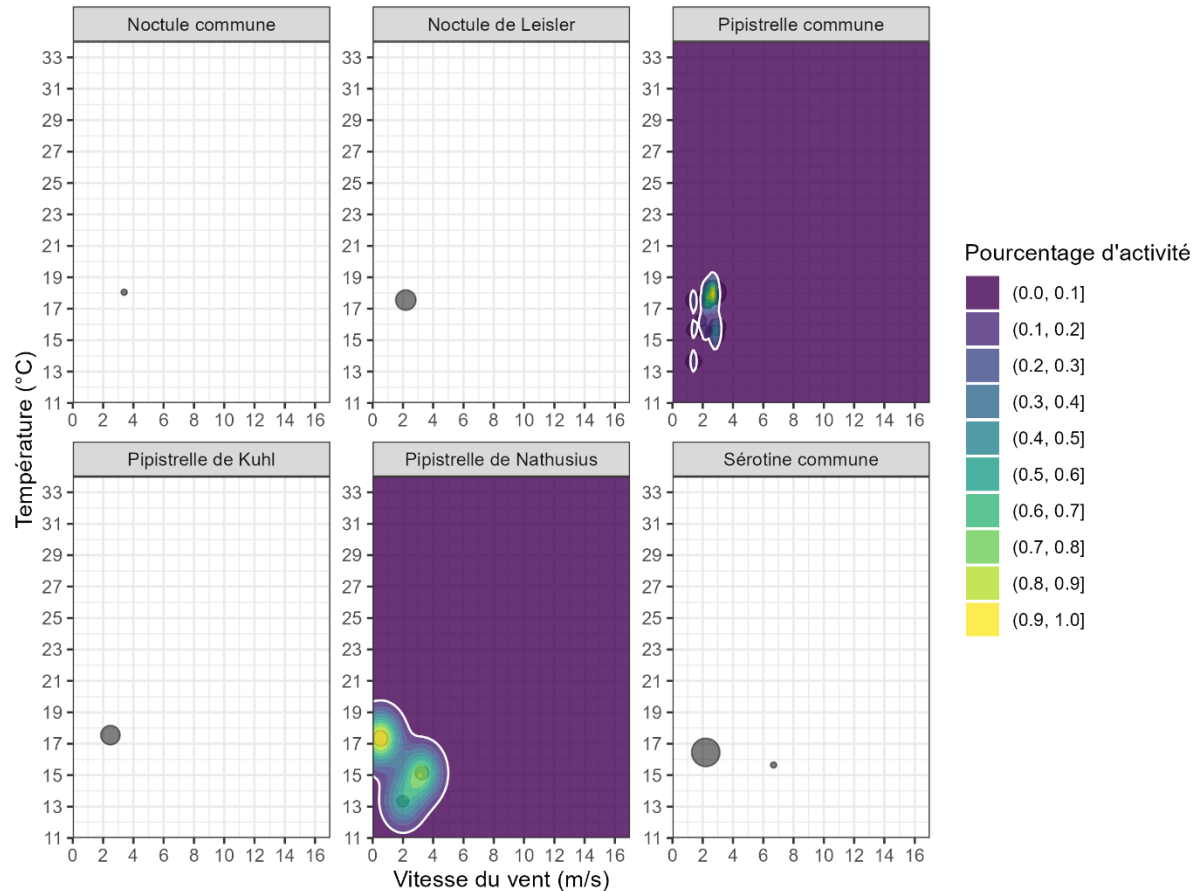
### **17.2.5 CORRELATION ENTRE ACTIVITE ET DONNEES METEOROLOGIQUES COMBINEES**

L'activité peut être comparée avec l'ensemble des données météorologiques disponibles (vitesse de vent et température) et représentée de manière synthétique dans la figure suivante (Figure 36).

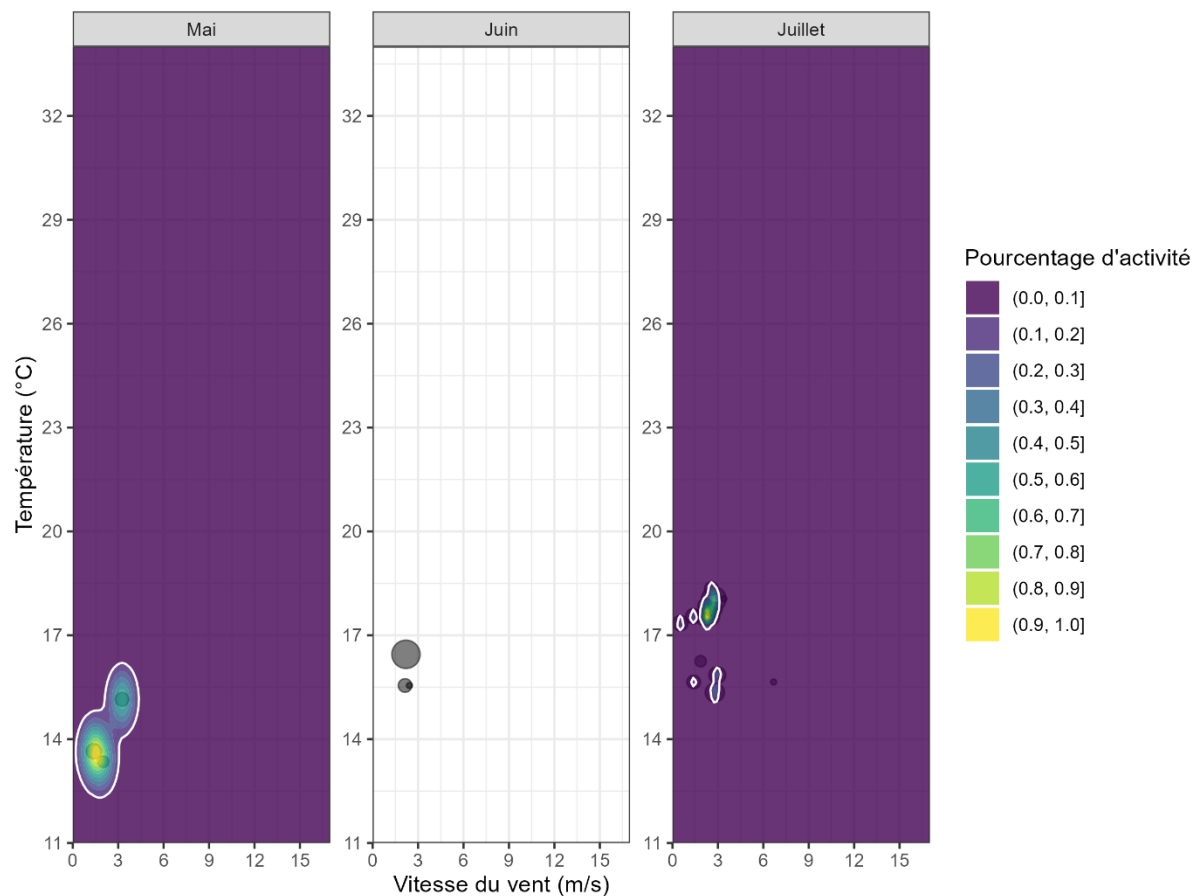


**Figure 36 : corrélation entre activité, vitesse de vent et température**  
Chaque point représente une mesure d'activité, la zone entourée représente 90 % de l'activité

Ces valeurs sont reprises ci-dessous en les détaillant par espèce et par mois (Figure 37 et Figure 38). **Elles montrent que les différentes espèces sont principalement actives sur des plages de valeurs en température et vitesse de vent relativement similaires (entre 13 et 18 °C et entre 0 et 4 m/s).**



**Figure 37 : corrélation entre activité, vitesse de vent et température pour chaque espèce**  
*Chaque point représente une mesure d'activité, la zone entourée représente 90 % de l'activité*



**Figure 38 : corrélation entre activité, vitesse de vent et température par mois**

*Chaque point représente une mesure d'activité, la zone entourée représente 90 % de l'activité*

# CONCLUSION

## 18 CHIROPTERES

### 18.1 SIGNIFICATIVITE POUR LES CHIROPTERES

**Concernant les chiroptères,** la mortalité est inférieure à la moyenne régionale par rapport aux autres parcs de la région. L'impact est non significatif pour le nombre d'individus impactés.

Aucune espèce ayant de classement de patrimonialité « Vulnérable » ou de niveau supérieur n'a été recensée.

De plus, les niveaux d'activité enregistrés sont « modérés » et « faibles » toutes espèces confondues au niveau de l'éolienne E5 et E6, respectivement.

### 18.2 MESURES PROPOSEES POUR LES CHIROPTERES

Bien que la mortalité des chiroptères soit non significative, la **mise en place d'un bridle en 2025** est nécessaire pour renforcer la protection de ces espèces, qui sont toutes protégées (Tableau 23) :

Tableau 23 : proposition de bridage

Mois	Horaires	Eoliennes	Température (°C)	Vitesse de vent (m/s)	Pourcentage d'activité (E5 - E6)
Mai	Du coucher au lever du soleil	Toutes	13	3,5	100 - 100
Juin			14	4,5	92,7 - 100
Juillet			15	3	98,3 - 97,5
Août			17	3,5	90,3 - /
Septembre			14	3	90,0 - /
Octobre			15	3	100,0 - /

## 19 OISEAUX

### 19.1 SIGNIFICATIVITE POUR LES OISEAUX

**Concernant les oiseaux,** la mortalité est supérieure à la moyenne régionale. L'impact est significatif pour le nombre d'individus impactés.

Aucune espèce ayant de classement de patrimonialité « Vulnérable » ou de niveau supérieur n'a été recensée.

Une espèce recensée est cependant protégée : Le Goéland brun.

## **19.2 MESURE PROPOSEE POUR LES OISEAUX**

Pour les Goélands, il est conseiller de réaliser un **bridage agricole** en arrêtant les éoliennes lors des journées de fauche ou de moissons et durant 1 à 2 jours après, sous les éoliennes concernées, pouvant attirer les goélands en alimentation sur le secteur.

## **20 NECESSITE DE REALISER UN SUIVI COMPLEMENTAIRE**

Au regard des conclusions sur les chauves-souris et les oiseaux, il est nécessaire de réitérer le suivi environnemental afin de vérifier l'efficacité des mesures de réduction.

## TABLE DES FIGURES

Figure 1 : carte de localisation du parc éolien de Ploumoguer .....	6
Figure 2 : schéma de prospection sous les éoliennes .....	7
Figure 3 : photographies d'exemples de prospectabilité avec des détectabilités différentes (hors site) .	10
Figure 4 : carte des habitats à proximité des aires de prospection .....	22
Figure 5 : carte du contexte environnemental du parc éolien.....	26
Figure 6 : évolution de la prospectabilité au cours du suivi .....	27
Figure 7 : mortalité des espèces de chiroptères découvertes par mois .....	28
Figure 8 : mortalité des espèces de chiroptères découvertes par éolienne .....	29
Figure 9 : mortalité des espèces d'oiseaux découvertes par mois.....	31
Figure 10 : mortalité des espèces d'oiseaux découvertes par éolienne .....	32
Figure 11 : diagramme en barre représentant la mortalité estimée médiane des chiroptères par éolienne, calculée entre la semaine 20 et 43, sur l'ensemble des sites de la région (barres blanches) et sur le site d'étude (barre rouge) .....	34
Figure 12 : diagramme en barre représentant la mortalité estimée médiane des oiseaux par éolienne, calculée entre la semaine 20 et 43, sur l'ensemble des sites de la région (barres blanches) et sur le site d'étude (barre rouge) .....	35
Figure 13 : activité en secondes cumulées par espèce sur l'ensemble du suivi.....	36
Figure 14 : activité en secondes cumulées par espèce et par mois .....	37
Figure 15 : activité par semaine sur l'ensemble du suivi.....	38
Figure 16 : activité enregistrée en fonction de l'heure de la nuit sur l'ensemble de la période d'enregistrement.....	39
Figure 17 : activité enregistrée par mois en fonction de l'heure de la nuit (échelle variable) .....	40
Figure 18 : activité enregistrée par mois en fonction de l'heure de la nuit (échelle fixe) .....	41
Figure 19 : diagramme en barre représentant l'activité acoustique moyenne des chiroptères, enregistrée entre la semaine 20 et 43, sur l'ensemble des sites de référence de la région (barres blanches) et sur le site d'étude (barre rouge) .....	42
Figure 20: graphique en radar représentant le quantile d'activité de chaque espèce par rapport aux sites de référence .....	43
Figure 21 : activité enregistrée en fonction de l'heure (ordonnées) et du mois (abscisse) .....	44
Figure 22 : activité enregistrée en fonction de l'heure (ordonnées) du mois (abscisse) et par espèce ....	45

---

Figure 23 : corrélation entre activité, vitesse de vent et température .....	46
Figure 24 : corrélation entre activité, vitesse de vent et température pour chaque espèce .....	47
Figure 25 : corrélation entre activité, vitesse de vent et température par mois .....	48
Figure 26 : activité en secondes cumulées par espèce sur l'ensemble du suivi.....	49
Figure 27 : activité en secondes cumulées par espèce et par mois .....	50
Figure 28 : activité par semaine sur l'ensemble du suivi.....	51
Figure 29 : activité enregistrée en fonction de l'heure de la nuit sur l'ensemble de la période d'enregistrement.....	52
Figure 30 : activité enregistrée par mois en fonction de l'heure de la nuit (échelle variable) .....	53
Figure 31 : activité enregistrée par mois en fonction de l'heure de la nuit (échelle fixe) .....	54
Figure 32 : diagramme en barre représentant l'activité acoustique moyenne des chiroptères, enregistrée entre la semaine 20 et 43, sur l'ensemble des sites de référence de la région (barres blanches) et sur le site d'étude (barre rouge) .....	55
Figure 33 : graphique en radar représentant le quantile d'activité de chaque espèce par rapport aux sites de référence .....	56
Figure 34 : activité enregistrée en fonction de l'heure (ordonnées) et du mois (abscisse) .....	57
Figure 35 : activité enregistrée en fonction de l'heure (ordonnées) du mois (abscisse) et par espèce ....	58
Figure 36 : corrélation entre activité, vitesse de vent et température .....	59
Figure 37 : corrélation entre activité, vitesse de vent et température pour chaque espèce .....	60
Figure 38 : corrélation entre activité, vitesse de vent et température par mois .....	61

## TABLE DES TABLEAUX

Tableau 1 : parc éolien de Ploumoguer .....	5
Tableau 2 : classes de niveau de prospectabilité .....	9
Tableau 3 : classes de niveaux d'efficacité de recherche .....	10
Tableau 4 : classes de niveaux de persistance .....	11
Tableau 5 : formules d'estimation de la mortalité .....	12
Tableau 6 : nombre de rapports de suivi de mortalité utilisés pour l'étude de la comparaison de la mortalité .....	14
Tableau 7 : seuils de significativité .....	15
Tableau 8 : classes de niveaux de mortalité .....	15
Tableau 9 : suivi de l'activité des chiroptères à l'aide du GSM-Batcorder .....	16
Tableau 10 : nombre d'années d'enregistrement utilisées pour le référentiel .....	17
Tableau 11 : classes de niveaux d'activité .....	18
Tableau 12 : zonages environnementaux dans un rayon de 5 km autour du parc .....	23
Tableau 13 : efficacité d'observation et persistance moyenne des cadavres .....	27
Tableau 14 : surface prospectée en fonction de l'éolienne .....	28
Tableau 15 : informations concernant les cadavres trouvés .....	28
Tableau 16 : statuts de protection et de conservation des chiroptères impactés .....	29
Tableau 17 : estimation de la mortalité des chiroptères .....	30
Tableau 18 : informations concernant les cadavres trouvés .....	31
Tableau 19 : statuts de protection et de conservation des oiseaux impactés .....	32
Tableau 20 : estimation de la mortalité des oiseaux .....	33
Tableau 21 : statuts de protection et de conservation des chauves-souris recensées .....	37
Tableau 22 : statuts de protection et de conservation des chauves-souris recensées .....	50
Tableau 23 : proposition de bridge .....	62

## Annexes

### ANNEXE 1 : TABLEAU DE PROSPECTABILITE ET DETECTABILITE

E1			Déetectabilité			Prospectabilité (%)	
Passage	Semaine	Date	D1	D2	D3	Réelle	Improspectable
1	20	16/05/24	14	0	5	19	81
2	21	23/05/24	14	0	5	19	81
3	22	31/05/24	14	0	5	19	81
4	23	06/06/24	14	0	5	19	81
5	24	13/06/24	14	0	0	14	86
6	25	21/06/24	14	0	0	14	86
7	26	27/06/24	14	5	0	19	81
8	27	04/07/24	14	5	0	19	81
9	28	11/07/24	14	5	0	19	81
10	29	18/07/24	14	5	0	19	81
11	30	26/07/24	14	54	0	68	32
12	31	01/08/24	14	76	0	90	10
13	32	08/08/24	14	86	0	100	0
14	33	13/08/24	14	86	0	100	0
15	34	22/08/24	14	86	0	100	0
16	35	30/08/24	14	64	0	78	22
17	36	05/09/24	14	86	0	100	0
18	37	12/09/24	53	47	0	100	0
19	38	19/09/24	53	47	0	100	0
20	39	25/09/24	53	47	0	100	0
21	40	04/10/09	53	47	0	100	0
22	41	10/10/24	14	86	0	100	0
23	42	18/10/24	14	0	86	100	0
24	43	25/10/24	14	0	86	100	0

E2			Déetectabilité			Prospectabilité (%)	
Passage	Semaine	Date	D1	D2	D3	Réelle	Improspective
1	20	16/05/24	0	0	0	0	100
2	21	23/05/24	7	0	2	9	91
3	22	31/05/24	7	0	2	9	91
4	23	06/06/24	7	0	2	9	91
5	24	13/06/24	7	0	0	7	93
6	25	21/06/24	7	0	0	7	93
7	26	27/06/24	7	0	0	7	93
8	27	04/07/24	7	0	0	7	93
9	28	11/07/24	7	0	0	7	93
10	29	18/07/24	7	0	0	7	93
11	30	26/07/24	7	49	0	56	44
12	31	01/08/24	7	93	0	100	0
13	32	08/08/24	7	49	0	56	44
14	33	13/08/24	7	93	0	100	0
15	34	22/08/24	7	93	0	100	0
16	35	30/08/24	7	93	0	100	0
17	36	05/09/24	7	93	0	100	0
18	37	12/09/24	7	93	0	100	0
19	38	19/09/24	7	93	0	100	0
20	39	25/09/24	7	93	0	100	0
21	40	04/10/09	7	93	0	100	0
22	41	10/10/24	7	2	91	100	0
23	42	18/10/24	7	2	0	9	91
24	43	25/10/24	7	2	0	9	91

E3			Déetectabilité			Prospectabilité (%)	
Passage	Semaine	Date	D1	D2	D3	Réelle	Improspectable
1	20	16/05/24	7	52	0	59	41
2	21	23/05/24	7	52	0	59	41
3	22	31/05/24	7	48	3	58	42
4	23	06/06/24	7	5	0	12	88
5	24	13/06/24	7	47	0	54	46
6	25	21/06/24	7	47	0	54	46
7	26	27/06/24	7	47	0	54	46
8	27	04/07/24	7	47	0	54	46
9	28	11/07/24	7	47	0	54	46
10	29	18/07/24	7	0	0	7	93
11	30	26/07/24	7	0	0	7	93
12	31	01/08/24	7	0	0	7	93
13	32	08/08/24	7	0	0	7	93
14	33	13/08/24	7	40	0	47	53
15	34	22/08/24	7	40	0	47	53
16	35	30/08/24	7	40	0	47	53
17	36	05/09/24	7	40	0	47	53
18	37	12/09/24	7	43	0	50	50
19	38	19/09/24	7	43	0	50	50
20	39	25/09/24	7	43	0	50	50
21	40	04/10/09	7	43	0	50	50
22	41	10/10/24	7	43	0	50	50
23	42	18/10/24	7	3	40	50	50
24	43	25/10/24	7	3	40	50	50

E4			Déetectabilité			Prospectabilité (%)	
Passage	Semaine	Date	D1	D2	D3	Réelle	Improspectable
1	20	16/05/24	6	18	0	24	76
2	21	23/05/24	6	18	0	24	76
3	22	31/05/24	6	10	8	24	76
4	23	06/06/24	6	10	8	24	76
5	24	13/06/24	6	15	0	21	79
6	25	21/06/24	6	15	0	21	79
7	26	27/06/24	6	15	0	21	79
8	27	04/07/24	6	15	0	21	79
9	28	11/07/24	6	15	0	21	79
10	29	18/07/24	6	15	0	21	79
11	30	26/07/24	6	0	15	21	79
12	31	01/08/24	6	0	15	21	79
13	32	08/08/24	6	76	0	82	18
14	33	13/08/24	6	0	0	6	94
15	34	22/08/24	6	76	0	82	18
16	35	30/08/24	6	76	0	82	18
17	36	05/09/24	6	76	0	82	18
18	37	12/09/24	6	3	0	9	91
19	38	19/09/24	6	3	0	9	91
20	39	25/09/24	6	3	0	9	91
21	40	04/10/09	6	7	0	13	87
22	41	10/10/24	6	7	0	13	87
23	42	18/10/24	6	3	5	14	86
24	43	25/10/24	6	3	5	14	86

E5			DéTECTABILITÉ			PROSPECTABILITÉ (%)	
Passage	Semaine	Date	D1	D2	D3	Réelle	Improspectable
1	20	16/05/24	7	62	0	69	31
2	21	23/05/24	7	0	62	69	31
3	22	31/05/24	7	57	5	69	31
4	23	06/06/24	7	57	5	69	31
5	24	13/06/24	7	55	0	62	38
6	25	21/06/24	7	55	0	62	38
7	26	27/06/24	7	55	0	62	38
8	27	04/07/24	7	55	0	62	38
9	28	11/07/24	7	55	0	62	38
10	29	18/07/24	7	50	5	62	38
11	30	26/07/24	7	50	5	62	38
12	31	01/08/24	7	0	55	62	38
13	32	08/08/24	7	0	55	62	38
14	33	13/08/24	7	0	0	7	93
15	34	22/08/24	7	40	0	47	53
16	35	30/08/24	7	55	0	62	38
17	36	05/09/24	7	85	0	92	8
18	37	12/09/24	7	90	0	97	3
19	38	19/09/24	7	90	0	97	3
20	39	25/09/24	7	90	0	97	3
21	40	04/10/09	7	90	0	97	3
22	41	10/10/24	0	0	0	0	100
23	42	18/10/24	7	30	55	92	8
24	43	25/10/24	7	30	55	92	8

E6			DéTECTABILITÉ			PROSPECTABILITÉ (%)	
Passage	Semaine	Date	D1	D2	D3	Réelle	Improspectable
1	20	16/05/24	6	94	0	100	0
2	21	23/05/24	6	92	2	100	0
3	22	31/05/24	6	92	2	100	0
4	23	06/06/24	6	92	2	100	0
5	24	13/06/24	6	92	0	98	2
6	25	21/06/24	6	92	0	98	2
7	26	27/06/24	6	92	0	98	2
8	27	04/07/24	6	0	0	6	94
9	28	11/07/24	6	0	0	6	94
10	29	18/07/24	6	0	0	6	94
11	30	26/07/24	6	0	0	6	94
12	31	01/08/24	6	0	0	6	94
13	32	08/08/24	6	0	0	6	94
14	33	13/08/24	6	0	0	6	94
15	34	22/08/24	6	0	0	6	94
16	35	30/08/24	6	0	0	6	94
17	36	05/09/24	6	0	0	6	94
18	37	12/09/24	6	0	0	6	94
19	38	19/09/24	6	0	0	6	94
20	39	25/09/24	6	0	0	6	94
21	40	04/10/09	6	75	0	81	19
22	41	10/10/24	6	92	0	98	2
23	42	18/10/24	6	92	0	98	2
24	43	25/10/24	6	92	0	98	2

E7			DéTECTABILITÉ			PROSPECTABILITÉ (%)	
Passage	Semaine	Date	D1	D2	D3	Réelle	Improbable
1	20	16/05/24	7	0	2	9	91
2	21	23/05/24	7	0	2	9	91
3	22	31/05/24	7	0	2	9	91
4	23	06/06/24	7	0	2	9	91
5	24	13/06/24	7	0	0	7	93
6	25	21/06/24	7	0	0	7	93
7	26	27/06/24	7	0	0	7	93
8	27	04/07/24	7	8	0	15	85
9	28	11/07/24	7	8	0	15	85
10	29	18/07/24	7	8	0	15	85
11	30	26/07/24	7	8	0	15	85
12	31	01/08/24	7	54	0	61	39
13	32	08/08/24	7	54	0	61	39
14	33	13/08/24	7	54	0	61	39
15	34	22/08/24	7	54	0	61	39
16	35	30/08/24	7	46	8	61	39
17	36	05/09/24	7	46	8	61	39
18	37	12/09/24	7	48	8	63	37
19	38	19/09/24	7	48	8	63	37
20	39	25/09/24	7	48	8	63	37
21	40	04/10/24	7	48	8	63	37
22	41	10/10/24	7	2	0	9	91
23	42	18/10/24	7	2	0	9	91
24	43	25/10/24	7	2	0	9	91

**ANNEXE 2 : METHODOLOGIE D'ESTIMATION DE LA PERSISTANCE MOYENNE DANS LES TESTS DE PERSISTANCE**

## Note méthodologique : Estimation de la persistance moyenne dans les tests de persistance

Auteur : **RAVACHE Andreas** - *Centre d'Ecologie et des Sciences de la Conservation (CESCO), Muséum national d'Histoire naturelle, Centre National de la Recherche Scientifique, Sorbonne Université, Paris, France*

Contact : [andreas.ravache@mnhn.fr](mailto:andreas.ravache@mnhn.fr)

Les formules d'estimation de mortalité proposées par le [protocole national de 2015](#), révisé en [2018](#), intègrent un paramètre de persistance moyenne ( $t$ ) estimée par le biais de tests de persistance. Cependant, le calcul de ce paramètre n'est pas explicité dans le protocole. Ce document vise à décrire et illustrer le calcul de ce paramètre en se basant sur de la littérature scientifique.

Nous nous baserons pour cela sur un exemple fictif de test de persistance réalisé avec 10 cadavres (**Tableau 1**). J0 représente la date de dépôse du cadavre le 1er janvier. Dans le cadre de cet exemple, des visites ont été réalisées à J1 (le lendemain de la dépôse du cadavre), puis à J3, J6, J10 et J14. Le test de persistance a pris fin à J14, la présence des cadavres n'est plus suivie après cette date et les cadavres restant ont été retirés. Les croix (X) représentent la présence observée du cadavre le jour de la visite, les tirets (-) représentent l'absence d'observation du cadavre à cette date. Les cadavres « Carc3 » et « Carc5 » ont disparus entre le jour de la dépôse et le jour de la première visite. Le cadavre « Carc7 » était toujours présent à la fin du test de persistance.

*Tableau 1 : Exemple fictif de suivi de persistance*

	J0 01/01	J1 02/01	J3 04/01	J6 07/01	J10 11/01	J14 15/01
Carc1	X	X	X	X	-	-
Carc2	X	X	X	X	-	-
Carc3	X	-	-	-	-	-
Carc4	X	X	-	-	-	-
Carc5	X	-	-	-	-	-
Carc6	X	X	X	-	-	-
Carc7	X	X	X	X	X	X
Carc8	X	X	-	-	-	-
Carc9	X	X	X	-	-	-
Carc10	X	X	X	X	X	-

La meilleure façon d'estimer la persistance moyenne (paramètre  $t$  des formules d'estimation), afin de l'intégrer dans les estimateurs proposés par le protocole national français de suivi de mortalité sur les parcs éoliens terrestres, serait de calculer le temps passé entre le début du test (J0) et la médiane entre le jour de dernière présence observée et le jour de première absence observée d'un cadavre lors des visites, puis de moyenner cette valeur entre cadavres. Ce calcul est illustré dans le **Tableau 2** et expliqué ci-après.

Prenons l'exemple de « Carc1 » : le cadavre a été déposé le 01/01 (J0), il était toujours présent lors de la visite réalisée le 07/01 (J6), mais il avait disparu lors de la visite suivante le 11/01 (J10). Ainsi sa disparition est contenue dans un intervalle compris entre 6 (intervalle gauche) et 10 jours (intervalle droit) après le début du test. On parle de données censurées par intervalles (interval-censored en anglais). Puisqu'on ne

sait pas quand cet évènement a eu lieu exactement durant cet intervalle, on estime son temps de persistance par la médiane entre ces deux intervalles, soit 8 jours.

Si le cadavre a disparu entre le début du test et la première visite réalisée le lendemain (« Carc3 » et « Carc5 » dans cet exemple), alors sa persistance estimée est de 0,5 jours. Si le cadavre est toujours présent à la fin du test (« Carc7 » dans cet exemple), on ne peut pas estimer correctement son temps de persistance. On parle alors de donnée censurée à droite : l'évènement étudié n'a pas eu lieu durant la période de suivi, il est compris dans un intervalle compris entre la fin du test (14 jours) et l'infini (Inf). Ce type de données requiert des analyses de survie plus complexes afin d'estimer efficacement la probabilité de persistance au cours du temps. Pour le calcul du temps de persistance moyen, on utilisera dans ce cas l'intervalle de gauche, même si ces résultats ne sont pas exacts, car il est impossible de calculer la médiane entre un nombre fini et l'infini. Ainsi, la persistance estimée de « Carc7 » sera de 14 jours. Une fois la persistance estimée pour chaque cadavre, il ne reste qu'à moyenner ces valeurs afin d'estimer la persistance moyenne des cadavres dans notre test de persistance. Ici on la calculera de la façon suivante :  $t = (8 + 8 + 0,5 + 2 + 0,5 + 4,5 + 14 + 2 + 4,5 + 12) / 10 = 5,6 \text{ jours}$ .

Tableau 2: Exemple de calcul de la persistance estimée de chaque cadavre et de la persistance moyenne estimée (**t**) pour notre exemple fictif

	Date de Dernière Présence	Date de Première Absence	Intervalle gauche	Intervalle droit	Persistance estimée du cadavre
Carc1	07/01	11/01	6	10	8
Carc2	07/01	11/01	6	10	8
Carc3	01/01	02/01	0	1	0,5
Carc4	02/01	04/01	1	3	2
Carc5	01/01	02/01	0	1	0,5
Carc6	04/01	07/01	3	6	4,5
Carc7	15/01	NA	14	Inf	14
Carc8	02/01	04/01	1	3	2
Carc9	04/01	07/01	3	6	4,5
Carc10	11/01	15/01	10	14	12
<b>Persistance moyenne (t) :</b>					<b>5,6 jours</b>

Cette méthode de calcul de persistance moyenne (t) à partir des données issues de tests de persistance semble produire les estimations de mortalité les plus précises et les moins biaisées lors de leur intégration dans les formules d'estimation de mortalité (telle que la formule d'Huso). La robustesse de cette méthode de calcul a été testée dans plusieurs scénarios combinant des intervalles de suivis de persistance, de recherche de cadavre, et de nombre de carcasses observées. Cependant, elle est sensible au nombre de données censurées, c'est-à-dire à la proportion de cadavres toujours présents à la fin du test de persistance. L'estimateur [GenEst](#), utilisant des analyses de survie paramétriques, permet une meilleure estimation de la persistance, et produit des estimations de mortalité plus robustes à partir des mêmes données.

Pour en apprendre plus au sujet de l'estimation de la persistance lors des suivis de mortalité, de la sensibilité des différents estimateurs à la méthodologie d'estimation de la persistance ou pour trouver des recommandations sur ces estimations, un article scientifique traitant ces sujets, paru en 2024 dans la revue *Biological Conservation*, est disponible gratuitement [ici](#).

Ravache, A., Barré, K., Normand, B., Goislot, C., Besnard, A., Kerbiriou, C., 2024. Monitoring carcass persistence in windfarms: Recommendations for estimating mortality. *Biological Conservation*. 292, 110509.

**ANNEXE 3 : TABLEAU DES TESTS D'EFFICACITE D'OBSERVATION**

Date	Numéro du cadavre	Efficacité	Détectabilité
16/04/2024	1	1	D1
16/04/2024	2	1	D1
16/04/2024	3	1	D1
16/04/2024	4	0	D1
16/04/2024	5	1	D2
16/04/2024	6	1	D2
16/04/2024	7	1	D2
16/04/2024	8	1	D2
16/04/2024	9	1	D3
16/04/2024	10	1	D3
16/04/2024	11	1	D3
16/04/2024	12	0	D3
16/04/2024	13	1	D1
16/04/2024	14	1	D2
16/04/2024	15	1	D3
16/04/2024	16	0	D3
16/04/2024	17	0	D3
15/10/2024	1	1	D1
15/10/2024	2	1	D1
15/10/2024	3	1	D2
15/10/2024	4	1	D2
15/10/2024	5	1	D2
15/10/2024	6	0	D2
15/10/2024	7	1	D3
15/10/2024	8	0	D3
15/10/2024	9	0	D3
15/10/2024	10	0	D3
15/10/2024	11	1	D1
15/10/2024	12	1	D1
15/10/2024	13	1	D2
15/10/2024	14	1	D2
15/10/2024	15	1	D2
15/10/2024	16	1	D2
15/10/2024	17	1	D3
15/10/2024	18	1	D3
15/10/2024	19	0	D3
15/10/2024	20	0	D3

**ANNEXE 4 : TABLEAU DES TESTS DE PERSISTANCE**

Test	Saison	N° éolienne	N° Cadavre	Date de dépôt	Date de dernière présence	Date de première absence	Persistante médiane (censurée à droite)	Persistante moyenne d'un cadavre
1	Printemps	3	1	17/07/2024	18/07/2024	22/07/2024	3	5,02
1	Printemps	3	2	17/07/2024	18/07/2024	22/07/2024	3	
1	Printemps	3	3	17/07/2024	29/07/2024	01/08/2024	13,5	
1	Printemps	4	4	17/07/2024	17/07/2024	18/07/2024	0,5	
1	Printemps	4	5	17/07/2024	17/07/2024	18/07/2024	0,5	
1	Printemps	4	6	17/07/2024	18/07/2024	22/07/2024	3	
1	Printemps	5	7	17/07/2024	18/07/2024	22/07/2024	3	
1	Printemps	5	8	17/07/2024	01/08/2024		15	
1	Printemps	5	9	17/07/2024	01/08/2024		15	
1	Printemps	7	10	17/07/2024	29/07/2024	01/08/2024	13,5	
1	Printemps	7	11	17/07/2024	18/07/2024	22/07/2024	3	
1	Printemps	7	12	17/07/2024	18/07/2024	22/07/2024	3	
2	Automne	1	1	10/10/2024	10/10/2024	11/10/2024	0,5	
2	Automne	1	2	10/10/2024	21/10/2024	24/10/2024	12,5	
2	Automne	1	3	10/10/2024	11/10/2024	14/10/2024	2,5	
2	Automne	3	4	10/10/2024	17/10/2024	21/10/2024	9	
2	Automne	3	5	10/10/2024	11/10/2024	14/10/2024	2,5	
2	Automne	3	6	10/10/2024	14/10/2024	17/10/2024	5,5	
2	Automne	6	7	10/10/2024	11/10/2024	14/10/2024	2,5	
2	Automne	6	8	10/10/2024	10/10/2024	11/10/2024	0,5	
2	Automne	6	9	10/10/2024	10/10/2024	11/10/2024	0,5	
2	Automne	7	10	10/10/2024	10/10/2024	11/10/2024	0,5	
2	Automne	7	11	10/10/2024	14/10/2024	17/10/2024	5,5	
2	Automne	7	12	10/10/2024	11/10/2024	14/10/2024	2,5	

**ANNEXE 5 : TABLEAU DE MORTALITE DES CHIROPTERES**

Passage	Semaine	Date	E1	E2	E3	E4	E5	E6	E7
1	20	16/05/24	-	-	-	-	-	-	-
2	21	23/05/24	-	-	-	-	-	-	-
3	22	31/05/24	-	-	-	-	-	-	-
4	23	06/06/24	-	-	-	-	-	-	-
5	24	13/06/24	-	-	-	-	-	-	-
6	25	21/06/24	-	-	-	-	-	-	-
7	26	27/06/24	-	-	-	-	-	-	-
8	27	04/07/24	-	-	-	-	-	-	-
9	28	11/07/24	-	-	-	-	-	-	-
10	29	18/07/24	-	-	-	-	-	-	-
11	30	26/07/24	-	-	-	-	-	-	-
12	31	01/08/24	-	-	-	-	-	-	-
13	32	08/08/24	-	-	-	-	1 Pipistrelle commune	-	-
14	33	13/08/24	-	-	-	-	1 Pipistrelle commune	-	1 Sérotine commune
15	34	22/08/24	-	-	-	-	-	-	1 Pipistrelle commune
16	35	30/08/24	-	-	-	-	-	-	-
17	36	05/09/24	-	-	-	-	-	-	-
18	37	12/09/24	-	-	-	-	1 Oreillard gris	-	-
19	38	19/09/24	-	-	-	-	-	-	-
20	39	25/09/24	-	-	-	-	-	-	-
21	40	04/10/24	-	-	-	-	-	-	-
22	41	10/10/24	-	-	-	-	-	-	-
23	42	18/10/24	-	-	-	-	-	-	-
24	43	25/10/24	-	-	-	-	-	-	-

**ANNEXE 6 : TABLEAU DES ESTIMATIONS DE MORTALITE DES CHIROPTERES**

N° Éolienne	Nombre de cadavres comptés			Taux de détection	Prospectabilité moyenne	Coefficient correcteur surfacique	Intervalle entre les passages	Persistance moyenne d'un cadavre (jours)	Taux de persistance		Intervalle effectif	Coefficient correcteur de l'intervalle	Taux de détection	Persistance médiane d'un cadavre (jours)	Nombre de cadavres estimé		
	N <sub>a</sub>	N <sub>b</sub>	d						A	I	t	p <sub>Jones</sub>	p <sub>Huso</sub>	Î	ê	N <sub>Jones</sub>	N <sub>Huso</sub>
E1	0	0	0,81	0,63	0,00	7,04	5,02	0,50	0,54	10,04	1,00	0,73	3,70	0	0	0	
E2	0	0	0,84	0,50	0,00	7,04	5,02	0,50	0,54	10,04	1,00	0,73	3,70	0	0	0	
E3	0	0	0,84	0,43	0,00	7,04	5,02	0,50	0,54	10,04	1,00	0,73	3,70	0	0	0	
E4	0	0	0,84	0,28	0,00	7,04	5,02	0,50	0,54	10,04	1,00	0,73	3,70	0	0	0	
E5	3	0	0,80	0,67	1,49	7,04	5,02	0,50	0,54	10,04	1,00	0,73	3,70	11,2	10,4	10,1	
E6	0	0	0,87	0,48	0,00	7,04	5,02	0,50	0,54	10,04	1,00	0,73	3,70	0	0	0	
E7	2	0	0,84	0,32	3,15	7,04	5,02	0,50	0,54	10,04	1,00	0,73	3,70	15,2	14,0	14,7	
<b>Parc</b>	<b>5</b>	<b>0</b>	<b>0,83</b>	<b>0,47</b>	<b>2,12</b>	<b>7,04</b>	<b>5,02</b>	<b>0,50</b>	<b>0,54</b>	<b>10,04</b>	<b>1,00</b>	<b>0,73</b>	<b>3,70</b>	<b>25,6</b>	<b>23,6</b>	<b>112,88</b>	

**ANNEXE 7 : TABLEAU DE MORTALITE DES OISEAUX**

Passage	Semaine	Date	E1	E2	E3	E4	E5	E6	E7
1	20	16/05/24	-	-	-	-	-	-	-
2	21	23/05/24	-	-	-	-	-	-	-
3	22	31/05/24	-	-	-	-	-	-	-
4	23	06/06/24	-	-	-	-	-	-	-
5	24	13/06/24	-	-	-	-	-	-	-
6	25	21/06/24	-	-	-	-	-	-	-
7	26	27/06/24	-	-	-	-	-	-	-
8	27	04/07/24	-	-	1 Pigeon colombe	-	-	-	-
9	28	11/07/24	-	-	-	-	-	-	-
10	29	18/07/24	1 Pigeon ramier	-	-	-	-	-	1 Goéland brun
11	30	26/07/24	-	1 Goéland brun	-	-	-	-	-
12	31	01/08/24	-	-	-	-	-	-	-
13	32	08/08/24	-	-	-	1 Canard colvert	-	-	-
14	33	13/08/24	-	-	-	-	1 Pigeon ramier	-	-
15	34	22/08/24	-	-	-	1 Goéland brun	-	-	-
16	35	30/08/24	-	-	-	-	-	-	-
17	36	05/09/24	1 Goéland brun	-	-	-	-	-	-
18	37	12/09/24	-	-	-	-	-	-	-
19	38	19/09/24	-	-	-	-	-	-	-
20	39	25/09/24	-	-	-	-	-	-	-
21	40	04/10/09	-	-	-	-	-	-	-
22	41	10/10/24	-	-	1 Goéland Brun	-	-	-	-
23	42	18/10/24	-	-	-	-	-	-	-
24	43	25/10/24	-	-	-	-	-	-	-

**ANNEXE 8 : TABLEAU DES ESTIMATIONS DE MORTALITE DES OISEAUX**

N° Éolienne	Nombre de cadavres comptés			Taux de détection	Prospectabilité moyenne	Coefficient correcteur surfacique	Intervalle entre les passages	Persistance moyenne d'un cadavre (jours)	Taux de persistance		Intervalle effectif	Coefficient correcteur de l'intervalle	Taux de détection	Persistance médiane d'un cadavre (jours)	Nombre de cadavres estimé		
	N <sub>a</sub>	N <sub>b</sub>	d						A	I	t	p <sub>Jones</sub>	p <sub>Huso</sub>	Î	ê	N <sub>Jones</sub>	N <sub>Huso</sub>
E1	2	0	0,93	0,63	1,58	7,04	5,02	0,50	0,54	10,04	1,00	0,73	3,70	6,9	6,3	7,5	
E2	1	0	0,95	0,50	2,00	7,04	5,02	0,50	0,54	10,04	1,00	0,73	3,70	4,2	3,9	4,8	
E3	2	0	0,95	0,43	2,34	7,04	5,02	0,50	0,54	10,04	1,00	0,73	3,70	9,9	9,1	10,9	
E4	2	0	0,95	0,28	3,53	7,04	5,02	0,50	0,54	10,04	1,00	0,73	3,70	15	13,8	17,2	
E5	1	0	0,89	0,67	1,49	7,04	5,02	0,50	0,54	10,04	1,00	0,73	3,70	3,4	3,1	3,1	
E6	0	0	1,00	0,48	0,00	7,04	5,02	0,50	0,54	10,04	1,00	0,73	3,70	0	0	0	
E7	1	0	0,96	0,32	3,15	7,04	5,02	0,50	0,54	10,04	1,00	0,73	3,70	6,6	6,1	7,3	
<b>Parc</b>	<b>9</b>	<b>0</b>	<b>0,95</b>	<b>0,47</b>	<b>2,12</b>	<b>7,04</b>	<b>5,02</b>	<b>0,50</b>	<b>0,54</b>	<b>10,04</b>	<b>1,00</b>	<b>0,73</b>	<b>3,70</b>	<b>40,5</b>	<b>37,4</b>	<b>43,5</b>	

ANNEXE 9 : FICHES DE SUIVI DE MORTALITE DES CHIROPTERES

FICHE CADAVRE INCIDENT n°		24-0313_240808_PIPPIP_E5_CB		
PARC EOLIEN CONCERNE				
Nom du parc éolien : Ploumoguer		Code étude : AF-24-0313		
Commune : Ploumoguer		Département : 29		
Exploitant : Total Energies		Situation administrative au jour de l'incident : Autorisation ICPE		
Eolienne concernée : E5	Date de découverte : 08/08/2024	Heure de découverte : 9h00		
DECOUVREUR	FONCTION	METHODE D'INVENTAIRE	BUREAU D'ETUDES	
Billoin Christophe	Technicien faune	Suivi post-implantation	OUEST AM'	
SITUATION DU CADAVRE				
Latitude : 48,399940 Longitude : -4,749960 Distance au mât de l'éolienne : 10 m Orientation par rapport à l'éolienne : Nord-Est Couverture végétale (type, hauteur, densité, etc.) :				
ESPECE				
Nom français : Pipistrelle commune Nom scientifique : <i>Pipistrellus pipistrellus</i>				
Âge	<input checked="" type="checkbox"/> Adulte	<input type="checkbox"/> Immature	<input type="checkbox"/> Juv.	<input type="checkbox"/> Indéterminé
Sexe	<input type="checkbox"/> Mâle	<input type="checkbox"/> Femelle	<input checked="" type="checkbox"/> Indéterminé	
Statut national	<input type="checkbox"/> LC	<input checked="" type="checkbox"/> NT	<input type="checkbox"/> VU	<input type="checkbox"/> EN
	<input type="checkbox"/> CR	<input type="checkbox"/> NA	<input type="checkbox"/> DD	
Statut régional	<input checked="" type="checkbox"/> LC	<input type="checkbox"/> NT	<input type="checkbox"/> VU	<input type="checkbox"/> EN
	<input type="checkbox"/> CR	<input type="checkbox"/> NA	<input type="checkbox"/> DD	
Individu	<input type="checkbox"/> Mort (cadavre entier)	<input type="checkbox"/> Vivant (blessé)	<input type="checkbox"/> Fragment(s)	<input checked="" type="checkbox"/> Blessure apparente
Commentaire si blessure ou fragment :				
Etat	<input type="checkbox"/> Frais	<input type="checkbox"/> décomposition	<input checked="" type="checkbox"/> Sec	<input type="checkbox"/> Décomposé
	<input type="checkbox"/> Prédété			
Cause présumée incident :	<input checked="" type="checkbox"/> Collision	<input type="checkbox"/> Baro-traumatisme	<input type="checkbox"/> Projection	
ADAPTATION DES MESURES pour les espèces VU et de niveau supérieur ou une mortalité importante				



FICHE CADAVRE INCIDENT n°		24-0313_240813_EPTSER_E7_CB		
<b>PARC EOLIEN CONCERNÉ</b>				
Nom du parc éolien : Ploumoguer		Code étude : AF-24-0313		
Commune : Ploumoguer		Département : 29		
Exploitant : Total Energies		Situation administrative au jour de l'incident : Autorisation ICPE		
Eolienne concernée : E7	Date de découverte : 13/08/2024	Heure de découverte : 11h00		
DECOUVREUR	FONCTION	METHODE D'INVENTAIRE	BUREAU D'ETUDES	
Billoin Christophe	Technicien faune	Suivi post-implantation	OUEST AM'	
<b>SITUATION DU CADAVRE</b>				
Latitude : 48,39523 Longitude : -4,753800 Distance au mât de l'éolienne : 9 m Orientation par rapport à l'éolienne : Nord Couverture végétale (type, hauteur, densité, etc.) : plateforme				
				
<b>ESPECE</b>				
Nom français : <b>Sérotine commune</b> Nom scientifique : <i>Eptesicus serotinus</i>				
<b>Âge</b>	<input checked="" type="checkbox"/> Adulte	<input type="checkbox"/> Immature	<input type="checkbox"/> Juv.	<input type="checkbox"/> Indéterminé
<b>Sexe</b>	<input checked="" type="checkbox"/> Mâle	<input type="checkbox"/> Femelle	<input type="checkbox"/> Indéterminé	
<b>Statut national</b>	<input type="checkbox"/> LC	<input checked="" type="checkbox"/> NT	<input type="checkbox"/> VU	<input checked="" type="checkbox"/> EN
<b>Statut régional</b>	<input type="checkbox"/> CR	<input type="checkbox"/> NA	<input type="checkbox"/> DD	<input type="checkbox"/> EN
<b>Individu</b>	<input checked="" type="checkbox"/> Mort (cadavre entier)	<input type="checkbox"/> Vivant (blessé)	<input type="checkbox"/> Fragment(s)	<input type="checkbox"/> Blessure apparente
Commentaire si blessure ou fragment :				
<b>Etat</b>	<input checked="" type="checkbox"/> Frais	<input type="checkbox"/> décomposition	<input type="checkbox"/> Sec	<input type="checkbox"/> Décomposé
	<input type="checkbox"/> Prédaté			
<b>Cause présumée incident :</b>	<input type="checkbox"/> Collision	<input checked="" type="checkbox"/> Baro-traumatisme	<input type="checkbox"/> Projection	
<b>ADAPTATION DES MESURES pour les espèces VU et de niveau supérieur ou une mortalité importante</b>				

FICHE CADAVRE INCIDENT n°		24-0313_240813_PIPPIP_E5_CB		
PARC EOLIEN CONCERNÉ				
Nom du parc éolien : Ploumoguer		Code étude : AF-24-0313		
Commune : Ploumoguer		Département : 29		
Exploitant : Total Energies		Situation administrative au jour de l'incident : Autorisation ICPE		
Eolienne concernée : E5	Date de découverte : 13/08/2024	Heure de découverte : 11h00		
DECOUVREUR	FONCTION	METHODE D'INVENTAIRE	BUREAU D'ETUDES	
Billoin Christophe	Technicien faune	Suivi post-implantation	OUEST AM'	
SITUATION DU CADAVRE				
Latitude : 48,4000010 Longitude : -4,749960 Distance au mât de l'éolienne : 14 m Orientation par rapport à l'éolienne : Nord Couverture végétale (type, hauteur, densité, etc.) :				
				
ESPECE				
Nom français : <b>Pipistrelle commune</b> Nom scientifique : <b>Pipistrellus pipistrellus</b>				
Âge	<input checked="" type="checkbox"/> Adulte	<input type="checkbox"/> Immature	<input type="checkbox"/> Juv.	<input type="checkbox"/> Indéterminé
Sexe	<input type="checkbox"/> Mâle	<input checked="" type="checkbox"/> Femelle	<input type="checkbox"/> Indéterminé	
Statut national	<input type="checkbox"/> LC	<input checked="" type="checkbox"/> NT	<input type="checkbox"/> VU	<input type="checkbox"/> EN
	<input type="checkbox"/> CR	<input type="checkbox"/> NA	<input type="checkbox"/> DD	
Statut régional	<input checked="" type="checkbox"/> LC	<input type="checkbox"/> NT	<input type="checkbox"/> VU	<input type="checkbox"/> EN
	<input type="checkbox"/> CR	<input type="checkbox"/> NA	<input type="checkbox"/> DD	
Individu	<input checked="" type="checkbox"/> Mort (cadavre entier)	<input type="checkbox"/> Vivant (blessé)	<input type="checkbox"/> Fragment(s)	<input type="checkbox"/> Blessure apparente
Commentaire si blessure ou fragment :				
Etat	<input checked="" type="checkbox"/> Frais	<input type="checkbox"/> décomposition	<input type="checkbox"/> Sec	<input type="checkbox"/> Décomposé
	<input type="checkbox"/> Prédaté			
Cause présumée incident :	<input type="checkbox"/> Collision	<input checked="" type="checkbox"/> Baro-traumatisme	<input type="checkbox"/> Projection	
ADAPTATION DES MESURES pour les espèces VU et de niveau supérieur ou une mortalité importante				

FICHE CADAVRE INCIDENT n°		24-0313_240822_PIPPIP_E5_CB		
PARC EOLIEN CONCERNE				
Nom du parc éolien : Ploumoguer		Code étude : AF-24-0313		
Commune : Ploumoguer		Département : 29		
Exploitant : Total Energies		Situation administrative au jour de l'incident : Autorisation ICPE		
Eolienne concernée : E5	Date de découverte : 22/08/2024	Heure de découverte : 11h00		
DECOUVREUR	FONCTION	METHODE D'INVENTAIRE	BUREAU D'ETUDES	
Billoin Christophe	Technicien faune	Suivi post-implantation	OUEST AM'	
SITUATION DU CADAVRE				
Latitude : 48,395100 Longitude : -4,754130 Distance au mât de l'éolienne : 10 m Orientation par rapport à l'éolienne : Sud-Ouest Couverture végétale (type, hauteur, densité, etc.) : champ labouré				
ESPECIE				
Nom français : <b>Pipistrelle commune</b> Nom scientifique : <i>Pipistrellus pipistrellus</i>				
Âge	<input checked="" type="checkbox"/> Adulte	<input type="checkbox"/> Immature	<input type="checkbox"/> Juv.	<input type="checkbox"/> Indéterminé
Sexe	<input type="checkbox"/> Mâle	<input type="checkbox"/> Femelle	<input checked="" type="checkbox"/> Indéterminé	
Statut national	<input type="checkbox"/> LC	<input checked="" type="checkbox"/> NT	<input type="checkbox"/> VU	<input type="checkbox"/> EN
Statut régional	<input checked="" type="checkbox"/> LC	<input type="checkbox"/> NT	<input type="checkbox"/> VU	<input type="checkbox"/> EN
Individu	<input checked="" type="checkbox"/> Mort (cadavre entier)	<input type="checkbox"/> Vivant (blessé)	<input type="checkbox"/> Fragment(s)	<input type="checkbox"/> Blessure apparente
Commentaire si blessure ou fragment :				
Etat	<input type="checkbox"/> Frais	<input type="checkbox"/> décomposition	<input checked="" type="checkbox"/> Sec	<input type="checkbox"/> Décomposé
	<input type="checkbox"/> Prédétré			
Cause présumée incident :	<input checked="" type="checkbox"/> Collision	<input type="checkbox"/> Baro-traumatisme	<input type="checkbox"/> Projection	
ADAPTATION DES MESURES pour les espèces VU et de niveau supérieur ou une mortalité importante				



FICHE CADAVRE INCIDENT n°		24-0313_240911_PLEAUS_E5_CB		
PARC EOLIEN CONCERNÉ				
Nom du parc éolien : Ploumoguer		Code étude : AF-24-0313		
Commune : Ploumoguer		Département : 29		
Exploitant : Total Energies		Situation administrative au jour de l'incident : Autorisation ICPE		
Eolienne concernée : E5	Date de découverte : 11/09/2024	Heure de découverte : 11h00		
DECOUVREUR	FONCTION	METHODE D'INVENTAIRE	BUREAU D'ETUDES	
Billoin Christophe	Technicien faune	Suivi post-implantation	OUEST AM'	
SITUATION DU CADAVRE				
Latitude : 48,399920 Longitude : -4,750120 Distance au mât de l'éolienne : 1m Orientation par rapport à l'éolienne : Ouest Couverture végétale (type, hauteur, densité, etc.) : champ labouré				
				
ESPECIE				
Nom français : <b>Oreillard gris</b> Nom scientifique : <i>Plecotus austriacus</i>				
Âge	<input checked="" type="checkbox"/> Adulte	<input type="checkbox"/> Immature	<input type="checkbox"/> Juv.	<input type="checkbox"/> Indéterminé
Sexe	<input checked="" type="checkbox"/> Mâle	<input type="checkbox"/> Femelle	<input type="checkbox"/> Indéterminé	
Statut national	<input checked="" type="checkbox"/> LC	<input type="checkbox"/> NT	<input type="checkbox"/> VU	<input type="checkbox"/> EN
	<input type="checkbox"/> CR	<input type="checkbox"/> NA	<input type="checkbox"/> DD	
Statut régional	<input checked="" type="checkbox"/> LC	<input type="checkbox"/> NT	<input type="checkbox"/> VU	<input type="checkbox"/> EN
	<input type="checkbox"/> CR	<input type="checkbox"/> NA	<input type="checkbox"/> DD	
Individu	<input checked="" type="checkbox"/> Mort (cadavre entier)	<input type="checkbox"/> Vivant (blessé)	<input type="checkbox"/> Fragment(s)	<input type="checkbox"/> Blessure apparente
Commentaire si blessure ou fragment :				
Etat	<input checked="" type="checkbox"/> Frais	<input type="checkbox"/> décomposition	<input type="checkbox"/> Sec	<input type="checkbox"/> Décomposé
	<input type="checkbox"/> Prédaté			
Cause présumée incident :	<input checked="" type="checkbox"/> Collision	<input type="checkbox"/> Baro-traumatisme	<input type="checkbox"/> Projection	
ADAPTATION DES MESURES pour les espèces VU et de niveau supérieur ou une mortalité importante				

ANNEXE 10 : FICHES DE SUIVI DE MORTALITE DES OISEAUX

FICHE CADAVRE INCIDENT n°		24-0313_241010_LARFUS_E3_EA		
<b>PARC EOLIEN CONCERNÉ</b>				
Nom du parc éolien : Ploumoguer		Code étude : AF-24-0313		
Commune : Ploumoguer		Département : 29		
Exploitant : Total Energies		Situation administrative au jour de l'incident : Autorisation ICPE		
Eolienne concernée : E3	Date de découverte : 10/10/2024	Heure de découverte : 14h51		
<b>DECOUVREUR</b>	<b>FONCTION</b>	<b>METHODE D'INVENTAIRE</b>	<b>BUREAU D'ETUDES</b>	
Emilie ARGOT	Technicien faune	Suivi post-implantation	QUEST AM'	
<b>SITUATION DU CADAVRE</b>				
Latitude : 48,4022302 Longitude : -4,7490797 Distance au mât de l'éolienne : 10 m Orientation par rapport à l'éolienne : N Couverture végétale (type, hauteur, densité, etc.) : champ maïs				
<b>ESPECE</b>				
Nom français : <b>Goéland brun</b> Nom scientifique : <i>Larus fuscus</i>				
Âge	<input checked="" type="checkbox"/> Adulte	<input type="checkbox"/> Immature	<input type="checkbox"/> Juv.	<input type="checkbox"/> Indéterminé
Sexe	<input type="checkbox"/> Mâle	<input type="checkbox"/> Femelle	<input checked="" type="checkbox"/> Indéterminé	
Statut national	<input checked="" type="checkbox"/> LC	<input type="checkbox"/> NT	<input type="checkbox"/> VU	<input type="checkbox"/> EN
Statut régional	<input type="checkbox"/> CR	<input type="checkbox"/> NA	<input type="checkbox"/> DD	
Individu	<input type="checkbox"/> Mort (cadavre entier)	<input type="checkbox"/> Vivant (blessé)	<input checked="" type="checkbox"/> Fragment(s)	<input type="checkbox"/> Blessure apparente
Commentaire si blessure ou fragment : plumée				
Etat	<input type="checkbox"/> Frais	<input type="checkbox"/> décomposition	<input type="checkbox"/> Sec	<input type="checkbox"/> Décomposé
	<input checked="" type="checkbox"/> Prédété			
Cause présumée incident :	<input checked="" type="checkbox"/> Collision	<input type="checkbox"/> Baro-traumatisme	<input type="checkbox"/> Projection	
<b>ADAPTATION DES MESURES pour les espèces VU et de niveau supérieur ou une mortalité importante</b>				
				

FICHE CADAVRE INCIDENT n°		24-0313_240704_COLNAS_E3_CB		
<b>PARC EOLIEN CONCERNÉ</b>				
Nom du parc éolien : Ploumoguer		Code étude : AF-24-0313		
Commune : Ploumoguer		Département : 29		
Exploitant : Total Energies		Situation administrative au jour de l'incident : Autorisation ICPE		
Eolienne concernée : E3	Date de découverte : 04/07/2024	Heure de découverte : 10h51		
DECOUVREUR	FONCTION	METHODE D'INVENTAIRE	BUREAU D'ETUDES	
Christophe BILLOIN	Technicien faune	Suivi post-implantation	OUEST AM'	
<b>SITUATION DU CADAVRE</b>				
Latitude : 48,40204 Longitude : -4,74896 Distance au mât de l'éolienne : 20 m Orientation par rapport à l'éolienne : Sud-Est Couverture végétale (type, hauteur, densité, etc.) : champ maïs				
<b>ESPECE</b>				
Nom français : <b>Pigeon colombin</b> Nom scientifique : <i>Columba oenas</i>				
Âge	<input type="checkbox"/> Adulte	<input type="checkbox"/> Immature	<input type="checkbox"/> Juv.	<input checked="" type="checkbox"/> Indéterminé
Sexe	<input type="checkbox"/> Mâle	<input type="checkbox"/> Femelle	<input checked="" type="checkbox"/> Indéterminé	
Statut national	<input checked="" type="checkbox"/> LC	<input type="checkbox"/> NT	<input type="checkbox"/> VU	<input type="checkbox"/> EN
Statut régional	<input checked="" type="checkbox"/> LC	<input type="checkbox"/> NT	<input type="checkbox"/> VU	<input type="checkbox"/> EN
Individu	<input type="checkbox"/> Mort (cadavre entier)	<input type="checkbox"/> Vivant (blessé)	<input checked="" type="checkbox"/> Fragment(s)	<input type="checkbox"/> Blessure apparente
Commentaire si blessure ou fragment : plumée				
Etat	<input type="checkbox"/> Frais	<input type="checkbox"/> décomposition	<input type="checkbox"/> Sec	<input type="checkbox"/> Décomposé
	<input checked="" type="checkbox"/> Prédaté			
Cause présumée incident :	<input checked="" type="checkbox"/> Collision	<input type="checkbox"/> Baro-traumatisme	<input type="checkbox"/> Projection	
<b>ADAPTATION DES MESURES pour les espèces VU et de niveau supérieur ou une mortalité importante</b>				



FICHE CADAVRE INCIDENT n°		24-0313_240718_COLBUS_E1_CB		
<b>PARC EOLIEN CONCERNE</b>				
Nom du parc éolien : Ploumoguer		Code étude : AF-24-0313		
Commune : Ploumoguer		Département : 29		
Exploitant : Total Energies		Situation administrative au jour de l'incident : Autorisation ICPE		
Eolienne concernée : E1	Date de découverte : 18/07/2024	Heure de découverte : 8h35		
<b>DECOUVREUR</b>	<b>FONCTION</b>	<b>METHODE D'INVENTAIRE</b>	<b>BUREAU D'ETUDES</b>	
Christophe BILLOIN	Technicien faune	Suivi post-implantation	QUEST AM'	
<b>SITUATION DU CADAVRE</b>				
Latitude : 48,40419 Longitude : -4,74958 Distance au mât de l'éolienne : 35 m Orientation par rapport à l'éolienne : Sud-Est Couverture végétale (type, hauteur, densité, etc.) : bord du chemin, pied de la haie				
<b>ESPECE</b>				
Nom français : <b>Pigeon ramier</b>				
Nom scientifique : <b>Columba palumbus</b>				
<b>Âge</b>	<input type="checkbox"/> Adulte	<input type="checkbox"/> Immature	<input type="checkbox"/> Juv.	<input checked="" type="checkbox"/> Indéterminé
<b>Sexe</b>	<input type="checkbox"/> Mâle	<input type="checkbox"/> Femelle	<input checked="" type="checkbox"/> Indéterminé	
<b>Statut national</b>	<input checked="" type="checkbox"/> LC	<input type="checkbox"/> NT	<input type="checkbox"/> VU	<input type="checkbox"/> EN
<b>Statut régional</b>	<input type="checkbox"/> CR	<input type="checkbox"/> NA	<input type="checkbox"/> DD	<input type="checkbox"/> EN
<b>Individu</b>	<input type="checkbox"/> Mort (cadavre entier)	<input type="checkbox"/> Vivant (blessé)	<input checked="" type="checkbox"/> Fragment(s)	<input type="checkbox"/> Blessure apparente
Commentaire si blessure ou fragment : plumée				
<b>Etat</b>	<input type="checkbox"/> Frais	<input type="checkbox"/> décomposition	<input type="checkbox"/> Sec	<input type="checkbox"/> Décomposé
	<input checked="" type="checkbox"/> Prédétré			
<b>Cause présumée incident :</b>	<input checked="" type="checkbox"/> Collision	<input type="checkbox"/> Baro-traumatisme	<input type="checkbox"/> Projection	
<b>ADAPTATION DES MESURES pour les espèces VU et de niveau supérieur ou une mortalité importante</b>				

FICHE CADAVRE INCIDENT n°		24-0313_240718_LARFUS_E7_CB		
<b>PARC EOLIEN CONCERNÉ</b>				
Nom du parc éolien : Ploumoguer		Code étude : AF-24-0313		
Commune : Ploumoguer		Département : 29		
Exploitant : Total Energies		Situation administrative au jour de l'incident : Autorisation ICPE		
Eolienne concernée : E7	Date de découverte : 18/07/2024	Heure de découverte : 10h51		
<b>DECOUVREUR</b>	<b>FONCTION</b>	<b>METHODE D'INVENTAIRE</b>	<b>BUREAU D'ETUDES</b>	
Christophe BILLOIN	Technicien faune	Suivi post-implantation	OUEST AM'	
<b>SITUATION DU CADAVRE</b>				
Latitude : 48,39511 Longitude : -4,74446 Distance au mât de l'éolienne : 38 m Orientation par rapport à l'éolienne : Sud-Ouest Couverture végétale (type, hauteur, densité, etc.) : fauche				
<b>ESPECE</b>				
Nom français : <b>Goéland brun</b>				
Nom scientifique : <i>Larus fuscus</i>				
<b>Âge</b>	<input checked="" type="checkbox"/> Adulte	<input type="checkbox"/> Immature	<input type="checkbox"/> Juv.	<input type="checkbox"/> Indéterminé
<b>Sexe</b>	<input type="checkbox"/> Mâle	<input type="checkbox"/> Femelle	<input checked="" type="checkbox"/> Indéterminé	
<b>Statut national</b>	<input checked="" type="checkbox"/> LC	<input type="checkbox"/> NT	<input type="checkbox"/> VU	<input type="checkbox"/> EN
<b>Statut régional</b>	<input type="checkbox"/> CR	<input type="checkbox"/> NA	<input type="checkbox"/> DD	<input checked="" type="checkbox"/> EN
<b>Individu</b>	<input type="checkbox"/> Mort (cadavre entier)	<input type="checkbox"/> Vivant (blessé)	<input checked="" type="checkbox"/> Fragment(s)	<input type="checkbox"/> Blessure apparente
Commentaire si blessure ou fragment : plumée				
<b>Etat</b>	<input type="checkbox"/> Frais	<input type="checkbox"/> décomposition	<input type="checkbox"/> Sec	<input type="checkbox"/> Décomposé
	<input checked="" type="checkbox"/> Prédate			
<b>Cause présumée incident :</b>	<input checked="" type="checkbox"/> Collision	<input type="checkbox"/> Baro-traumatisme	<input type="checkbox"/> Projection	
<b>ADAPTATION DES MESURES pour les espèces VU et de niveau supérieur ou une mortalité importante</b>				
 				

FICHE CADAVRE INCIDENT n°		24-0313_240726_LARFUS_E2_CB		
<b>PARC EOLIEN CONCERNE</b>				
Nom du parc éolien : Ploumoguer		Code étude : AF-24-0313		
Commune : Ploumoguer		Département : 29		
Exploitant : Total Energies		Situation administrative au jour de l'incident : Autorisation ICPE		
Eolienne concernée : E2	Date de découverte : 26/07/2024	Heure de découverte : 10h00		
<b>DECOUVREUR</b>	<b>FONCTION</b>	<b>METHODE D'INVENTAIRE</b>	<b>BUREAU D'ETUDES</b>	
Billoin Christophe	Technicien faune	Suivi post-implantation	OUEST AM'	
<b>SITUATION DU CADAVRE</b>				
Latitude : 48,403430 Longitude : -4,75440 Distance au mât de l'éolienne : 32 m Orientation par rapport à l'éolienne : Sud-Ouest Couverture végétale (type, hauteur, densité, etc.) : champ labouré				
				
<b>ESPECE</b>				
Nom français : <b>Goéland brun</b> Nom scientifique : <i>Larus fuscus</i>				
<b>Âge</b>	<input checked="" type="checkbox"/> Adulte	<input type="checkbox"/> Immature	<input type="checkbox"/> Juv.	<input type="checkbox"/> Indéterminé
<b>Sexe</b>	<input type="checkbox"/> Mâle	<input type="checkbox"/> Femelle	<input checked="" type="checkbox"/> Indéterminé	
<b>Statut national</b>	<input checked="" type="checkbox"/> LC	<input type="checkbox"/> NT	<input type="checkbox"/> VU	<input type="checkbox"/> EN
<b>Statut régional</b>	<input type="checkbox"/> CR	<input type="checkbox"/> NA	<input type="checkbox"/> DD	<input type="checkbox"/> EN
<b>Individu</b>	<input type="checkbox"/> Mort (cadavre entier)	<input type="checkbox"/> Vivant (blessé)	<input checked="" type="checkbox"/> Fragment(s)	<input type="checkbox"/> Blessure apparente
Commentaire si blessure ou fragment : plumée				
<b>Etat</b>	<input type="checkbox"/> Frais	<input type="checkbox"/> décomposition	<input type="checkbox"/> Sec	<input type="checkbox"/> Décomposé
	<input checked="" type="checkbox"/> Prédaté			
<b>Cause présumée incident :</b>	<input checked="" type="checkbox"/> Collision	<input type="checkbox"/> Baro-traumatisme	<input type="checkbox"/> Projection	
<b>ADAPTATION DES MESURES pour les espèces VU et de niveau supérieur ou une mortalité importante</b>				

FICHE CADAVRE INCIDENT n°		24-0313_240808_ANAHOS_E4_CB		
<b>PARC EOLIEN CONCERNE</b>				
Nom du parc éolien : Ploumoguer		Code étude : AF-24-0313		
Commune : Ploumoguer		Département : 29		
Exploitant : Total Energies		Situation administrative au jour de l'incident : Autorisation ICPE		
Eolienne concernée : E4	Date de découverte : 08/08/2024	Heure de découverte : 10h00		
DECOUVREUR	FONCTION	METHODE D'INVENTAIRE	BUREAU D'ETUDES	
Billoin Christophe	Technicien faune	Suivi post-implantation	OUEST AM'	
<b>SITUATION DU CADAVRE</b>				
Latitude : 48,401153 Longitude : -4,75440 Distance au mât de l'éolienne : 48 m Orientation par rapport à l'éolienne : Est Couverture végétale (type, hauteur, densité, etc.) : champ labouré				
<b>ESPECE</b>				
Nom français : <b>Canard colvert</b> Nom scientifique : <i>Anas platyrhynchos</i>				
Âge	<input type="checkbox"/> Adulte	<input type="checkbox"/> Immature	<input type="checkbox"/> Juv.	<input checked="" type="checkbox"/> Indéterminé
Sexe	<input type="checkbox"/> Mâle	<input type="checkbox"/> Femelle	<input checked="" type="checkbox"/> Indéterminé	
Statut national	<input checked="" type="checkbox"/> LC	<input type="checkbox"/> NT	<input type="checkbox"/> VU	<input type="checkbox"/> EN
Statut régional	<input checked="" type="checkbox"/> LC	<input type="checkbox"/> NT	<input type="checkbox"/> VU	<input type="checkbox"/> EN
Individu	<input type="checkbox"/> Mort (cadavre entier)	<input type="checkbox"/> Vivant (blessé)	<input checked="" type="checkbox"/> Fragment(s)	<input type="checkbox"/> Blessure apparente
Commentaire si blessure ou fragment : plumée				
Etat	<input type="checkbox"/> Frais	<input type="checkbox"/> décomposition	<input type="checkbox"/> Sec	<input type="checkbox"/> Décomposé
	<input checked="" type="checkbox"/> Prédaté			
Cause présumée incident :	<input checked="" type="checkbox"/> Collision	<input type="checkbox"/> Baro-traumatisme	<input type="checkbox"/> Projection	
<b>ADAPTATION DES MESURES pour les espèces VU et de niveau supérieur ou une mortalité importante</b>				



FICHE CADAVRE INCIDENT n°		24-0313_240813_COLBUS_E5_CB		
PARC EOLIEN CONCERNÉ				
Nom du parc éolien : Ploumoguer		Code étude : AF-24-0313		
Commune : Ploumoguer		Département : 29		
Exploitant : Total Energies		Situation administrative au jour de l'incident : Autorisation ICPE		
Eolienne concernée : E5	Date de découverte : 13/08/2024	Heure de découverte : 10h00		
DECOUVREUR	FONCTION	METHODE D'INVENTAIRE	BUREAU D'ETUDES	
Billoin Christophe	Technicien faune	Suivi post-implantation	OUEST AM'	
SITUATION DU CADAVRE				
Latitude : 48,399810 Longitude : -4,750030 Distance au mât de l'éolienne : 7 m Orientation par rapport à l'éolienne : Est Couverture végétale (type, hauteur, densité, etc.) : champ labouré				
				
ESPECE				
Nom français : <b>Pigeon ramier</b> Nom scientifique : <i>Columba palumbus</i>				
Âge	<input type="checkbox"/> Adulte	<input type="checkbox"/> Immature	<input type="checkbox"/> Juv.	<input checked="" type="checkbox"/> Indéterminé
Sexe	<input type="checkbox"/> Mâle	<input type="checkbox"/> Femelle	<input checked="" type="checkbox"/> Indéterminé	
Statut national	<input checked="" type="checkbox"/> LC	<input type="checkbox"/> NT	<input type="checkbox"/> VU	<input type="checkbox"/> EN
	<input type="checkbox"/> CR	<input type="checkbox"/> NA	<input type="checkbox"/> DD	
Statut régional	<input checked="" type="checkbox"/> LC	<input type="checkbox"/> NT	<input type="checkbox"/> VU	<input type="checkbox"/> EN
	<input type="checkbox"/> CR	<input type="checkbox"/> NA	<input type="checkbox"/> DD	
Individu	<input type="checkbox"/> Mort (cadavre entier)	<input type="checkbox"/> Vivant (blessé)	<input checked="" type="checkbox"/> Fragment(s)	<input type="checkbox"/> Blessure apparente
Commentaire si blessure ou fragment : plumée				
Etat	<input type="checkbox"/> Frais	<input type="checkbox"/> décomposition	<input type="checkbox"/> Sec	<input type="checkbox"/> Décomposé
	<input checked="" type="checkbox"/> Prédaté			
Cause présumée incident :	<input checked="" type="checkbox"/> Collision	<input type="checkbox"/> Baro-traumatisme	<input type="checkbox"/> Projection	
ADAPTATION DES MESURES pour les espèces VU et de niveau supérieur ou une mortalité importante				

FICHE CADAVRE INCIDENT n°		24-0313_240822_LARFUS_E4_CB		
<b>PARC EOLIEN CONCERNE</b>				
Nom du parc éolien : Ploumoguer		Code étude : AF-24-0313		
Commune : Ploumoguer		Département : 29		
Exploitant : Total Energies		Situation administrative au jour de l'incident : Autorisation ICPE		
Eolienne concernée : E4	Date de découverte : 22/08/2024	Heure de découverte : 10h00		
<b>DECOUVREUR</b>	<b>FONCTION</b>	<b>METHODE D'INVENTAIRE</b>	<b>BUREAU D'ETUDES</b>	
Billoin Christophe	Technicien faune	Suivi post-implantation	OUEST AM'	
<b>SITUATION DU CADAVRE</b>				
Latitude : 48,401130 Longitude : -4,755210 Distance au mât de l'éolienne : 24 m Orientation par rapport à l'éolienne : Est Couverture végétale (type, hauteur, densité, etc.) : champ labouré				
<b>ESPECIE</b>				
Nom français : <b>Goéland brun</b> Nom scientifique : <i>Larus fuscus</i>				
<b>Âge</b>	<input type="checkbox"/> Adulte	<input type="checkbox"/> Immature	<input checked="" type="checkbox"/> Juv.	<input type="checkbox"/> Indéterminé
<b>Sexe</b>	<input type="checkbox"/> Mâle	<input type="checkbox"/> Femelle	<input checked="" type="checkbox"/> Indéterminé	
<b>Statut national</b>	<input checked="" type="checkbox"/> LC	<input type="checkbox"/> NT	<input type="checkbox"/> VU	<input type="checkbox"/> EN
	<input type="checkbox"/> CR	<input type="checkbox"/> NA	<input type="checkbox"/> DD	
<b>Statut régional</b>	<input checked="" type="checkbox"/> LC	<input type="checkbox"/> NT	<input type="checkbox"/> VU	<input type="checkbox"/> EN
	<input type="checkbox"/> CR	<input type="checkbox"/> NA	<input type="checkbox"/> DD	
<b>Individu</b>	<input type="checkbox"/> Mort (cadavre entier)	<input type="checkbox"/> Vivant (blessé)	<input checked="" type="checkbox"/> Fragment(s)	<input type="checkbox"/> Blessure apparente
Commentaire si blessure ou fragment : plumée				
<b>Etat</b>	<input type="checkbox"/> Frais	<input type="checkbox"/> décomposition	<input type="checkbox"/> Sec	<input type="checkbox"/> Décomposé
	<input checked="" type="checkbox"/> Prédétré			
<b>Cause présumée incident :</b>	<input checked="" type="checkbox"/> Collision	<input type="checkbox"/> Baro-traumatisme	<input type="checkbox"/> Projection	
<b>ADAPTATION DES MESURES pour les espèces VU et de niveau supérieur ou une mortalité importante</b>				



FICHE CADAVRE INCIDENT n°		24-0313_240905_LARFUS_E1_CB		
<b>PARC EOLIEN CONCERNE</b>				
Nom du parc éolien : Ploumoguer		Code étude : AF-24-0313		
Commune : Ploumoguer		Département : 29		
Exploitant : Total Energies		Situation administrative au jour de l'incident : Autorisation ICPE		
Eolienne concernée : E1	Date de découverte : 05/09/2024	Heure de découverte : 10h00		
<b>DECOUVREUR</b>	<b>FONCTION</b>	<b>METHODE D'INVENTAIRE</b>	<b>BUREAU D'ETUDES</b>	
Billoin Christophe	Technicien faune	Suivi post-implantation	OUEST AM'	
<b>SITUATION DU CADAVRE</b>				
Latitude : 48,40446 Longitude : -4,74935 Distance au mât de l'éolienne : 30 m Orientation par rapport à l'éolienne : Est Couverture végétale (type, hauteur, densité, etc.) : champ labouré				
<b>ESPECE</b>				
Nom français : <b>Goéland brun</b> Nom scientifique : <i>Larus fuscus</i>				
<b>Âge</b>	<input type="checkbox"/> Adulte	<input type="checkbox"/> Immature	<input checked="" type="checkbox"/> Juv.	<input type="checkbox"/> Indéterminé
<b>Sexe</b>	<input type="checkbox"/> Mâle	<input type="checkbox"/> Femelle	<input checked="" type="checkbox"/> Indéterminé	
<b>Statut national</b>	<input checked="" type="checkbox"/> LC	<input type="checkbox"/> NT	<input type="checkbox"/> VU	<input type="checkbox"/> EN
<b>Statut régional</b>	<input type="checkbox"/> CR	<input type="checkbox"/> NA	<input type="checkbox"/> DD	<input type="checkbox"/> EN
<b>Individu</b>	<input type="checkbox"/> Mort (cadavre entier)	<input type="checkbox"/> Vivant (blessé)	<input checked="" type="checkbox"/> Fragment(s)	<input type="checkbox"/> Blessure apparente
<b>Commentaire si blessure ou fragment : plumée</b>				
<b>Etat</b>	<input type="checkbox"/> Frais	<input type="checkbox"/> décomposition	<input type="checkbox"/> Sec	<input type="checkbox"/> Décomposé
	<input checked="" type="checkbox"/> Prédaté			
<b>Cause présumée incident :</b>	<input checked="" type="checkbox"/> Collision	<input type="checkbox"/> Baro-traumatisme	<input type="checkbox"/> Projection	
<b>ADAPTATION DES MESURES pour les espèces VU et de niveau supérieur ou une mortalité importante</b>				

**ANNEXE 11 : TABLEAU DE L'ACTIVITE DES CHIROPTERES SUR L'ENSEMBLE DU SUIVI**

**E5**

Espèces	Nombre de nuits enregistrées	Nombre de nuits avec activité	Activité totale (secondes cumulées)	Moyenne d'activité par nuit (secondes cumulées/nuit)	Nombre de contacts
Barbastelle d'Europe	168	1	18,961	0,1128631	16
Noctule commune	168	10	349,009	2,07743452	204
Noctule de Leisler	168	12	97,479	0,58023214	41
Oreillard gris	168	1	3,772	0,02245238	1
Pipistrelle commune	168	40	1849,702	11,010131	689
Pipistrelle de Kuhl	168	6	107,304	0,63871429	32
Pipistrelle de Natusius	168	7	28,633	0,17043452	12
Sérotine commune	168	4	291,475	1,73497024	118
Toutes especes confondues	168	48	2746,335	16,3472321	1113

**E6**

Espèces	Nombre de nuits enregistrées	Nombre de nuits avec activité	Activité totale (secondes cumulées)	Moyenne d'activité par nuit (secondes cumulées/nuit)	Nombre de contacts
Noctule commune	168	1	0,872	0,00519048	1
Noctule de Leisler	168	1	6,413	0,03817262	3
Pipistrelle commune	168	7	61,091	0,3636369	25
Pipistrelle de Kuhl	168	1	5,568	0,03314286	5
Pipistrelle de Natusius	168	3	8,215	0,04889881	4
Sérotine commune	168	2	18,214	0,10841667	3
Toutes especes confondues	168	10	100,373	0,59745833	41

**ANNEXE 12 : TABLEAU DE L'ACTIVITE DES CHIROPTERES PAR MOIS**

E5

Mois	Espèces	Nombre de nuits enregistrées	Nombre de nuits avec activité	Activité totale (secondes cumulées)	Moyenne d'activité par nuit (secondes cumulées/nuit)	Nombre de contacts
Mai	Barbastelle d'Europe	19	0	0	0	0
Mai	Noctule commune	19	0	0	0	0
Mai	Noctule de Leisler	19	0	0	0	0
Mai	Oreillard gris	19	0	0	0	0
Mai	Pipistrelle commune	19	1	4,28	0,22526316	1
Mai	Pipistrelle de Kuhl	19	0	0	0	0
Mai	Pipistrelle de Nathusius	19	1	1,236	0,06505263	1
Mai	Sérotine commune	19	0	0	0	0
Mai	Toutes especies confondues	19	2	5,516	0,29031579	2
Juin	Barbastelle d'Europe	30	1	18,961	0,63203333	16
Juin	Noctule commune	30	1	14,052	0,4684	11
Juin	Noctule de Leisler	30	0	0	0	0
Juin	Oreillard gris	30	0	0	0	0
Juin	Pipistrelle commune	30	7	85,447	2,84823333	33
Juin	Pipistrelle de Kuhl	30	1	3,829	0,12763333	1
Juin	Pipistrelle de Nathusius	30	2	3,665	0,12216667	2
Juin	Sérotine commune	30	0	0	0	0
Juin	Toutes especies confondues	30	7	125,954	4,19846667	63
Juillet	Barbastelle d'Europe	31	0	0	0	0
Juillet	Noctule commune	31	6	322,553	10,4049355	186
Juillet	Noctule de Leisler	31	3	10,679	0,34448387	7
Juillet	Oreillard gris	31	0	0	0	0
Juillet	Pipistrelle commune	31	11	560,991	18,0964839	173
Juillet	Pipistrelle de Kuhl	31	0	0	0	0
Juillet	Pipistrelle de Nathusius	31	1	7,421	0,2393871	2
Juillet	Sérotine commune	31	3	288,969	9,32158065	117
Juillet	Toutes especies confondues	31	14	1190,613	38,406871	485
Août	Barbastelle d'Europe	31	0	0	0	0
Août	Noctule commune	31	1	1,536	0,04954839	1
Août	Noctule de Leisler	31	1	1,744	0,05625806	2
Août	Oreillard gris	31	0	0	0	0
Août	Pipistrelle commune	31	8	296,32	9,55870968	141
Août	Pipistrelle de Kuhl	31	2	96,268	3,10541935	27
Août	Pipistrelle de Nathusius	31	1	0,872	0,02812903	1
Août	Sérotine commune	31	1	2,506	0,08083871	1

Août	Toutes especes confondues	31	8	399,246	12,8789032	173
Septembre	Barbastelle d'Europe	30	0	0	0	0
Septembre	Noctule commune	30	2	10,868	0,36226667	6
Septembre	Noctule de Leisler	30	8	85,056	2,8352	32
Septembre	Oreillard gris	30	1	3,772	0,12573333	1
Septembre	Pipistrelle commune	30	11	873,67	29,1223333	331
Septembre	Pipistrelle de Kuhl	30	3	7,207	0,24023333	4
Septembre	Pipistrelle de Nathusius	30	2	15,439	0,51463333	6
Septembre	Sérotine commune	30	0	0	0	0
Septembre	Toutes especes confondues	30	15	996,012	33,2004	380
Octobre	Barbastelle d'Europe	27	0	0	0	0
Octobre	Noctule commune	27	0	0	0	0
Octobre	Noctule de Leisler	27	0	0	0	0
Octobre	Oreillard gris	27	0	0	0	0
Octobre	Pipistrelle commune	27	2	28,994	1,07385185	10
Octobre	Pipistrelle de Kuhl	27	0	0	0	0
Octobre	Pipistrelle de Nathusius	27	0	0	0	0
Octobre	Sérotine commune	27	0	0	0	0
Octobre	Toutes especes confondues	27	2	28,994	1,07385185	10

#### E6

Mois	Espèces	Nombre de nuits enregistrées	Nombre de nuits avec activité	Activité totale (secondes cumulées)	Moyenne d'activité par nuit (secondes cumulées/nuit)	Nombre de contacts
Mai	Noctule commune	19	0	0	0	0
Mai	Noctule de Leisler	19	0	0	0	0
Mai	Pipistrelle commune	19	1	2,772	0,14589474	3
Mai	Pipistrelle de Kuhl	19	0	0	0	0
Mai	Pipistrelle de Nathusius	19	2	4,525	0,23815789	3
Mai	Sérotine commune	19	0	0	0	0
Mai	Toutes especes confondues	19	2	7,297	0,38405263	6
Juin	Noctule commune	30	0	0	0	0
Juin	Noctule de Leisler	30	0	0	0	0
Juin	Pipistrelle commune	30	1	3,509	0,11696667	2
Juin	Pipistrelle de Kuhl	30	0	0	0	0
Juin	Pipistrelle de Nathusius	30	0	0	0	0
Juin	Sérotine commune	30	1	17,342	0,57806667	2
Juin	Toutes especes confondues	30	2	20,851	0,69503333	4
Juillet	Noctule commune	31	1	0,872	0,02812903	1

Juillet	Noctule de Leisler	31	1	6,413	0,20687097	3
Juillet	Pipistrelle commune	31	5	54,81	1,76806452	20
Juillet	Pipistrelle de Kuhl	31	1	5,568	0,1796129	5
Juillet	Pipistrelle de Nathusius	31	1	3,69	0,11903226	1
Juillet	Sérotine commune	31	1	0,872	0,02812903	1
Juillet	Toutes especes confondues	31	6	72,225	2,32983871	31
Août	Noctule commune	31	0	0	0	0
Août	Noctule de Leisler	31	0	0	0	0
Août	Pipistrelle commune	31	0	0	0	0
Août	Pipistrelle de Kuhl	31	0	0	0	0
Août	Pipistrelle de Nathusius	31	0	0	0	0
Août	Sérotine commune	31	0	0	0	0
Août	Toutes especes confondues	31	0	0	0	0
Septembre	Noctule commune	30	0	0	0	0
Septembre	Noctule de Leisler	30	0	0	0	0
Septembre	Pipistrelle commune	30	0	0	0	0
Septembre	Pipistrelle de Kuhl	30	0	0	0	0
Septembre	Pipistrelle de Nathusius	30	0	0	0	0
Septembre	Sérotine commune	30	0	0	0	0
Septembre	Toutes especes confondues	30	0	0	0	0
Octobre	Noctule commune	27	0	0	0	0
Octobre	Noctule de Leisler	27	0	0	0	0
Octobre	Pipistrelle commune	27	0	0	0	0
Octobre	Pipistrelle de Kuhl	27	0	0	0	0
Octobre	Pipistrelle de Nathusius	27	0	0	0	0
Octobre	Sérotine commune	27	0	0	0	0
Octobre	Toutes especes confondues	27	0	0	0	0